

İNÖNÜ ÜNİVERSİTESİ
FEN BİLİMLERİ ENSTİTÜSÜ

OKTAKLOROSİKLOTETRAFOSFAZATETRAEN İLE BAZI
TERT-BÜTİL FENOLLERİN REAKSİYONLARININ İNCELENMESİ

Saliha BEGEÇ

DOKTORA TEZİ
KİMYA ANABİLİM DALI

Malatya

Kasım, 1997

“Fen Bilimleri Enstitüsü Müdürlüğüne”

İş bu çalışma, jürimiz tarafından Kimya Anabilim Dalında DOKTORA TEZİ olarak kabul edilmiştir.

Başkan-

Prof. Dr. Ahmet GÜL



Üye-

Prof. Dr. Adem KILIÇ (Danışman)



Üye-

Prof. Dr. Vefa AHSEN



Onay

yukarıdaki imzaların adı geçen öğretim üyelerine ait olduğunu onaylarım.



Sevgili ailem'e

TEŞEKKÜR

Tez konusunu öneren ve bu çalışmayı yapabilmem için gerekli tüm olanakları sağlayan, bilgileri ile bana yön veren danışman hocam sayın Prof. Dr. Adem KILIÇ'a çok teşekkür ederim.

Laboratuvar çalışmalarım süresince benden hiçbir yardım ve desteği esirgemeyen, sıkıntılı anlarında yanregunta hissettiğim saygıdeğer hocalarım Prof. Dr. Bekir ÇETİNKAYA ve Prof. Dr. Engin ÇETİNKAYA'ya en içten teşekkürlerimi sunarım.

Ayrıca tez yazımı sırasında yakın ilgi ve desteğini gördüğüm sevgili arkadaşım Arş.Gör. Nevin GÜRBÜZ'e teşekkür ederim.

Çalışmalarım süresince göstermiş oldukları sabır ve verdikleri moral için ailemin tüm fertlerine sonsuz teşekkür ederim.

İÇİNDEKİLER

ÖZET.....	XI
ABSTRACT.....	XV
1.GİRİŞ.....	1
1.1 Kaynak Araştırması.....	3
1.1.1 Fosfor Azot Bileşikleri.....	3
1.2 Fosfazanlar ve fosfazenler.....	4
1.3 Siklofosfazenler.....	5
1.4 Polifosfazenler.....	7
1.5 Fosfazenlerin Sentezi.....	10
1.6 Fosfazenlerin Reaksiyonları.....	15
1.7 Fenol ve Türevlerinin Genel Özellikleri.....	17
1.8 Fenol Ve 2,6-Di-Tert-Bütilfenol Türevlerinin Sentezi.....	21
1.9 Fenollerin Antioksidan Özellikleri.....	22
1.10 Fosfazenlerin Ariloksi Grupları ile olan Reaksiyonları.....	24
1.10.1 Hekzaklorosiklotrifosfazatrien'in 2,6-Di-Tert-Bütilfenol türevleri ile olan reaksiyonları.....	24
1.10.2 Fosfazenlerin 4-Fenilfenol ile Olan Reaksiyonları.....	28
1.10.3 Fosfazenlerin <i>o</i> -Dimetilfenol ve <i>o</i> -Diklorofenol ile Olan Reaksiyonları.....	31
1.10.4 Fosfazenlerin <i>o</i> -Sübstítüe Ariloksi Grupları ile Olan Reaksiyonları.....	33
1.10.5 Farklı <i>p</i> -Sübstítüe Ariloksitlerle Fosfazenlerin Reaksiyonları.....	35
1.10.6 Fosfazenlerin <i>p</i> -Sübstítüe Fenoksi Yan Grupları ile Olan reaksiyonları.....	37
2. DENEYSEL BÖLÜM.....	39
2.1 Çıkış Maddesi Sentezi.....	40
2.1.1 P-Trikloro-N-Diklorofosforilmونوفوسفازن'in Sentezi.....	40
2.1.2 2,6-Di-Tert-Bütilfenol Türevlerinin Sodyum Tuzunun Hazırlanması.....	40
2.1.3 2,4,6-Tri-Tert-Bütil-Nitro Benzenin Sentezi.....	41
2.1.4 2,4,6-Tri-Tert-Bütilanilinin Sentezi.....	42

VI

2.1.5Lityum (2,4,6-Tri- <i>Tert</i> -Bütilfenil)-amitin Sentezi.....	43
2.2 2,6-Di- <i>Tert</i> -Bütilfenol Türevleri ile Yapılan Reaksiyonlar.....	44
2.2.1Di- <i>Tert</i> -Bütil-4-Metilfenolün Tetramer (2) İle Etkileştirilmesi (1:1).....	44
2.2.1 2,4,6-Tri- <i>Tert</i> -Bütilfenol + Tetramer (1:1).....	46
2.2.2 2,6-Di- <i>Tert</i> -Bütilfenol + P-Trikloro-N-Diklorofosforilmonofosfazen (10:1)....	47
2.2.3 2,6-Di- <i>Tert</i> -Bütilfenol + P-Trikloro-N-Diklorofosforilmonofosfazen (5:1)....	48
2.2.4 2,4,6-Tri- <i>Tert</i> -Bütilfenol + P-Trikloro-N-Diklorofosforilmonofosfazen (2:1)..	49
2.2.5 2,6-Di- <i>Tert</i> -Bütilfenol İle Fosfazenlerin etkileştirilmesi.....	50
2.3 2,4,6-Tri- <i>Tert</i> -Bütilanilinin İle Yapılan Reaksiyonlar.....	51
2.3.1 2,4,6-Tri- <i>Tert</i> -Bütilanilinin PCl_3 İle Etkileştirilmesi.....	51
2.3.2 Kloro(imino)fosfan (13) Bileşığının Sodyum 2,6-Di- <i>Tert</i> -Bütil-4-Metilfenoksit İle Etkileştirilmesi.....	52
2.3.3 2,4,6-Tri- <i>Tert</i> -Bütilanilinin tetramer İle Etkileştirilmesi.....	53
2.3.4 Lityum (2,4,6-Tri- <i>Tert</i> -Bütilfenil)-amitin Trimer İle etkileştirilmesi.....	54
2.3.5 Lityum (2,4,6-Tri- <i>Tert</i> -Bütilfenil)-amitin Tetramer İle etkileştirilmesi.....	55
3. SONUÇLAR VE TARTIŞMA.....	56
3.1 2,6-Di- <i>Tert</i> -Bütilfenol Türevleri İle Olan Reaksiyonlar.....	57
3.1.1 2,6-Di- <i>Tert</i> -Bütil-4-Metilfenol ile yapılan Reaksiyonlar.....	57
3.1.1.1 2,6-Di- <i>Tert</i> -Bütil-4-Metilfenolün Tetramer İle Etkileştirilmesi.....	57
3.1.1.2 2,6-Di- <i>Tert</i> -Bütil-4-Metilfenolün, P-Trikloro-N-Diklorofosforilmonofosfazen İle Etkileştirilmesi.....	70
3.1.2 2,4,6-Tri- <i>Tert</i> -Bütilfenol İle Yapılan reaksiyonlar.....	79
3.1.2.1 2,4,6-Tri- <i>Tert</i> -Bütilfenol + Tetramer.....	79
3.1.2.1 2,4,6-Tri- <i>Tert</i> -Bütilfenol + P-Trikloro-N-Diklorofosforilmonofosfazen.....	86
3.1.3 2,6-Di- <i>Tert</i> -Bütilfenol ile Yapılan Reaksiyonlar.....	91
3.2 2,4,6-Tri- <i>Tert</i> -Bütilanilinin İle Yapılan Reaksiyonlar.....	94
3.2.1 2,4,6-Tri- <i>Tert</i> -Bütilanilinin PCl_3 İle Etkileştirilmesi.....	94

TABLolar	SAYFA
Tablo 1.1 Siklik Fosfazenlerin Çözünürlükleri.....	11
Tablo 1.2 Bazı Fenollere Ait Fiziksel Değerler.....	18
Tablo 3.1 (8) Bileşigine Ait Kütle Parçalanma Şeması.....	62
Tablo 3.2 (8) Bileşigine Ait Bağ Uzunlukları ve Açılar.....	63
Tablo 3.3 8, 9, 11 Bileşiklerine Ait Fiziksel Veriler.....	70
Tablo 3.4 9, 10 11 Bileşiklerine Ait Kütle Parçalanma Şeması.....	72
Tablo 3.5 8, 9, 11 Bileşiklerine Ait ^1H NMR Verileri.....	75
Tablo 3.6 8, 9, 11 Bileşiklerine Ait ^{13}C NMR Verileri.....	75
Tablo 3.7 8, 9, 11 Bileşiklerine Ait ^{31}P NMR Verileri.....	76
Tablo 3.8 (10) Bileşigine Ait Fiziksel Veriler.....	80
Tablo 3.9 (12) Bileşigine Ait Fiziksel Veriler.....	86
Tablo 3.10 (12) Bileşigine Ait Bağ Uzunlukları ve Açılar.....	88
Tablo 3.11 (13) Bileşigine Ait Fiziksel Veriler.....	91
Tablo 3.12 15, 16 Bileşiklerine Ait Fiziksel veriler.....	94

Şekil 1.1 Bazı Siklofosfazanların Yapıları.....	6
Şekil 1.2 $[PhNHP_2(NPh)_2]_2NPh$ Bileşığının Yapısı.....	7
Şekil 1.3 $(NPF_2)_3$ Bileşığının Konformasyonal Yapısı.....	8
Şekil 1.4 $(NPCl_2)_4$ Bileşığının Konformasyonal Yapısı.....	9
Şekil 1.5 Fenolün Rezonans Formülleri.....	18
Şekil 1.6 BHT' nin Bazı Yükseltgenlere Karşı Davranışları.....	20
Şekil 1.7 (IX) Bileşığının x- Işını Yapısı.....	27
Şekil 2.1 2,4,6-Tri- <i>Tert</i> -Bütilnitrobenzen'e Ait 1H NMR Spektrumu.....	41
Şekil 2.2 2,4,6-Tri- <i>Tert</i> -Bütilanilin'e Ait 1H NMR Spektrumu.....	42
Şekil 3.1 2,6-Di- <i>tert</i> -bütil-4-metilfenolün 1H NMR spektrumu.....	58
Şekil 3.2 (8) Bileşığının 1H NMR spektrumu.....	58
Şekil 3.3 (8) Bileşığının ^{13}C NMR spektrumu.....	59
Şekil 3.4 (8) Bileşığının ^{31}P NMR spektrumu.....	60
Şekil 3.5 (8) Bileşığının Kütle spektrumu.....	61
Şekil 3.6 (8) Bileşığının x-Işını Yapısı.....	62
Şekil 3.7 (9) Bileşığının 1H NMR spektrumu.....	66
Şekil 3.8 (9) Bileşığının ^{13}C NMR spektrumu.....	67
Şekil 3.9 (9) Bileşığının ^{31}P NMR spektrumu.....	68
Şekil 3.10 (9) Bileşığının Kütle spektrumu.....	69
Şekil 3.11 (11) Bileşığının 1H NMR spektrumu.....	73
Şekil 3.12 (11) Bileşığının ^{13}C NMR spektrumu.....	74
Şekil 3.13 (11) Bileşığının ^{31}P NMR spektrumu.....	76
Şekil 3.14 (11) Bileşığının Kütle spektrumu.....	77
Şekil 3.15 (11) Bileşığının FTIR Spektrumu.....	78
Şekil 3.16 (10) Bileşığının 1H NMR spektrumu.....	81
Şekil 3.17 4c Bileşığının 1H NMR spektrumu.....	82
Şekil 3.18 (10) Bileşığının ^{13}C NMR spektrumu.....	83

IX

Şekil 3.19 (10) Bileşiğinin ^{31}P NMR spektrumu.....	84
Şekil 3.20 (10) Bileşiğinin Kütle spektrumu.....	86
Şekil 3.21 (12) Bileşigine Ait Moleküler Yapı Ve Atom Numaralama Şeması.....	87
Şekil 3.22 (13) Bileşiğinin ^1H NMR spektrumu.....	92
Şekil 3.23 (13) Bileşiğinin ^1H NMR spektrumu.....	93
Şekil 3.24 (15) Bileşiğinin ^1H NMR spektrumu.....	95
Şekil 3.25 (15) Bileşiğinin ^{13}C NMR spektrumu.....	96
Şekil 3.26 (15) Bileşiğinin ^{31}P NMR spektrumu.....	97

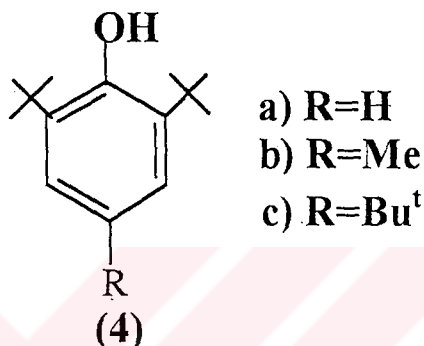
X

SİMGELER VE KISALTMALAR

DCM	: Diklorometan
THF	: Tetrahidrofuran
Pet. Et.	: Petrol Eteri
Tetramer	: Oktaklorosiklotetrafosfazatetraen
Trimer	: Hekzaklorosiklotrifosfazatrien
BHT	: Bütilihidroksi toluen
e.n:	: Erime noktası
k.n:	: Kaynama noktası
Me	: Metil
Bu ^t	: Tersiyer bütül
<i>o</i> -	: orto
<i>p</i> -	: para
m	: multiplet
s	: singlet
t	: triplet
d	: Dublet
NMR	: Nükleer manyetik rezonans
TMS	: Tetrametilsilan
FTIR	: Fourier transform infrared
IR	: Infrared
Et ₃ N	: Trietilamin
T.l.c	: İnce tabaka kromatografisi

ÖZET

Bu çalışmada sterik engelli fenollerin (**4a**, **4b**, **4c**) oktaklorosiklotetrafosfazatetraen (tetramer), (**2**) ve P-Trikloro-N-Diklorofosforilmonofosfazen (**3**), ile reaksiyonları incelendi.



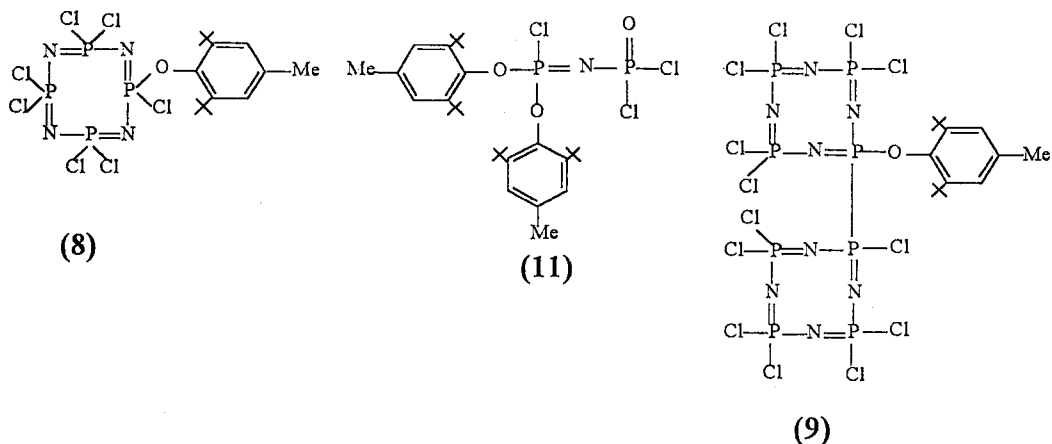
Ayrıca çalışmalarımız sırasında 2,4,6-tri-*tert*-bütil anilin (**6**) ile hekzaklorosiklotrifosfazatrien (trimer) (**1**), tetramer (**2**), ve PCl_3 ün reaksiyonları incelendi.

Bu çalışmanın amacı yukarıda bahsedilen fenoller ve 2,4,6-tri-*tert*-bütilanilin ile (**1**), (**2**), (**3**) bileşiklerinin reaksiyonlarını incelemek , reaksiyon şartlarını belirlemek ve bileşiklerin yapılarını aydınlatmaktır.

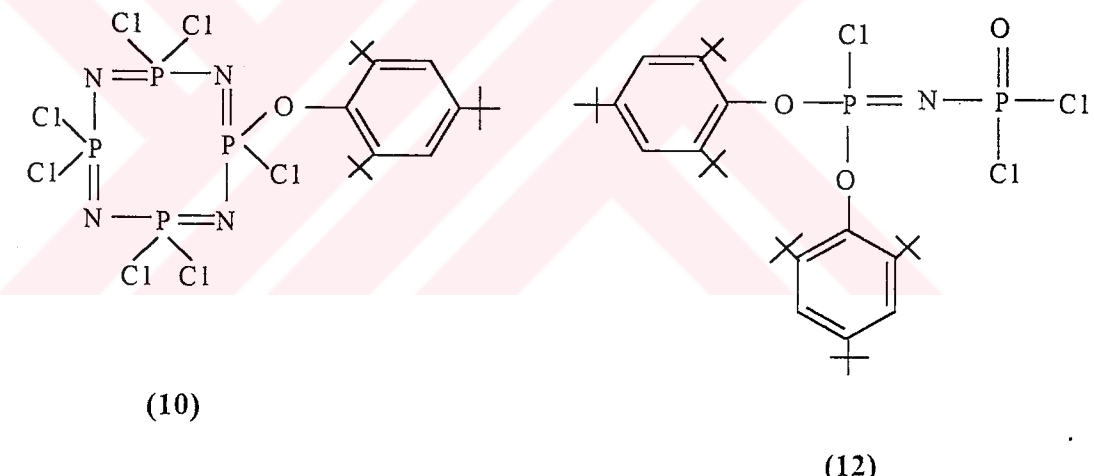
Tez üç bölümünden oluşmaktadır. Birinci bölümde ariloksi sübstitüe fosfazenlerle ilgili ve başkalarınca yapılmış çalışmalar değerlendirilmiştir. İkinci bölümde deneySEL ayrıntılar sunulurken, üçüncü bölüm ise yeni bileşiklere ait ^1H NMR, ^{13}C NMR, ^{31}P NMR, FTIR, IR, Kütle spektrometresi, elemental analiz, e.n verileri , (**8**), (**12**) bileşiklerine ait x-ışını verileri ve elde edilen tüm sonuçların tartışmasını içermektedir.

Yapılan çalışmalar neticesinde (**2**) bileşığının; (**4b**) ile reaksiyonundan (**8**) ve (**9**), (**3**) bileşığının; (**4b**) ile reaksiyonundan ise (**11**) bileşiği sentezlendi.

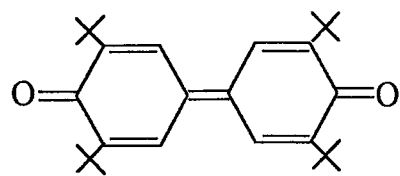
XII



(2) Bileşinin; (4c) ile reaksiyonundan (10) bileşiği sentezlenirken; (3) bileşiği (4c) ile etkileştirildiğinde (12) bileşiği elde edildi.

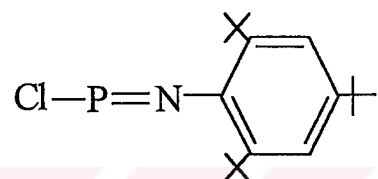


(4a) Bileşiği (1,2,3) bileşikleriyle etkileştirildiğinde (13) bileşiği oluştu. Yapılan bütün çalışmalar sonucunda (4a) bileşinin (1,2,3) bileşiklerinin hiçbirisi ile bir sübstiyüsyon ürünü vermediği görüldü.



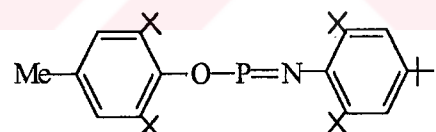
(13)

2,4,6-Tri-*tert*-butilanilinin PCl_3 ile reaksiyonundan (14) bileşiği sentezlendi.



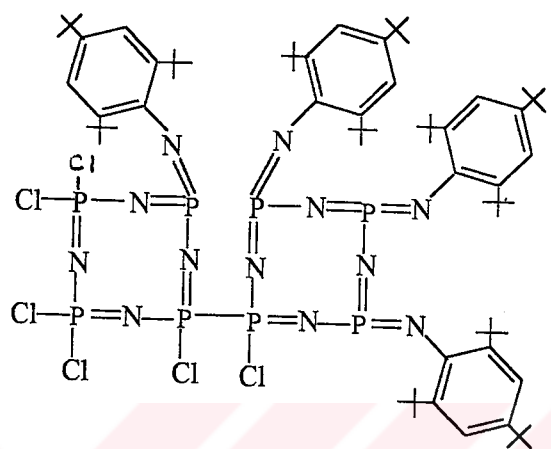
(14)

(14) Bileşinin sodyum 2,6-di-*tert*-bütü-4-metilfenol ile reaksiyonundan (15) bileşiği sentezlendi .



(15)

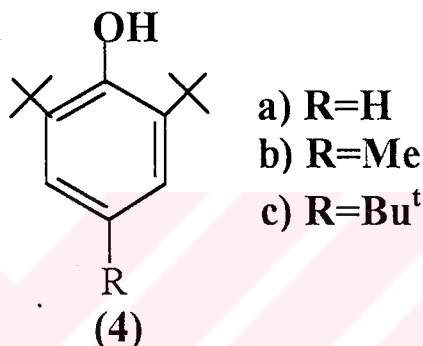
2,4,6-Tri-*tert*-butilanilinin tetramer ile etkileştirilmesi ile (16) yapısında olduğu tahmin edilen bileşik sentezlendi.



(16)

ABSTRACT

The reactions of bulky substituted phenols that have steric hindrance (**4a**, **4b** and **4c**) with octachlorocyclotetraphosphazene (tetramer), (**2**) P-Trichloro-N-Dichlorophosphorilmonophosphazene (**3**) were investigated.



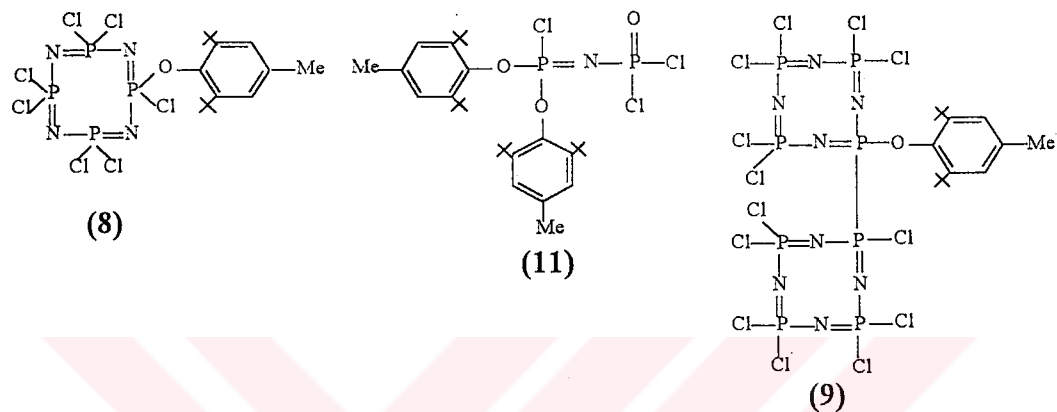
The reactions of 2,4,6-tri-*tert*-butylaniline (**6**) with hexacholorocyclotriphosphazatriene (trimer) (**1**), tetramer (**2**), and PCl_3 were also studied during the investigation.

The purpose of this dissertation work was to:

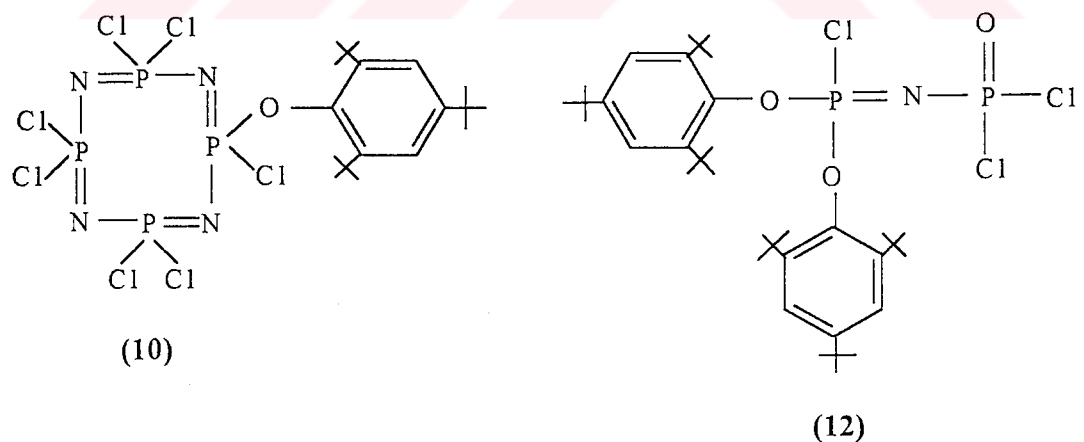
- i) Determine parameters of the reactions of the phenols and 2,4,6-tri-*tert*-butylaniline with (**1**), (**2**) and (**3**).
- ii) Study reactions of the compounds
- iii) Determine the conditions of the reactions
- iv) elucidate the structures of the compounds

This dissertation work is composed of three major parts. First part is a broad literature review together with theory. Experimental details were presented in the second part. Third part contains mass spectrometry, elemental analysis and physical parameter results ^1H , ^{13}C , ^{31}P , FTIR and X-ray results (**8**) and (**12**), together with the discussion.

By the reaction of (3) with (4b) the compounds of (8) and (9) were synthesized.

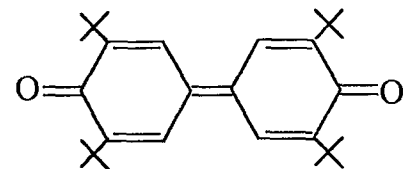


Compounds (10) and (12) were obtained from the reaction of (2) with (4c) and (3) with (4c) respectively.



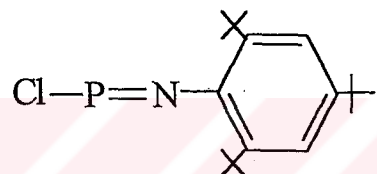
Compound (13) is formed when (4a) is reacted with (1,2,3), compound (4a) didn't give any substitution product with (1,2,3).

XVII



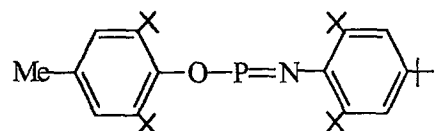
(13)

Compound (14) was synthesized by the reaction of 2,4,6-tri-*tert*-butylaniline with PCl₃.



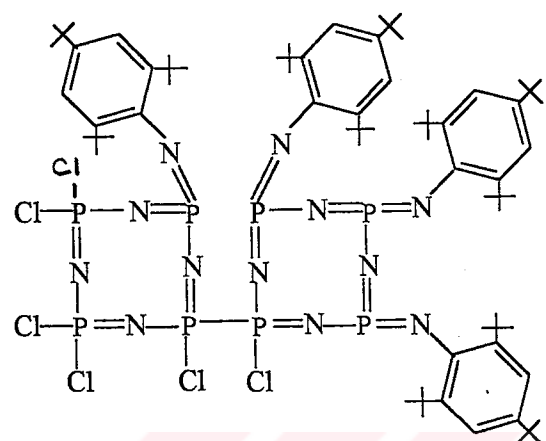
(14)

Compound (15) was prepared from sodium 2,6-di-*tert*-butyl-4-methylphenol and (14).



(15)

As a result of a reaction between 2,4,6-tri-*tert*-butylaniline with tetramer, compound (16) was prepared. Its structure is depicted below.



(16)

1. GİRİŞ

Fosfor atomu geniş ve değişik bir kimyaya sahiptir. Fosforun anorganik kimya içindeki geleneksel üstünlüğü, sadece sayısız kovalent bağlı “organo fosfor” bileşikleri oluşturmasıyla değil, aynı zamanda bütün canlı türlerinin biyokimyasında da önemli rol almasındandır.

Kimya endüstrisinde büyük öneme sahip olmaları nedeniyle; fosfor ve fosfor bileşikleri ile ilgili sayısız çalışmalar正在被执行, sonuçlanmış çalışmalar ise değişik kitaplarda, ansiklopedilerde, periyodiklerde ve benzeri kaynaklarda yer almaktadır. Sonuçlanmış çalışmaların uygulamalarından görülen gerçek: Bitkilerin ve hayvanların yetiştirilmesinde ve geliştirilmesinde, fosfor hayatı önemli olan bir elementtir. Bu yüzden fosfor, gübrelerin önemli bir bileşenidir. Fosfor bileşikleri enerji transfer işlemlerinde (otosentez, metabolizma, sinir fonksiyonu ve kas hareketlerinde), DNA yardımıyla kalitimda, kemiklerin ve dişlerin oluşumunda görev alır.

Son yıllarda fosfor-azot kimyasında önemli gelişmeler olmuş ve bu gelişmeler hızla devam etmektedir. İlk zamanlardaki çalışmaların çoğu siklofosfazelerle ilgili olmasına karşın, son yıllarda siklik fosfazeler yanında asiklik fosfor- azot bileşikleri ile yapılan çalışmalar da artış gözlenmiştir.

Fosfor-azot ve fosfor-oksijen bileşiklerinin akademik, endüstriyel ve tıbbi önemleri büyütür. Bunlar yeni polimerlerin hazırlanmasında, yanmaya dayanıklı malzemelerin üretiminde, koordinasyon bileşiklerinin hazırlanmasında^{1,2}, bazı fosfazen polimerleri lif ve iplik haline getirilebilen elastomerik maddelerin üretiminde³ ve antikanserojen maddelerin eldesinde kullanılmaktadırlar.

Fosfazenlere, ariloksi gruplarının bağlanması ile ilginç özellikler kazanmaktadır. Ariloksi-fosfazenler; yüksek polimerler, yüksek refraktif indeksli camlar⁴, sıvı kristaller⁵, lineer olmayan optik ve ferroelektrik türler^{6,7} ve bazı durumlarda fotoreaktif polimerik⁸ materyaller olarak ilgi çekicidirler. Optik özellikler, bilhassa fenoksi gruplarına bağlı yan gruplardan etkilenmektedir. Örneğin, fenilfenoksi grupları yüksek refraktif indeksli materyaller meydana getirirler. Genelde refraktif

indeks, diğer optik ve elektronik özelliklerin, ariloksi grupları ihtiva eden iki veya daha fazla aromatik halkanın birleşmesi ile elektron delokalizasyonu sonucu meydana geldiği düşünülmektedir. Fosfazenlerin, değişik alkol^{9,10,11,12} ve aminlerle^{13,14} olan reaksiyonlarının ayrıntılı olarak incelenmesine karşın, ariloksi grupları ile olan reaksiyonları son yıllarda incelenmeye başlanmıştır. Bu nedenle bu çalışmalara bir temel teşkil etmesi bakımından oktaklorosiklotetrafosfazatetraen, (tetramer), ($N_4P_4Cl_8$), (2) ve P-trikloro-N-diklorofosforilmonofosfazen, $Cl_3P=N-P(O)Cl_2$, (3) bileşikleri ile 2,6-di-*t*-butilfenol türevlerinin reaksiyonları incelendi. Reaksiyonlar sonucunda bileşikler ince tabaka, kolon kromatografisi teknikleri kullanılarak ayrıldı ve saflaştırıldı.

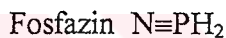
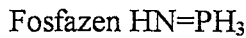
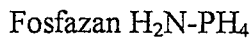
Ele geçen yeni bileşiklerin yapıları 1H NMR, ^{13}C NMR, ^{31}P NMR spektroskopisi ölçümleri, element analizi, kütle spektroskopisi ve X-ışını kırınım yöntemleri kullanılarak aydınlatıldı.

1.1 KAYNAK ARAŞTIRMASI

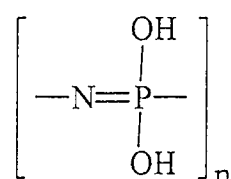
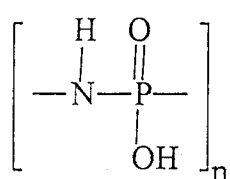
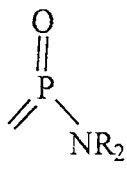
1.1.1 Fosfor Azot Bileşikleri

Kimyada P-N bağları çok ilgi çekicidir. Sayısız bileşikten oluşan P-N bağları çoğunlukla kararlıdır. P-N bağının gücü; atomlar arası bağın kisalığı “kısmi çift bağ karakteri” ile açıklanmaktadır.

Fosfor-azot bileşikleri, fosfor ile azot arasındaki bağın tekli, çiftli, üçlü oluşuna göre aşağıdaki gibi sınıflandırılır¹⁵.



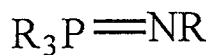
P-N halkasını içeren birçok bileşik esas olarak fosfor oksiasitlerin ve onların tuzlarının türevleridirler. Yer değiştirdikleri yapılarla izoelektroniktirler.



1.2 Fosfazanlar ve Fosfazenler

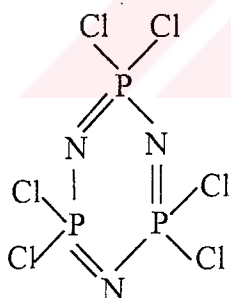
Fosfazanlar formal fosfor-azot tekli bağı içtiva eden bileşikler iken, fosfazenler formal fosfor-azot çift bağı içtiva eden bileşiklerdirler (belirli monomerlerde lokalize, oligomerik ve polimerik türevlerdeki gibi diğerlerinde üç merkezin üzerindekilerde delokalizedir).

Fosfazenler veya fosfonitriilik bileşikler çok sayıda $\equiv\text{P}=\text{N}-$ birimleri bulundururlar. $\equiv\text{P}=\text{N}-$ biriminden bir tane bulunduran bileşikler fosfin imit veya imino fosfin olarak adlandırılırlar.

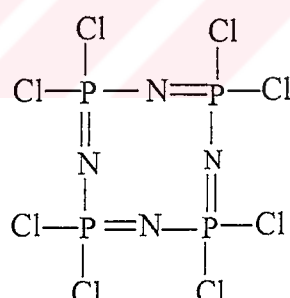


İmino fosfin
(fosfin imit)

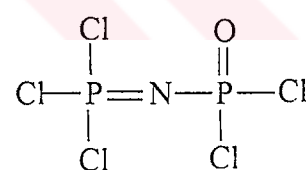
Fosfazenler halkalı (1,2) veya lineer (3) yapıda olurlar.



1



2



3

Fosfazenlerde $\equiv\text{P}=\text{N}-$ grubunda P^{v} olarak bulunur. Bilinen birkaç fosfazende P^{III} de bulunduğu gözlenmiştir. Fosfazenler genelde, monofosfazenler ($\text{X}_3\text{P}=\text{NR}$), difosfazenler ($\text{X}_3\text{P}=\text{NP}(\text{O})\text{X}_2$), polifosfazenler ($2,3,4,\dots \infty$ sayıda $-\text{X}_2\text{P}=\text{N}-$ birimleri bulunabilir) ve siklo polifosfazenler ($-\text{X}_2\text{P}=\text{N}-_n$ $n=2,4,5\dots 17$) olarak sınıflandırılırlar.

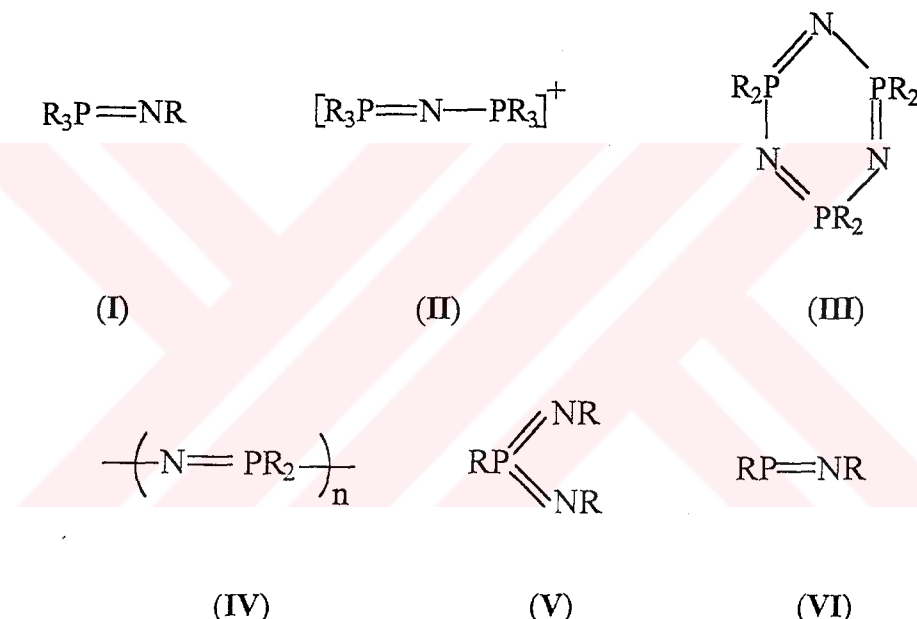
Fosfazenler genellikle dört koordinasyonlu, beş valensli fosfor atomları bulundururlar¹⁸.

Fosfazenler fosfor atomunun koordinasyon sayısına bağlı olarak üç sınıfa ayrılabilirler.

Tip A, dört koordinatlı beş valensli fosfor (**I**,**II**,**III**,**IV**) (son zamanlarda sıklıkla gözlendi) ihtiva eder.

Tip B, üç koordinatlı beş valensli fosfor (**V**) ihtiva eder.

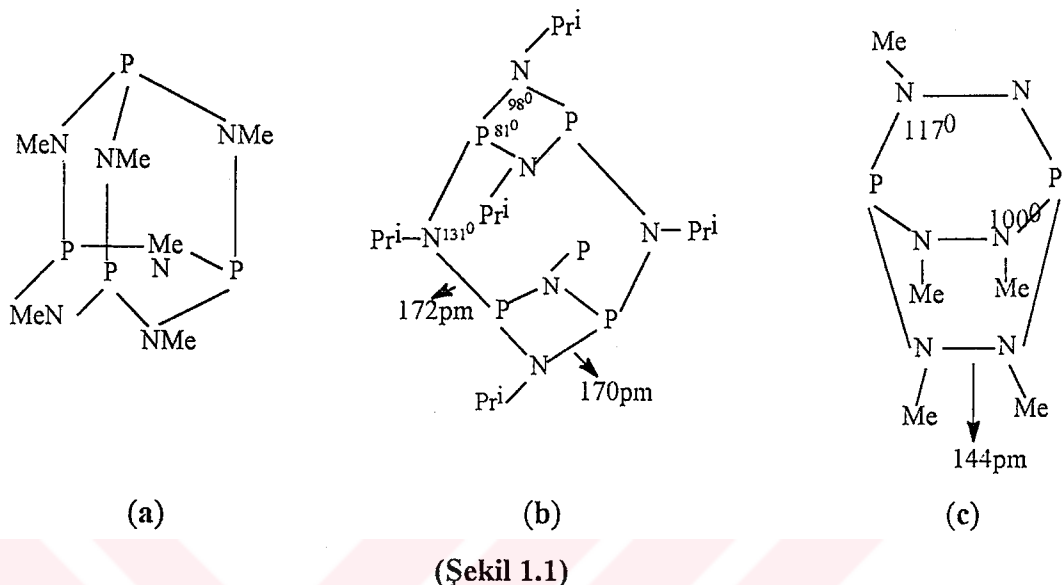
Tip C, iki koordinatlı üç valensli fosfor (**VI**) ihtiva eder.



1.3 Siklofosfazanlar

Birçok heterosiklik bileşik tekli P-N bağlarını içerir. Siklofosfazanların en basitleri; siklodifosfazanlardır: $(\text{X}_3\text{PNR})_2$ ve $[\text{X}(\text{O},\text{S})\text{PNR}]_2$. Bu bileşiklerde bulunan fosfor P^{V} halindedir. $(\text{RPNR}')_2$ gibi birkaç fosfazen (P^{III}) dimerleri bilinir. Daha kompleks bileşikler N ve P^{III} atomlarının ardışık sıralanmasıyla oluşan bitişik heterosiklik yapılarındadır. Örnek olarak $\text{P}_4(\text{NMe})_6$ yapısını (Şekil 1.1) verebiliriz.

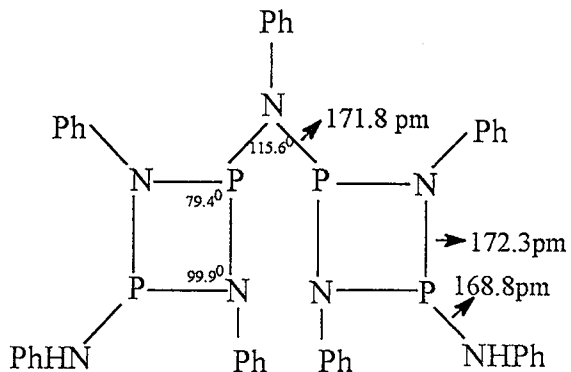
P_4NMe_6 bileşigi kararlıdır ve PCl_3 ile 6 $MeNH_2$ nin reaksiyonuyla hazırlanır. P_4O_6 bileşigi ile izoelektronik ve benzer yapılidir.



Stokiyometrik olarak benzer bir bileşik $P_4(NPr)^i_6$ ise adamantana benzemeyen bir yapıdadır (**Şekil 1.1.b.**).

Atomların değişik dizilişte bulunduğu bir başka siklofosfazanda $P_2(NMe)_6$ (**VII**) bileşigidir (**Şekil 1.1.c.**).

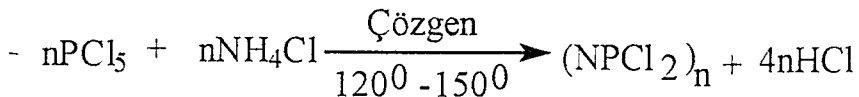
Ayrıca P^{III} yada P^V özelliğinde birçok doymuş heterosiklik bileşik hazırlanmıştır. Örneğin, $[PhNH P_2(NPh)_2]_2 NPh$ bileşigi (**Şekil 1.2**) $0^0 C$ de, toluende $PhNH_2$ ye PCl_3 ün yavaş yavaş ilavesi ile hazırlanmıştır (**VIII**).



(Şekil 1.2)

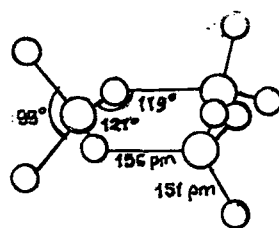
1.4. Polifosfazenler

$-N=PR_2-$ grubu, $-O-SiR_2-$ silikon grubuyla izoelektroniktir. Polifosfazenler silikonlardan sonra karbon bulundurmayan ve kovalent bağlı polimerlerin en yaygın şeklini temsil ederler. Polifosfazenler^(19,20,21,22,23) PCl_5 ile NH_3 ün etkileşitirilmesi ile J. Von Liebig ve F. Wöhler tarafından ilk defa 1834 yılında hazırlanmıştır. Fakat stokiyometri ve yapıları daha sonraki zamanlarda aydınlatılmıştır. Aynı yapıya sahip florür bileşikleri $(NPF_2)_n$ ise; ilk defa 1956 ve bromo bileşikleri $(NPBr_2)_n$ 1960 yılında hazırlanmıştır. $(NPCl_2)_n$ nin sentezi 1924 yılında R.Schenk ve G.Romer tarafından daha da geliştirilmiştir. Onların kullanmış olduğu metod, bugünkü laboratuvar ve endüstriyel üretimin esasını teşkil etmektedir.



$(NPCl_2)_n$ de Cl atomlarının OMe, OEt, OCH_2CF_3 , OPh, NHPh, NMe₂, NR₂, R, Ar ile klasik sübstitusyon reaksiyonlarıyla yer değiştirmesi sonucu bir çok değişik türev

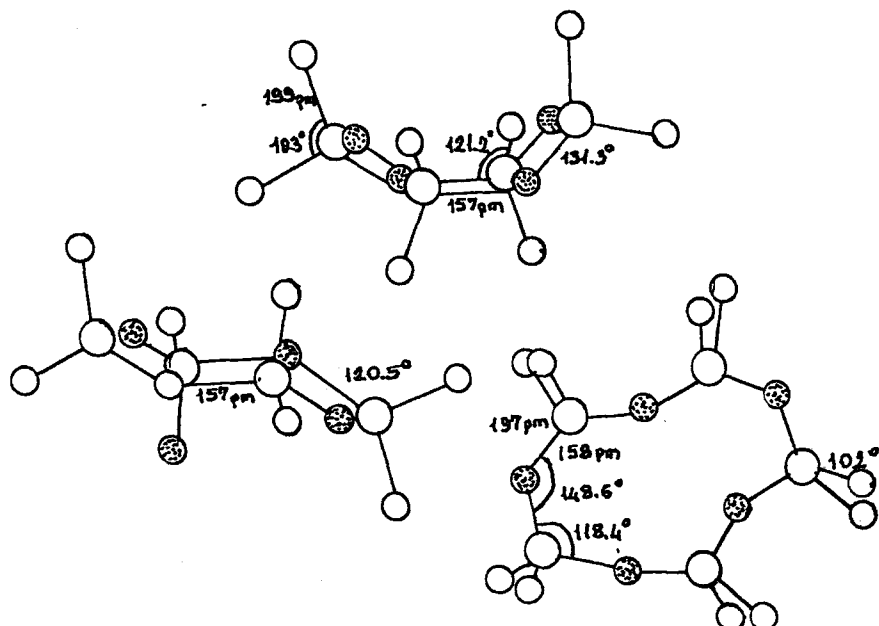
hazırlanabilir. Kısmi yer değiştirmeler geminal ve geminal olmayan türevler verirler ve cis- veya trans- izomerler mevcut olabilir. Halkalı trimer $(\text{NPF}_2)_3$ (e.n: 28^0) tamamen düzlemsel 6 üyeli bir yapıya sahiptir. Bu yapıda 6 P-N bağı eşit uzunluktadır (Şekil 1.3.).



(Şekil 1.3.)

Diğer trimerlerin çoğu eşit P-N bağ uzaklıklarını ile birlikte daha az veya daha fazla düzlemsel olabilirler. Sürpriz bir şekilde $(\text{NPF}_2)_4$ (e.n: 30.4) halkalı tetramerde düzlemseldir. P-N bağları (151 pm) daha kısa ve halka açıları P da 122.7^0 , N da 147.4^0 dir.

Fakat diğer türevler; sandalye, eger, kayık, taç, tetramerik ve hibrid konformasyonunda bulunurlar. $(\text{NPCl}_2)_4$ yapısı yarı kararlı K şeklinde (kayık konformasyonuna sahip) veya kararlı T şeklinde (sandalye konformasyonu) mevcuttur (Şekil 1.4).



(Şekil 1.4)

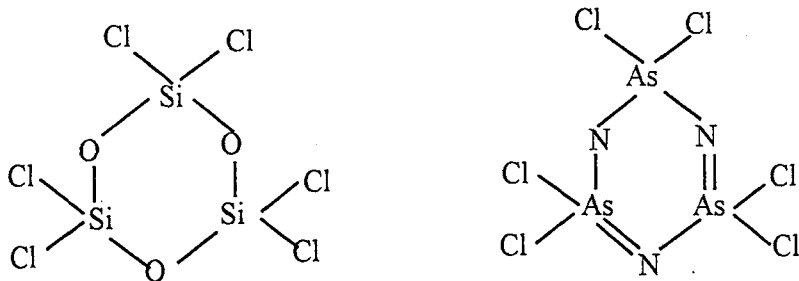
Siklotrifosfazatrienler düzlemsel yapıya sahip iken siklotetrafosfazatetraenler genellikle büzülerek şekillerini değiştirirler. Mevcut olan tek düzlemsel tür oktaflorürdür.

Siklofosfazeler $(NPX_2)_n$ ($n=3,4,\dots,8\dots$) formülünün homolog serilerini oluştururlar (X burada aynı moleküldeki değişik sütstituentleri gösterir). Bunların çoğu özellikle homojen sütstitüentlidir ve bunlar $X-$ ışını kristallografi veya elektron difraksiyon tekniği ile incelemiştir.

Trimerik türevler ($NPX_2)_3$, ($X=F, Cl, Br, Me, Ph, NMe_2, OPh, NCS$ v.b.) ve buna en yakın daha yüksek homolog $(NPX_2)_4$ [$X=F, Cl$ (K ve T formları) Br, Me, OMe, NMe_2 v.b.]²⁴ araştırmacılarından eşdeğer miktarda ilgi çekmiştir. Daha yüksek $n \geq 5$ homologlar daha az ilgi çekmiştir. Şimdiye kadar incelenen en geniş monosiklik tür oktamerdir. $(NPX_2)_8$, ($X=OMe$)¹³ çalışılan ilk bileşikler klorofosfazeler veya fosfonitrilik klorürlerdir. Genel formülü $(NPCl_2)_n$ olan fosfonitrilik klorürlerde $n \geq 3$ dür. Florürlere $(PNF_2)_n$ ve bromürlere $(PNBr_2)_n$ nin karşılık geldiği bilinmektedir, fakat iyodürler $(PNI_2)_n$ ve hidrürler $(PNH_2)_n$ henüz karakterize edilmemiştir.

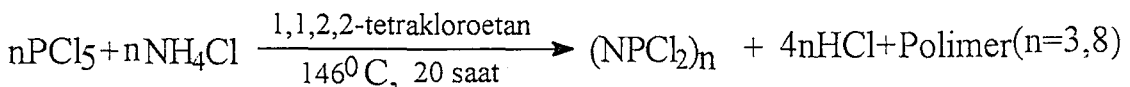
Fosfonitrilik tuzlar çok reaktif bileşiklerdir ve birçok türevleri bilinmektedir. Bu bileşikte halojenler kısmen veya tamamen diğer gruplar ile yer değiştirirler.

Fosfonitrilik tuzlar sıklik siloksanlar ile izoelektroniktir ve arsenik analogları bilinmektedir.



1.5. Fosfazenlerin Sentezi

Fosfazenler, fosfor pentaklorür ile amonyum tuzlarının kaynama noktası yüksek çözüçüler (1,1,2,2-tetrakloroetan ve klorbenzen) içinde kaynatılmasıyla hazırlanırlar^{25,26}.



Verilen reaksiyona göre halkalı bileşikler elde edilir. Reaksiyondan elde edilen en önemli ürünler; sıklik trimer $(\text{NPCl}_2)_3$ (m.p: 114^0 C , b.p: 256^0 C) ve sıklik tetramer $(\text{NPCl}_2)_4$ (m.p: 123.5^0 C ve b.p: 328.5^0 C) olmakla birlikte az miktarlarda daha büyük halkalı bileşikler ve bazı lineer türler de elde edilmektedir. Trimer ve tetramer kararlı beyaz kristalli katıldır. Bunlar reaksiyon karışımından indirgenmiş basınç altında fraksiyonlu distilasyon, kolon kromatografi yöntemi ile izole edilebilir ve polar olmayan çözüçülerden yeniden kristallendirilerek saflaştırılabilirler.

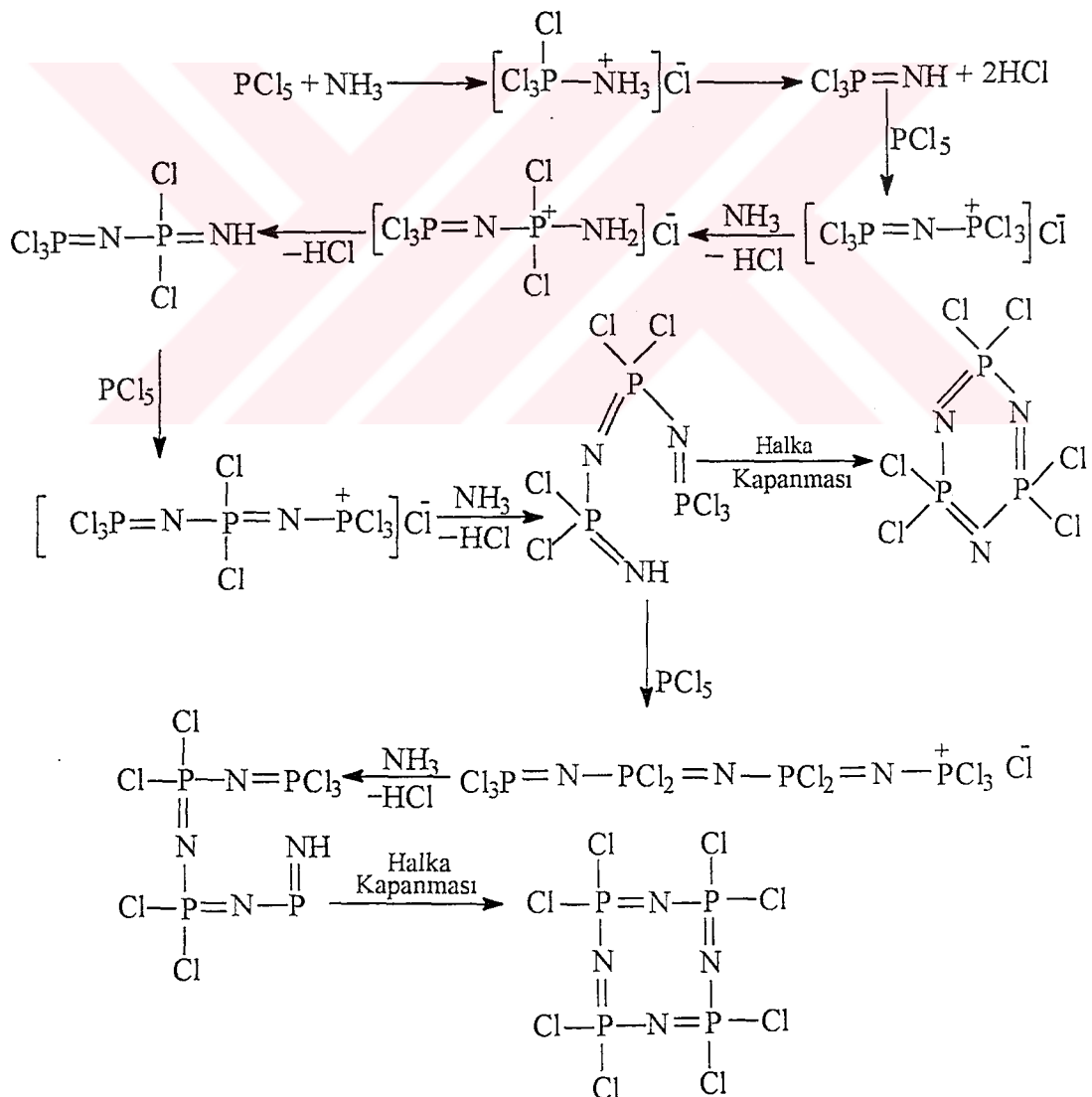
Sıklik trimer, suda çözünmez fakat nispeten benzen, eter ve karbontetraklorürde çözünebilir. Tetramer bu çözüçülerde trimere nazaran daha az çözünür.

Her iki bileşik havada kararlıdır ve çözeltide kolayca hidroliz olmazlar.

Tablo 1.1. Siklik Fosfazenlerin Çözünürlükleri (g / 100cc)

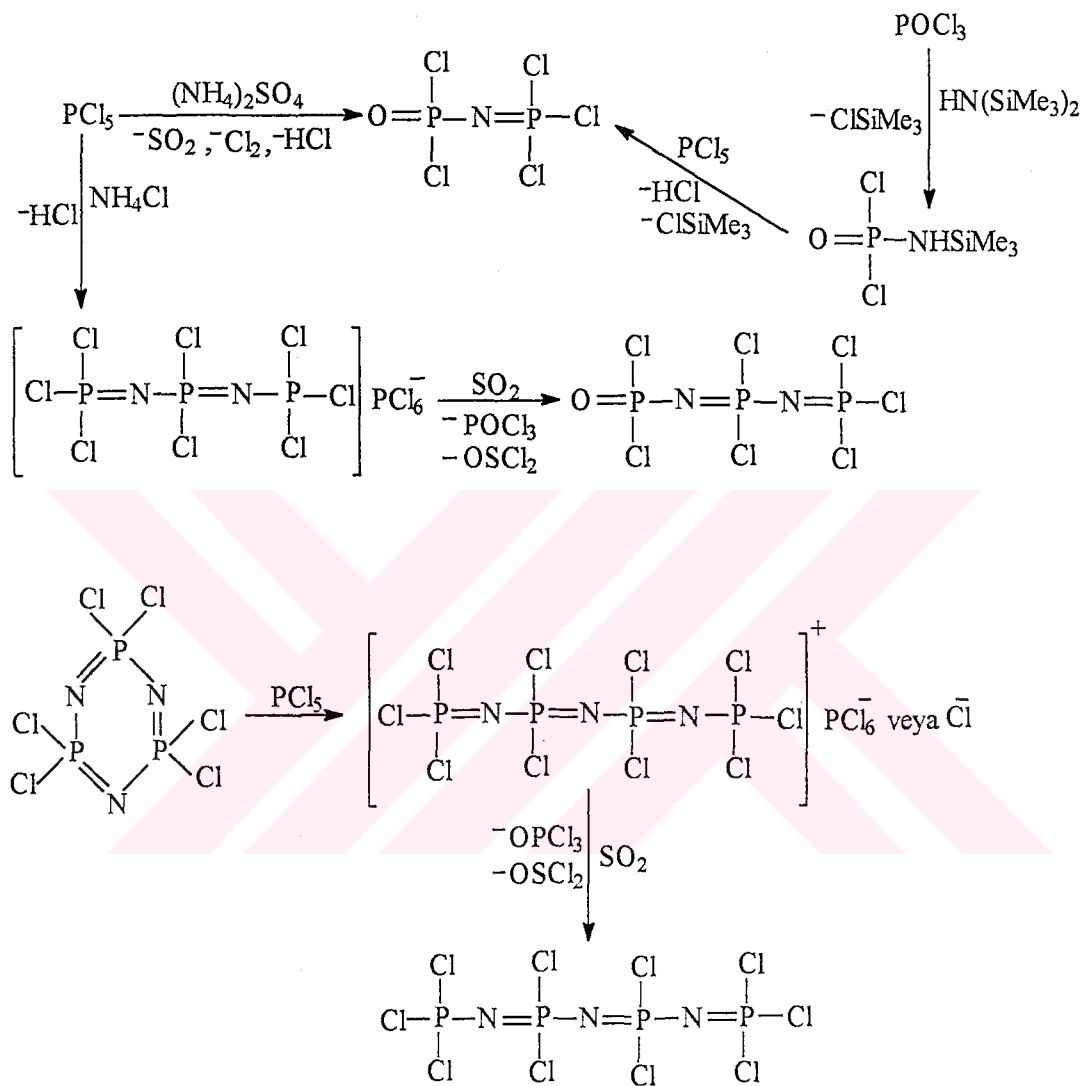
Fosfazen	Dioksan	Dietileter	Toluen	Benzen	CCl ₄	CS ₂
(NPCl ₂) ₃	29.5	46.4	47.3	55.0	38.9	52.0
(NPCl ₂) ₄	8.2	12.4	17.8	21.0	16.6	22.0

Bu bileşiklerin oluşumu ile ilgili mekanizma aşağıda verilmiştir. Reaksiyon ortamında NH₄Cl den NH₃ oluştugu farzedilir.

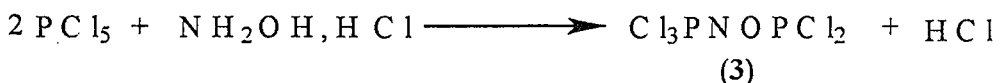


Reaksiyon sonunda oluşan halkalı ürünler genellikle kromatografik yöntemlerle ayrılırlar.

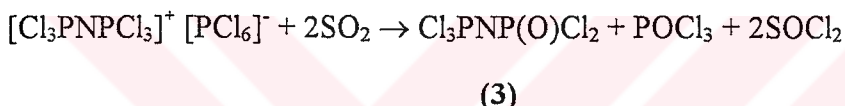
Düz zincirli fosfazenler aşağıda verilen reaksiyonlara göre hazırlanır.



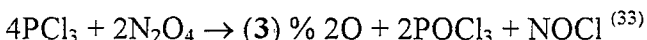
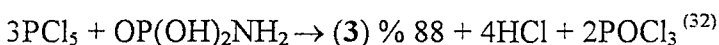
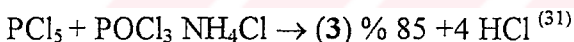
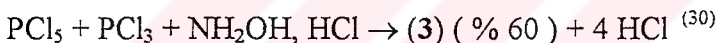
P-Trikloro - N -diklorofosforilmonofosfazenden, $\text{Cl}_3\text{P}=\text{N}-\text{P}(\text{O})\text{Cl}_2$, (3), ilk kez 1958 yılında bahsedildi²⁷. Hazırlanması ise 1960 yılında fosfor pentaklorür ile hidroksilamonyum tuzunun reaksiyonuyla gerçekleştirılmıştır²⁸.



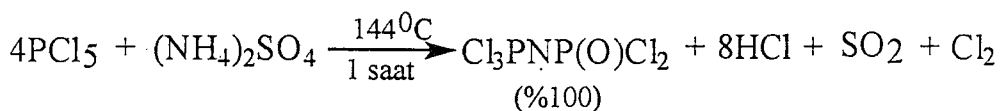
Bu reaksiyonda ürün (3), için ulaşılan verim % 50 civarındadır. Fosfor pentaklorür ve hidroksilamonyum klorür arasındaki bir başka reaksiyondan da; $\text{Cl}_3\text{PNP}(\text{O})\text{Cl}_2$, (3), ve $\text{P}_3\text{NCl}_{12}$ ($[\text{Cl}_3\text{PNP}\text{Cl}_3]^+$ $[\text{PCl}_6]^-$ den oluşan bir karışım elde edilmektedir²⁹. Daha sonra $\text{P}_3\text{NCl}_{12}$ nin SO_2 ile etkileştirilmesi ile (3) hazırlanmaktadır.



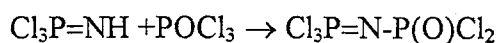
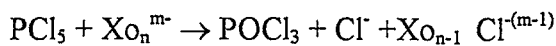
Bu ikinci yol, (3) bileşığının sentezi için ilk belirtilen yoldan daha çok tercih edilir. Çünkü $\text{P}_3\text{NCl}_{12}$, % 90 verimle PCl_5 ve NH_4Cl 'ün 1,1,2,2-tetrakloretanda bir saat geri soğutucu altında ısıtılmasıyla hazırlanabilmektedir³².



$\text{Cl}_3\text{PNP}(\text{O})\text{Cl}_2$ bileşığının sentezinde bir oksianyonun amonyum tuzu PCl_5 ile reaksiyon ortamında ısıtıldığında verim seçilen tuza bağlı olarak değişmektedir. Amonyum sülfat ile yapılan reaksiyondan en iyi verim elde edilmiştir. Reaksiyon denklemi;



Fosfor pentaklorür ve amonyum sülfat geri soğutucu altında inert çözücüde (1,1,2,2-tetrakloretan) reaksiyona sokulur. Çıkan gazlar (HCl , Cl_2 , SO_2) bazik çözelti (% 20 KOH) içinde tutulur. Ham ürün basınç altında ($k.n.$: $110-115^{\circ}\text{C} / 0.1 \text{ mmHg}$ da destillenerek saflaştırılır. Bu reaksiyon için aşağıda verilen mekanizma önerilmiştir³⁴.

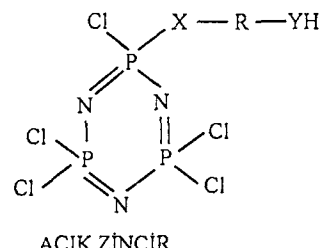
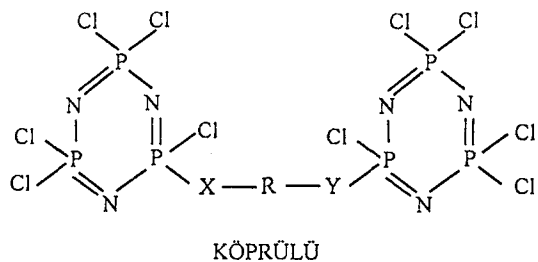
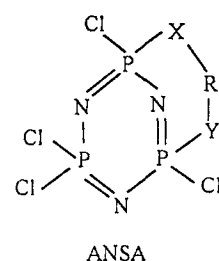
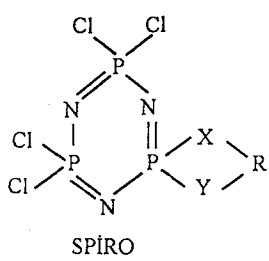


1.6 Fosfazenlerin Reaksiyonları

Oktaklorosiklotetrafosfazatetraen, (tetramer), $N_4P_4Cl_8$, (2) nin reaksiyonları son zamanlarda incelenmeye başlanmıştır. Bu bileşigin verilen bir bileşikle ürün oluşturma şansı yüksektir. Bu yüzden ürünlerin yapı tayini biraz daha zordur. Sekonder aminlerle olan reaksiyonlar komplekstir. Stokiyometriye, reaksiyon sıcaklığına, reaktiflerin tabiatına, çözücü etkisine ve onların bağlı oranlarına rağmen oluşan ürünler temel olarak geminal olmayan ürünlerdir^(35,36).

Tetramerin, $N_4P_4Cl_8$ (2), monofonksiyonlu ligantlar ile reaksiyonu trimerin $N_3P_3Cl_6$ (1) reaksiyonu kadar ilgi çekmemiştir. Tetramer trimere göre daha aktiftir. Bu yüzden çok sayıda bileşik oluşturma şansı vardır. Yapı tayinleri bu oranda da güçtür. Aynı problemler difonksiyonlu ligantlarda da mevcuttur. $N_4P_4Cl_8$ in difonksiyonlu alifatik nükleofilik reaktiflerle reaksiyonları son yıllarda oldukça fazla ilgi çekmiştir. Difonksiyonlu reaktifler temel olarak dört tür ürün verirler.

1. SPIRO: (İki uçda aynı fosfor atomuna bağlanır.)
2. ANSA: (İki uçda aynı moleküldé farklı fosfor atomlarına bağlanır.)
3. KÖPRÜLÜ : (İki uçda farklı moleküllerdeki birer fosfor atomuna bağlanırlar.)
4. AÇIK ZİNCİR YAPISI: (Sadece bir grup fosfor bağlanır diğer üç serbest kalır.)



Difonksiyonlu ligantlardan dioller ile yapılan çalışmalarda diollere karşı tetramerin trimerden daha aktif olduğu görülmüştür. Tetramerin diollerle oluşturduğu ürünler trimerin diollerle oluşturduğu ürünlerden daha kararsızdır. Yapılan incelemeler sonucunda şu açıklamalar yapılabılır: Trimerin mono-fonksiyonlu nükleofilik reaktiflerle, disübstitüsyon ile vermiş olduğu ürünler nongeminaldir. Tetramerin disübstitüsyon ürünü ise; 2,6-türevleridir.

Trimer, geminal bis-türevlerini verirken, 2,4-türevlerini de incelenen reaktiflerle verebilmektedir. İncelenen diollerin N_3P_3 sistemleri³⁷ ile yüksek bir yüzdede spiro türevlerini oluşturduğu görülmüştür. N_4P_4 sistemlerinde 2,2-4,4- ve 2,2-6,6-türevleri de hazırlanabilmiştir.

Halojen fosfazenler ile farklı nükleofillerin nükleofilik halojen yer değiştirme reaksiyonları oldukça detaylı olarak incelenmiş ve son yillardaki reviewlere konu olmuştur³⁸.

Ariloksit iyonları veya sekonder aminler ile $(NPCl_2)_3$ ün reaksiyonları, genellikle non-geminal⁽³⁹⁻⁴³⁾ yolları izlerken benzentiyolat, etentiyolate ve primer aminlerle geminal sübstitüsyon^(44,45) yolu ile ilerler. Hacimli ariloksi gruplarının geminal girişi daha az bilinmektedir. Sadece birkaç literatürde $N_4P_4Cl_8$ ve $N_3P_3Cl_6$ nın hacimli fenoksi türevleri ile reaksiyonları incelenmiştir⁽⁶⁶⁻⁶⁹⁾.

Fosfazenler ariloksi yan gruplarının bağlanması ile ilginc özellikler kazanmaktadır. Ariloksi yan grupları ile yüksek polimerik fosfazenler yüksek refraktif indeksli camlar^(4,46) ferroelektrik ve lineer olmayan optik polimerler^(6,7), sıvı-kristal materyaller⁽⁴⁷⁻⁵¹⁾ ve fotoaktif polimerleri⁽⁵²⁻⁵⁹⁾ ilgilendirir.

Genelde refraktif indeksli ve diğer optik, elektronik özelliklerin ariloksi yan grupları ihtiva eden iki veya daha fazla aromatik halkanın birleşmesi ile elektron delokalizasyonunun sonucunda meydana geldiği ispat edilmiştir.

Ayrıca çalışmamızda ligant olarak kullanılan hacimli fenoller, antioksidant olarak kullanılırlar ve bütillihidroksitoluenin (BHT) antioksidan özellikleri iyi bilinmektedir. Bunun dışında BHT yağ ihtiva eden virüslerin kuvvetli inaktivatörüdür⁶⁰.

Ancak hacimli gruplarla çalışma aşağıdaki sorularda beraberinde getirmiştir.⁽⁶¹⁾

- a.Siklofosfazen halkası veya lineer fosfazen oluşumunda konformasyon, bağ uzunluğu, bağ açıları üzerine hacimli ariloksi gruplarının etkisi nedir ?
- b.Lineer fosfazen oluşumunda konformasyon tercihi nedir ?
- c.Yan grupların istiflenmesi için mümkün sıvı kristaller veya non-lineer optik özellikler ile ilgili türevlerin gösterilmesi için delil olabilecek bir yol olabilir mi ?
- d.Yüksek polimerlerin kimyasal özellikleri ve bu model bileşiklerin taklit edilen yapılarının yakınlığı nasıldır ?

Fosfazenlerin değişik nükleofillerle reaksiyonları ayrıntılı olarak incelenmesine rağmen sterik engelli “Hacimli” fenollerle reaksiyonları son yıllarda incelenmeye başlanmıştır.

Fenol çekirdeğinin özellikle o-konumlarında büyük gruplar bağlı ise bu tür fenol türevlerine “Hacimli fenoller” denir.

2,6-di-*t*-butilfenol türevleri 1945 yılından itibaren araştırmalara konu olmuştur.

1.7 Fenol ve Türevlerinin Genel Özellikleri

Fenoller, aromatik halkaya doğrudan bağlı hidroksil, -OH, grubu içeren ve ArOH genel formülü ile gösterilen bileşiklerdir. Karbolik asit olarak da bilinirler.

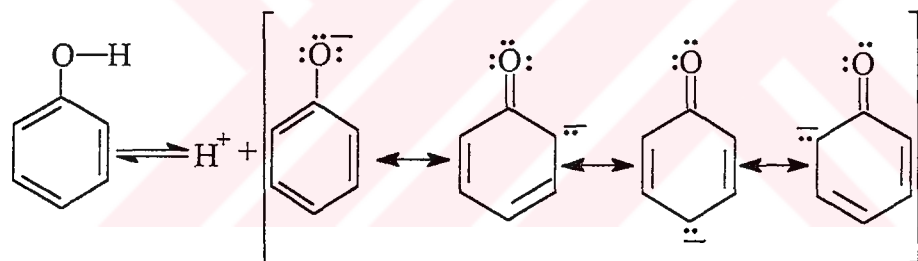
Fenoller özel isimleri dışında ya bu bileşik sınıfının en basit üyesi olan fenol, C₆H₅OH, türevi yada hidroksi bileşikleri olarak adlandırılır.

Fenollerin bazıları sıvı ise de çoğu düşük erime noktalı katı bileşiklerdir. Kendi molekülleri arasında hidrojen bağları oluşturmaları nedeniyle birçok fenolün kaynama noktası oldukça yüksektir.

Tablo 1.2 Bazı Fenollere Ait Fiziksel Değerler.

İsim	e.n ($^{\circ}$ C)	k.n ($^{\circ}$ C)	Basınç (mmHg)
Fenol	43	181.7	-----
m-krezol	30.9	191	-----
2,4,6-t-Bu-fenol	130-131	136	10
2,6-di-t-Bu-4-Me-fenol	70	132.5-133.5	11
2,4,6-tri-tamilfenol	sıvı	124-126	2

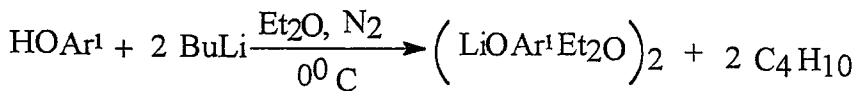
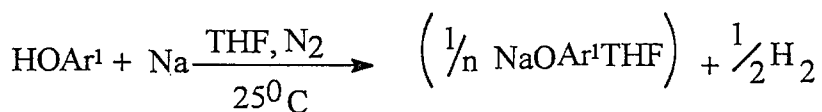
Fenollerin en önemli özelliklerinden biri asidik özellik göstermeleridir. Fenoller sudan ve ($K_{su}=10^{-14}$) ve alkollerden ($K_a=10^{-17}-10^{-18}$) daha fazla, karbolik asitlerden ($K_a=10^{-4}-10^{-3}$) daha az asidik olan bileşiklerdir. Fenollerin asitlikleri hidroksil grubundaki hidrojenin proton halinde ayrılmasıyla oluşan fenoksit iyonunun ArO^- , rezonansla kararlılık kazanmasından ileri gelir.



Fenoksit iyonu

Şekil 1.5 Fenolün Rezonans Formülleri

2,6-Di-*tert*-butilfenol türevleri diğer fenol türevlerinden daha az asidiktir. Çünkü *t*-butil gruplarının sterik ve elektron sağlayıcı etkisi vardır⁽⁶²⁾. Buna karşın *tert*-butil sübstidue fenol türevleri aktif hidrojen içermektedir. Fakat bu fenoller LiBu, NaH ve Na gibi kuvvetli baz kullanılmasını gerektirir^(63, 64).



2,6-Di-*tert*-bütilfenoller diğer fenollerden ayıran önemli özellikler şunlardır:

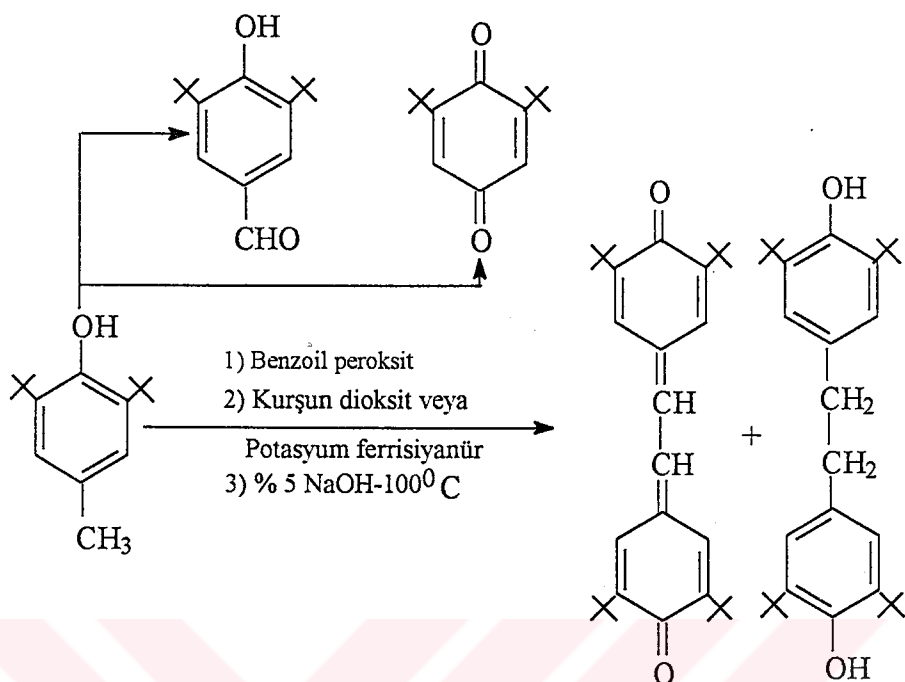
i) fenoksit radikallerinin kararlılığı

ii) karşılık gelen siklohekzadienonların oluşum kolaylığı

iii) alışılmış fenolik özellikleri göstermemeleri (sulu alkalide çözünmemeleri ve FeCl_3 ile renkli kompleks oluşturmamaları gibi)

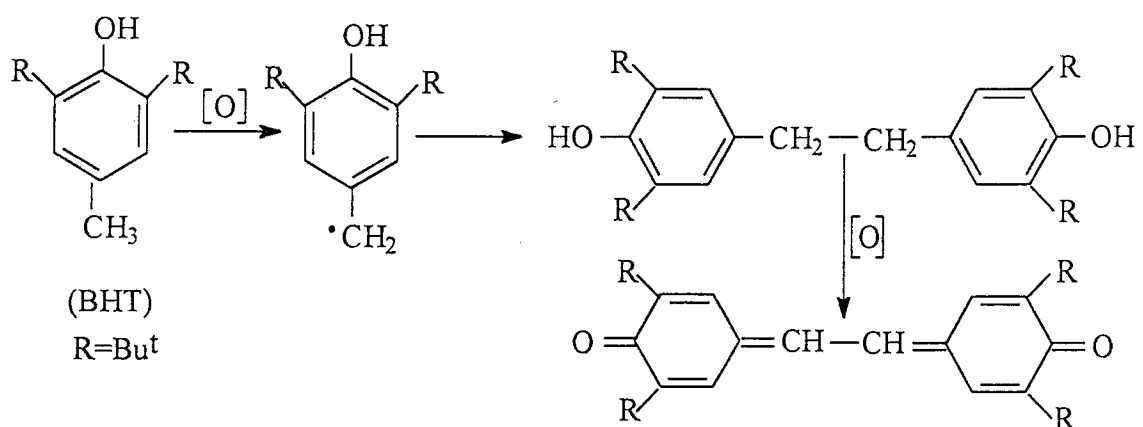
Tert-bütil gruplarının sterik etkisi, bu fenollere ve bu fenollerden türeyen bileşiklere beklenmedik özellikler kazandırmaktadır. Örneğin ; 2,4,6-tri-*tert*-bütilfenolün yükseltgenmesiyle oluşan radikalın ArO^{\cdot} , katı halde hazırlanabilmesi, *tert*-bütil gruplarının radikal kararlılığına ne denli etkili olduğunu göstermektedir. Bununla birlikte, son zamanlarda sentezi gerçekleştirilen azobenzen benzeri, $\text{ArP}=\text{PAr}$, bileşiği de özelliğini *tert*-bütil gruplarından almaktadır.

2,6-Di-*tert*-bütilfenol türevleri yükseltgenlere karşı farklı davranışları. Yükseltgenme sonucu ya dimerik ürün ya da nispeten kararlı radikaller meydana gelir. 1955 yılında yapılan çalışmalarda kararlı radikallerin oluşmasının; i) o- ve p-konumlarının nükleer dimerizasyonu önlemesi, ii) sübstiyentlerin alfa hidrojene sahip olmaması gibi iki nedene bağlı olduğu anlaşılmıştır. Örneğin; 2,6-di-*tert*-bütil-4-metilfenol, 2,4,6-tri-metilfenol ve 2,6-di-*tert*-bütilfenol gibi fenollerin yükseltgenmelerinde dimerik ürünlerin meydana gelmesine karşın 2,4,6-tri-*t*-amilfenol, 2,6-di-*tert*-bütil-4-metoksifenol ve 2,6-di-*tert*-bütil-4-bütoksifenol gibi alfa hidrojensiz 2,4,6-tri-alkilfenoller tamamen benzer yükseltgenmelerde kararlı radikaller vermektedirler.



(Şekil 1.6)

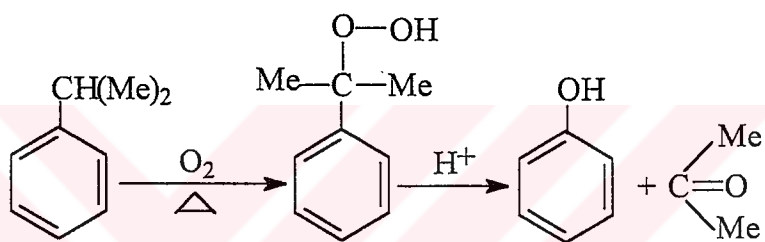
Dimerik ürün oluşturan *tert*-bütıl sübstidue fenol türevleri yükseltgen bir maddeyle etkileştirildiğinde, renk değişimlerinin meydana gelmesi reaksiyonun ara basamaklarında bir radikalın olduğunu ve bu radikalın dimerleştiğini gösterir. Örneğin; BHT'nin alkollü ferrisiyanür ile yükseltgenmesinde geçici koyu mavi rengin gözlenmesi reaksiyon esnasında radikal oluşmasındandır.



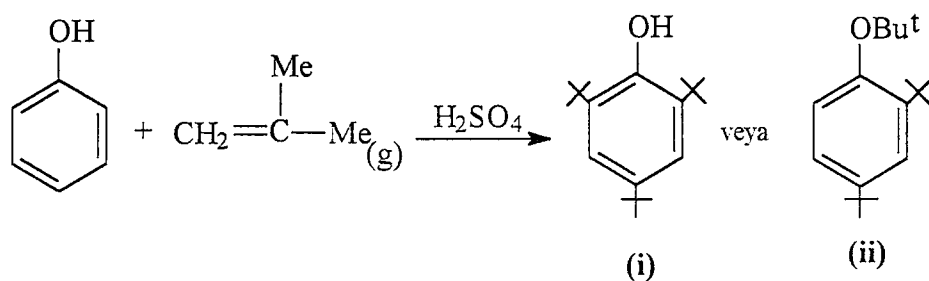
1.8 Fenol ve 2,6-Di-Tert-Bütilfenol Türeylerinin Sentezi

Fenoller ve bazı türevleri taş kömürü katranında buhunur. Fenol, Dow prosesi olarak bilinen endüstriyel yöntemle klorbenzen ve derişik NaOH çözeltisi ile yüksek basınç altında ve yüksek sıcaklıkta elde edilmektedir.

Son zamanlarda Dow prosesine alternatif olan kümen-peroksit yöntemi geliştirilmiştir. Bu yöntemde kümen eser miktarda baz ile birlikte hava akımına tabi tutulursa hidroperoksit oluşur. Bu hidroperoksit asidik ortamda hidroliz edilirse fenol ve asetona dönüşür.

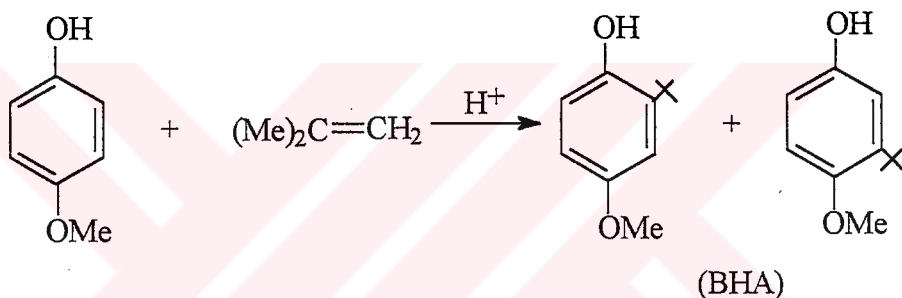
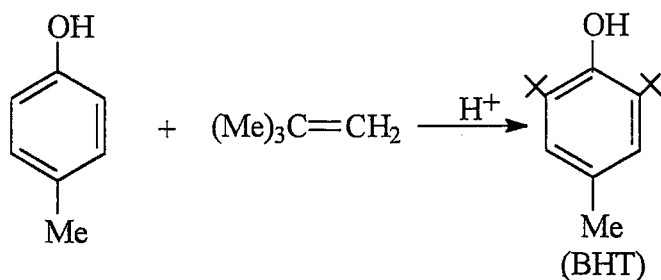


1945 yılında Gordon H. Stillson ve arkadaşları fenol ile *i*-büteni asit varlığında (derişik H_2SO_4 veya fosforik asit), etkileştirmeleri sonucu ($C_{18}H_{30}O$) empirik formülüne uygun ürünü sentez etmişlerdir. Ayrıca, fenol ile *tert*-butil klorür susuz alüminyum klorürün varlığında etkileştirildiğinde aynı ürün ele geçmiştir.



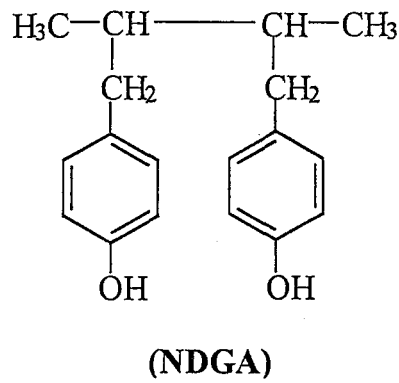
Bu ürünün 2,4-di-*tert*-bütilfenil *tert*-bütil eter (**ii**) yapısında olduğu düşünülürken yapılan spot denemelerle (alkollü çözeltiye % 2lik fosfomolibdik asit, amonyum hidroksit ilavesi ile oluşan test çözeltisi) oldukça yüksek verimle 2,4,6-tri-*tert*-bütilfenol (**i**) yapısında olduğu anlaşılmıştır.

Böylece, *tert*-bütil sübstüe fenol türevleri fenollerin alkilasyonu ile hazırlanmaktadır. BHT ve BHA'ının uygun başlangıç fenollerini kullanılarak sentezleri aşağıda örnek olarak verilmiştir.

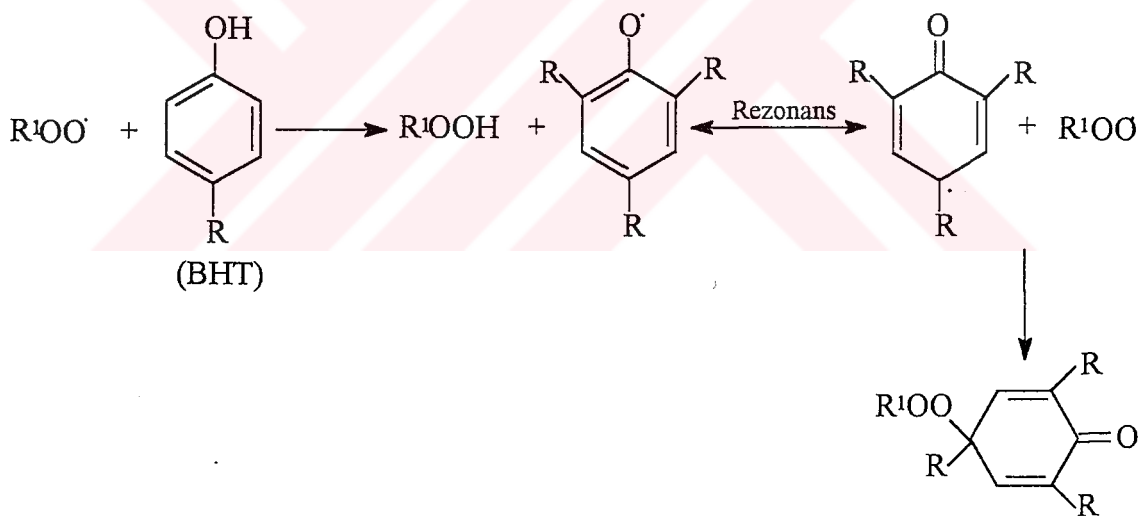


1.9. Fenollerin Antioksidan Özellikleri

Fenolün kendisi antioksidan özellik taşımazken dihidroksi, 2 ve 4 konumlarında alkil grupları taşıyan türevleri ise antioksidan olarak endüstride oldukça önemli olan bileşiklerdir. Örneğin, günümüzde BHT %0.01, BHA %0.02, ve NDGA (nordihidroguayaretik asit) %0.01 oranında (hatta bu madde pişirilmiş besinlerde bile etkisini korur) gıda endüstrisinde kullanılır.



Sübstitüe fenollerin oksitlenmeyi yavaşlatma etkisi her bir sübstitüe fenolün iki molekül peroksit radikali ile reaksiyona girerek bu radikalleri deaktive etmesine dayanır.



Bu tür yavaşlatıcıılarda hidroksil grubuna göre *p*-konumunda metil ve *o*-konumunda en az *tert*-bütil grubu olmak kaydıyla her üç konumunda alkilenmiş olması halinde en etkin oksitlenmeyi yavaşlatma etkisi sağlanmaktadır

1.10.Fosfazenlerin Ariloksi Grupları İle Olan Reaksiyonları:

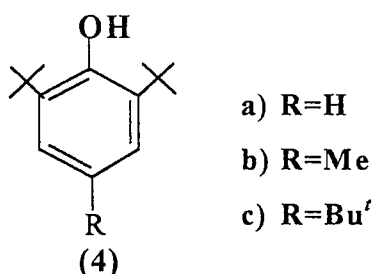
Halojenli fosfazenler ile farklı nükleofillerin, nükleofilik halojen yer değiştirme reaksiyonları oldukça detaylı olarak incelenmesine karşın, ariloksi grupları ile olan reaksiyonları son yıllarda incelenmeye başlanmıştır. Literatür araştırmaları sırasında sadece birkaç çalışmada $N_4P_4Cl_8$ (2) ve $N_3P_3Cl_6$ (1)ının hacimli fenollerle olan reaksiyonlarının incelendiği görüldü.

Bu tür ligantlarda sübstiyonun kolaylıkla olması, ariloksi birimlerinin sterik ve elektronik karakterlerinin her ikisine de bağlıdır. Böylece, hacimli veya elektronik olarak deaktif nükleofiller kullanıldığında ılıman reaksiyon şartlarında uygun klor atomlarının sadece bir kısmı yer değiştirebilir. Sonuç olarak ikinci bir muamelede daha reaktif nükleofile ihtiyaç vardır.

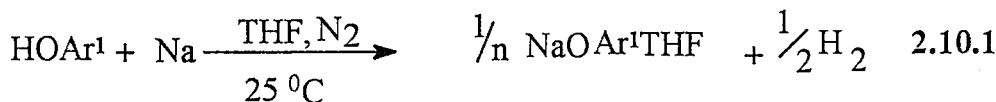
Makromoleküler sübstiyon reaksiyonları, benzerleri olan küçük moleküllerden daha karmaşıktır. Tipik makromoleküler reaksiyonlarda her bir polimer molekülde 30000 klor atomu yer değiştirir. Küçük molekül sistemleri; NMR, kütle spektrometri ve X-ışını teknikleri ile karakterize edilirken, bu işlem yüksek polimerler için zor veya imkansızdır⁶⁵.

1.10.1 Hekzaklorosiklotrifosfazatrien'in 2,6-Di-Tert-Bütilfenol Türevleri İle Olan Reaksiyonları:

Daha önce yaptığımız bir çalışmada $N_3P_3Cl_6$ (1) ile *tert*-bütilfenollerin (4a, 4b, 4c) reaksiyonları incelendi⁶⁶.

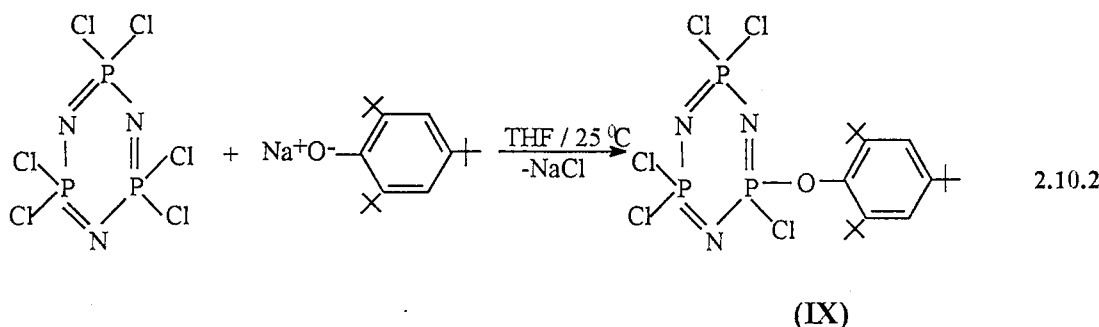


Yukarıda sözkonusu edilen çalışmada öncelikle daha önce yapılan bir çalışmada⁶³ kullanılan bir yöntem uygulanarak *tert*-bütilfenolerin sodyum tuzu hazırlandı.

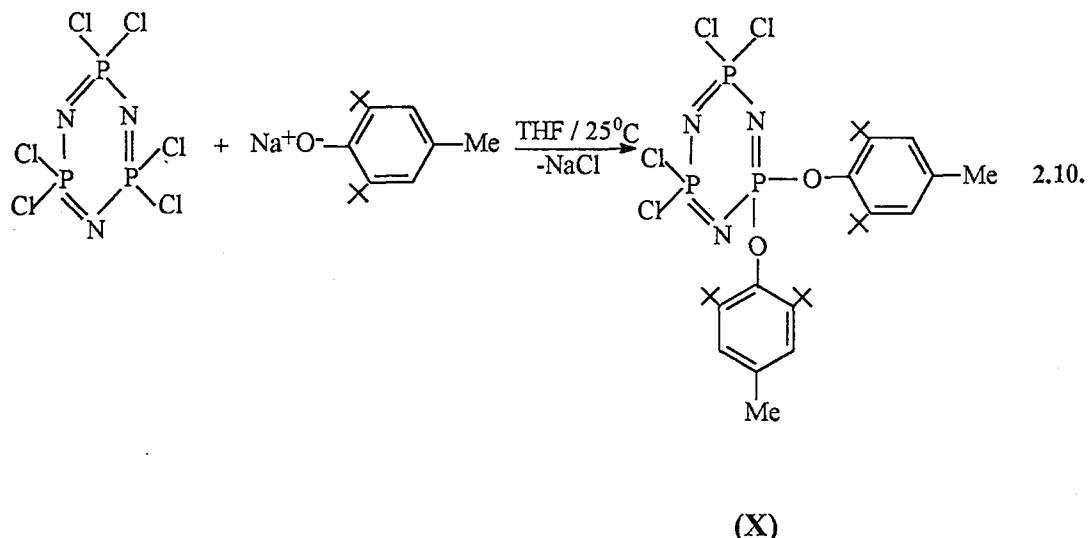


Daha sonra sodyum 2,6-di-*tert*-bütilfenol tuzları değişik mol oranlarında $\text{N}_3\text{P}_3\text{Cl}_6$ ile etkileştirildi. Yapılan bu çalışmalar neticesinde iki monosiklo $\{\text{N}_3\text{P}_3\text{Cl}_5(\text{OC}_6\text{H}_3\text{Bu}'_3-2,4,6)\}$, $\text{N}_3\text{P}_3\text{Cl}_4(\text{OC}_6\text{H}_2\text{Me}-4-\text{Bu}'_2-2,6)_2$ ve bir bi(siklofosfazen) $[\text{Cl}_5\text{N}_3\text{P}_3-\text{P}_3\text{N}_3\text{Cl}_4(\text{OC}_6\text{H}_3\text{Bu}'_2-2,6)]$ bileşiği sentez edildi⁶⁶. Bu bileşiklerin yapıları element analizleri, IR, ^1H , ^{13}C , ^{31}P NMR spektroskopı tekniklerinden elde edilen bilgilerle tayin edildi. Ayrıca $\{\text{N}_3\text{P}_3\text{Cl}_5(\text{OC}_6\text{H}_3\text{Bu}'_3-2,4,6)\}$ bileşığının yapısı tek kristal x-ışını difraksiyon metodu ile belirlendi.

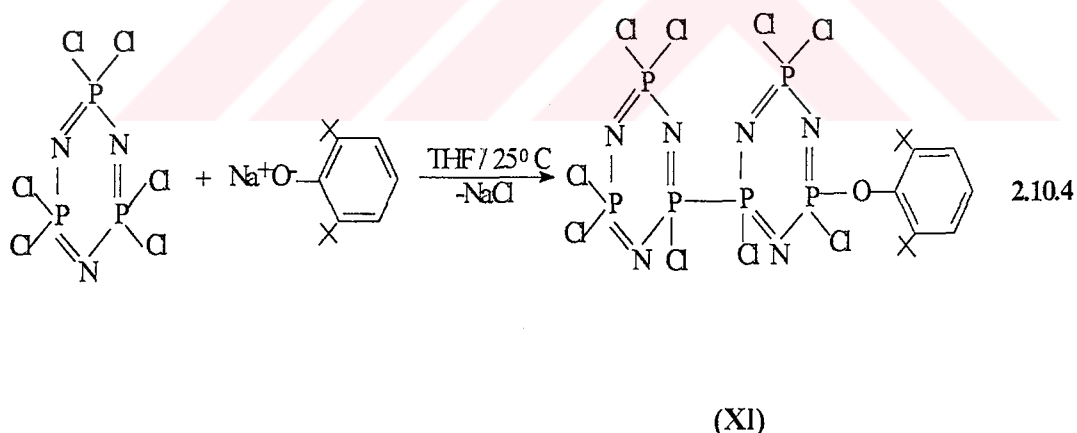
Trimer ile 2,4,6-tri-*tert*-bütilfenol'ün sodyum tuzunun eşdeğer miktarlarının THF deki reaksiyonundan monosübstitüe bir ürün (**IX**) ele geçerken,

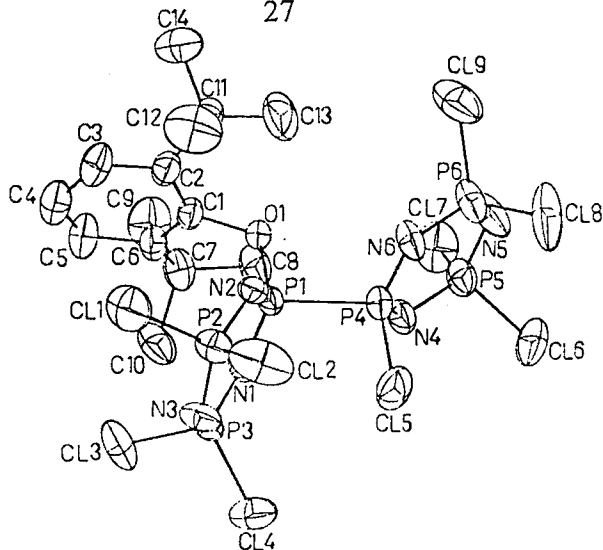


2,6-di-*tert*-bütil-4-metilfenol'ün sodyum tuzunun reaksiyonundan disübstitüe geminal bir ürün izole edildi (**X**).



2,6-di-*tert*-butilfenol'ün reaksiyonundan ise bir bi(siklofosfazen) bileşiği (**XI**) ele geçti. Elde edilen bi(siklofosfazen) bileşiği, bizim çalışmalarımızda ele geçen iki siklotrifosfazatrien halkasının bir P-P bağı (2.193 \AA^0) ile bağlandığı ilk örnektir.





Şekil.1.7 (IX) Bileşininin X-Işını Yapısı

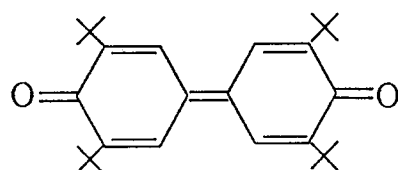
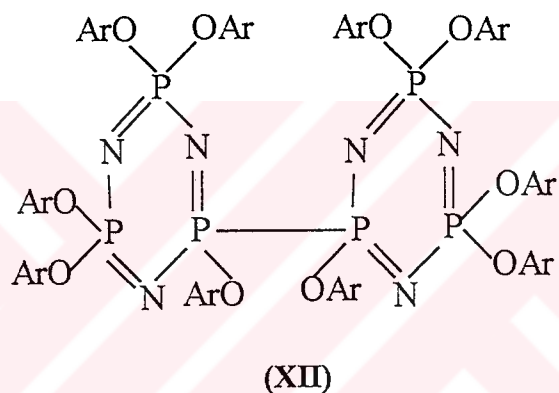
Bu nükleofilik sübstiyüson reaksiyonundan non-geminal cis veya trans ürün izole edilemedi.

(IX) Bileşinin aril ve alkil C-H gerilme frekansları sırasıyla $3010\text{-}3060\text{ cm}^{-1}$ de gözlenmiştir. (P-N) Halkasının kuvvetli infrared absorbansları $1100\text{-}1300\text{ cm}^{-1}$ ve karakteristik $\nu(P=N)$ bandları $1170\text{-}1215\text{ cm}^{-1}$ de gözlenmiştir. ($\nu P-Cl$) 590 cm^{-1} de absorbans göstermektedir. **IX-XI** Bileşiklerinin yapıları için 1H , ^{13}C , ^{31}P NMR verileri kuvvetli bir delildir. **IX-XI** Bileşiklerinin 1H NMR spektrumları nispeten basittir, fakat aydınlatıcıdır. Bütün metil protonları singlettir.

(X) Bileşği için; metil protonları $\delta=1.30$ ($4\text{-Bu}'$, $-\text{CH}_3$) ve 1.50 ($2\text{-Bu}'$, $-\text{CH}_3$) 2:1 oranında ve fenil protonları $\delta=7.32$ de rezonansa gelirler. 1H NMR spektrumunun düşük alan bölgelerinde Bu' gruplarının proton rezonansları gözlenmektedir: $\delta=1.43$ (X), 1.38 (XI). (X) Bileşinin para pozisyonundaki metil protonları $\delta=2.81$ de bir singlet vermektedir. (X) için fenil protonlarının düşük alan proton rezonansları $\delta=6.97$ de gözlenirken, (XI) için $\delta=7.70$ de gözlendi.

(IX) Bileşininin ^{13}C NMR spektrumunda, $C(\text{CH}_3)_3$, $C(\underline{\text{CH}}_3)_3$ ve $\underline{C}\text{H}_3$ (para pozisyon) gruplarının sinyalleri sırasıyla $\delta=38.04$, 30.07 ve 34.28 de gözlendi. (IX) Bileşininin kütle spektrumunda temel iyon m/z 573 %32 beklenen izotop modeli ile uyumludur. Pikler m/z 558, 516, 502, 312 dir ve sırasıyla CH_3 , Bu' , 2Cl veya $\text{Bu}' + \text{CH}_3$ ve OAr kayıplarına karşılık gelmektedir. (X) Bileşininin temel iyonu m/z 715

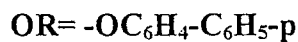
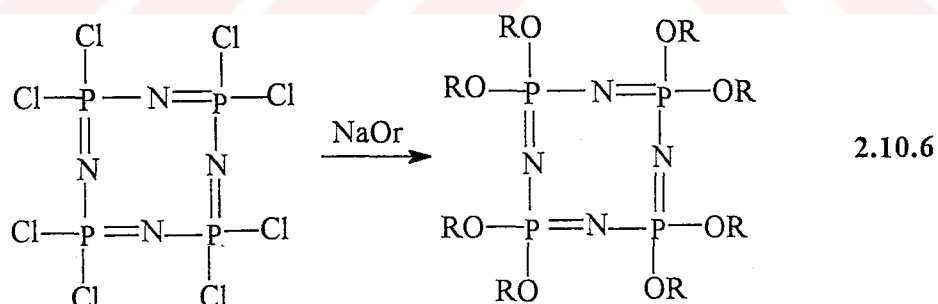
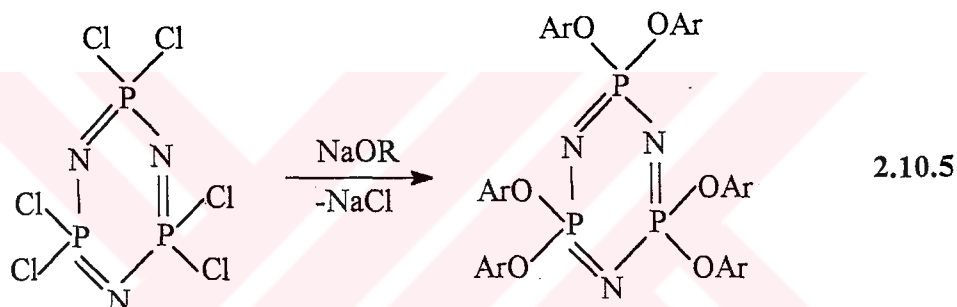
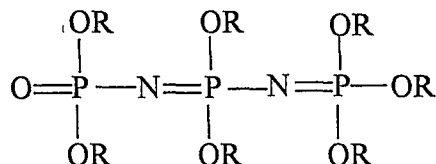
(%45) de görüldü. $\{[Bu']^+, \%100\}$ m/z 57 dominant iyondur. Parçalanma modeli (IX) e çok benzer. (XI) Bileşiginin kütle spektrumunda bir temel iyon gözlenmedi; piklerin bir kısmı m/z 721 (%11) ile iki klor kaybının etkisine karşılık gelir. Dominant iyon, $[H_3N_6P_6Cl(OH)]^+$ (m/z 502, %100) ve $[Bu']^+$ (m/z 57, %100) kütle spektrumunda gözlendi. Sözkonusu çalışma sırasında (XII) yapısında olduğu tahmin edilen bileşigin gerçek yapısının böyle olmadığı, fenolün yükseltgenme ürünü olan (13) yapısında bir kinon olduğu sonraki çalışmalarımız sırasında anlaşıldı.



1.10.2 Fosfazenlerin 4-Fenilfenol İle Olan Reaksiyonları:

Bir başka çalışmada ise⁶¹ 4-fenilfenoksi yan grubu taşıyan sıklik ve kısa zincirli lineer fosfazenlerin bir serisi sentez edilmiştir. Bu bileşikler karşılığı olan lineer yüksek polimerler için bir modeldir. Bu çalışmada da 4-fenilfenol'ün THF içerisinde metalik

sodyum ile sodyum tuzu hazırlanmıştır. Hazırlanan bu tuz değişik oranlarda trimer, tetramer ve lineer fosfazenlerle etkileştirilmiştir. Bu çalışmada ariloksi yan grubu taşıyan üç fosfor atomu ihtiva eden ilk lineer oligomerik fosfazen bileşiği sentezlenmiştir.



Burada siklik türlerin ^{31}P NMR spektrumları singlet iken, lineer türlerin ki ise multiplettir. Bu durum, bu bileşiklerdeki fosfor atomlarının kimyasal çevresinin farklıdır.

olmasından kaynaklanmaktadır. Lineer türlerde $-P(OR)_2-$ birimlerinin kimyasal kaymaları yüksek polimerik sistemlerdekine yakın bir benzerlik göstermektedir.

[NP(OC₆H₄-C₆H₅-p)₂]₃ ün Moleküler ve Kristal Yapısı:

Bu bileşik fosfazen iskeletinde P(1), P(2), P(3) atomlarının her birine iki fenilfenoksi gruplarının bağlandığı bir siklik trimerik fosfazen halkası ihtiva eder. Fosfazen halkası az bükülmüştür. Fosfor atomları halka düzleminin üstüne yerleşmişken, azot atomları halkanın altına yerleşmiştir. 4-Fenilfenoksi birimlerinde iki fenil halkası birbirine kıvrılarak bağlanmıştır. Bu bileşikte P-N bağ uzunlukları 1.554 Å⁰ dan 1.602 Å⁰ e kadar değişir. P-N-P açıları 120.9 Å⁰ dan 123.2 Å⁰ e, N- P- N açıları ise 115.1 Å⁰ dan 118 Å⁰ e değişir. Ortalama P-O bağ uzunlukları 1.556 ve 1.592 Å⁰ arasındadır. Bu P-O tekli bağından (1.61 Å⁰) daha kısadır ki bu durum bazı elektronların ekzosiklik delokalizasyonundan ileri gelir. Ortalama O-P-O bağ açıları 92.9⁰ den 97.8⁰ ye değişir. Açılar bükülmüş iki fenil halkaları arasındadır.

[NP(OC₆H₄-C₆H₅-P)₂]₄ ün Moleküler ve Kristal Yapısı:

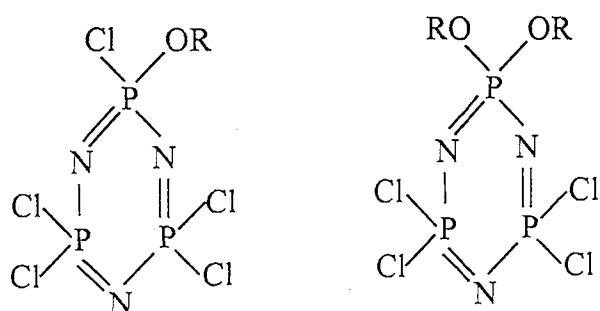
Sekiz üyeli fosfazen halkasını ihtiva eden [NP(O-C₆H₄-C₆H₅P)₂]₄ molekülü kayık konformasyonundadır. Bu konformasyon trimerik analoguna, [NP(O-C₆H₄-C₆H₅P)₂]₃, çok benzer ki bu yan zincir konformasyonunun fosfazen halkasının hacmine bağlı olmadığını gösterir. Burada P-N bağ uzunlukları 1.529 Å⁰ dan 1.571 Å⁰ a kadar değişir. P-N-P açılarının ortalama 134.1⁰ değeri 132.1⁰ ile 138.7⁰ arasında değişir. N- P-N açıları 119.5⁰ ile 121.4⁰ arasında değişir, ortalama değer 120.7⁰ dir. P-O bağ uzunlukları 1.565-1.601 Å⁰ arasında değişir. O-P-O açıları ortalama 99.0-104.6⁰ arasındadır ki bu anlamlı bir şekilde siklik trimerik türlerde bulunandan daha genişdir. Ayrıca trimerik analogunda olduğu gibi bifenil birimlerinde fenil halkaları aynı düzlemdedir. Dihedral açılar 32.44⁰ ve 48.05⁰ arasında ve fenil halkasının düzlemleri arasındadır.

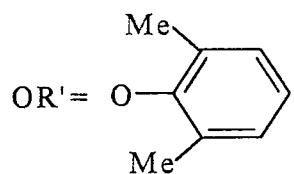
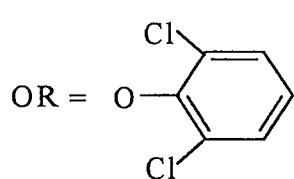
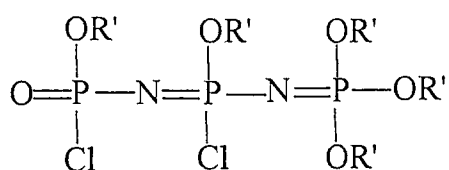
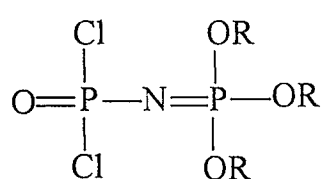
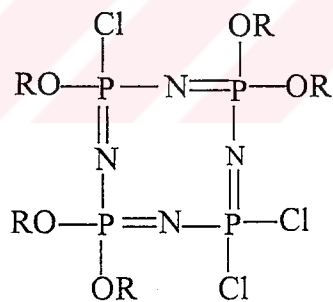
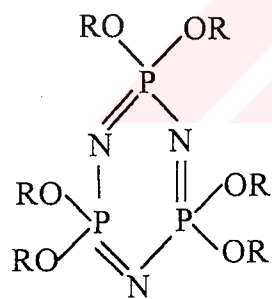
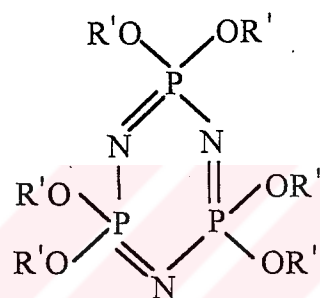
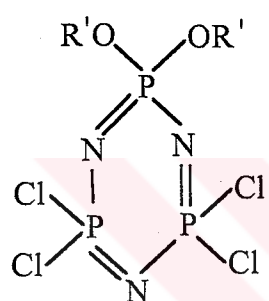
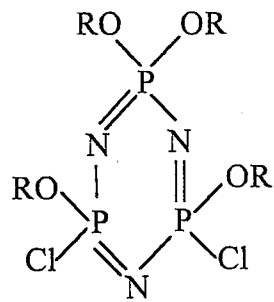
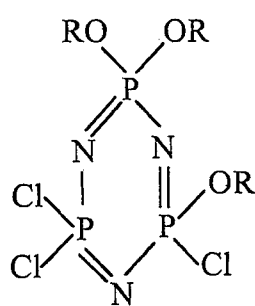
Bütün yapılarda P-O bağ uzunlukları tekli bağ uzunluğu (1.61 \AA^0) değerinden daha kısalıdır. Bu anorganik halka veya zincirinden daha çok iskelet elektronlarının delokalizasyonundan ileri gelir.

1.10.3. Fosfazenlerin *o*-Dimetilfenol Ve *o*-Diklorofenol İle Olan Reaksiyonları:

o-Dimetilfenol ve *o*-diklorofenol'ün dioksan içerisinde metalik sodyum veya sodyum hidrür ile sodyum tuzu hazırlandıktan sonra yapılan çalışmalarda, sodyum-*o*-dimetilfenoksit ve sodyum-*o*-diklorofenoksit $(\text{NPCl}_2)_3$, $(\text{NPCl}_2)_4$, $\text{OPCl}_2\text{NPCl}_3$ ve $\text{OPCl}_2\text{NPCL}_2\text{NPCl}_3$ ile belirli oranlarda etkileştirilerek⁶⁷ planlanan sübstiyüsyonlar gerçekleştirılmıştır. Böylece siklik ve lineer zincirli klorofosfazenlerin nükleofilik sübstiyüsyon reaksiyonlarının başarılmasındaki sterik ve elektronik faktörler araştırılmıştır.

Bütün bu durumlarda reaksiyon karışımlarından elde edilen ürünler tek değildir. Diğer izomerler de elde edilmiş ancak kristallendirilememiştir. Reaksiyonlar neticesinde aşağıdaki bileşikler sentezlenmiştir.





Bu reaksiyonlarda başlangıçta geminal sübstiyon gerçekleşirken, dördüncü klor atomunun nükleofille yer değiştirmesi non-geminal yolu takip etmiştir. Bu aşamada reaksiyonda değişik sübstiyon mekanizmaları ortaya çıkmıştır. Bu basamakta S_N1 prosesinin olacağı beklenmesine karşın, dördüncü klor atomunun yer değiştirmesinde sterik faktörler baskındır. Burada ariloksi gruplarının kalabalıklılığı minimize edilecek şekilde sübstiyon non-geminal olmaktadır. Meydana gelen yapıda yan grupların intramoleküler istiflenmesine müsaade edilmiştir.

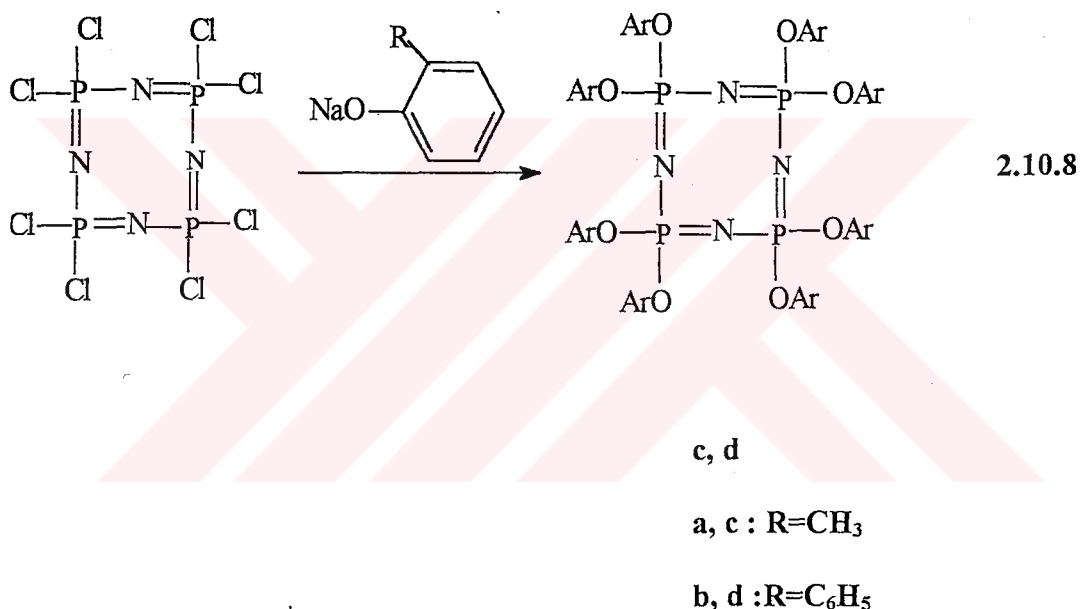
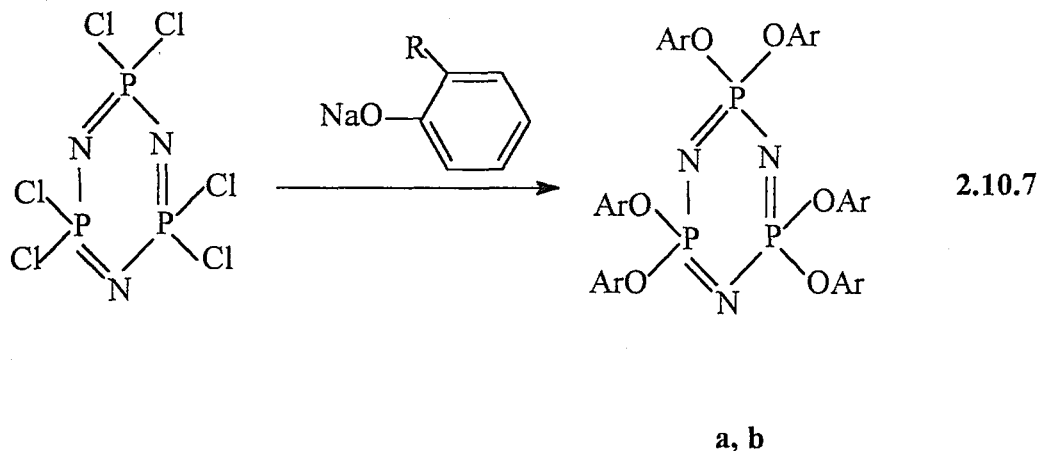
Hekzasübstitüe bileşiginin sentezinde ise daha zorlayıcı reaksiyon şartlarına ihtiyaç vardır.

1.10.4 Fosfazenlerin Orto Sübstitüe Ariloksi Grupları İle Olan Reaksiyonları:

Fosfazenlerin orto sübstitüe ariloksi grupları ile olan reaksiyonları da incelenmiştir⁶⁸. Burada orto sübstituentler metil ve fenil gruplardır. Sodyum 2-metilfenoksit ve sodyum 2-fenilfenoksit'in nispeten ılımlı şartlar altında kullanılması ile $(NPCl_2)_3$ ve $(NPCl_2)_4$ de klor atomlarının tamamının yer değiştirdiği gözlenmiştir.

Harry R. Allcock ve çalışma grubu tarafından yapılan incelemeler neticesinde poli(diklorofosfazen) de yer değiştiren klor atomlarının sayısı ve ortoSübstituentlerinin hacmi arasında bir ilişki olduğu gözlenmiştir. Örneğin sodyum 2-fenilfenoksit ile % 76 sübstiyona karşılık, sodyum 2-metilfenoksit ile % 85 yer değiştirmeye gözlenmiştir.

Yapılan bu çalışmada trimer ve tetramer dioksan içerisinde tetra-*n*-butilamonyumbromür'ün varlığında sırasıyla sodyum 2-metilfenoksit veya sodyum 2-fenilfenoksit'in aşırısı ile etkileştirilmiştir. Bütün bu durumlarda 48 saat ve 100 °C da klor atomlarının tamamı ariloksi birimleri ile yer değiştirmiştir.



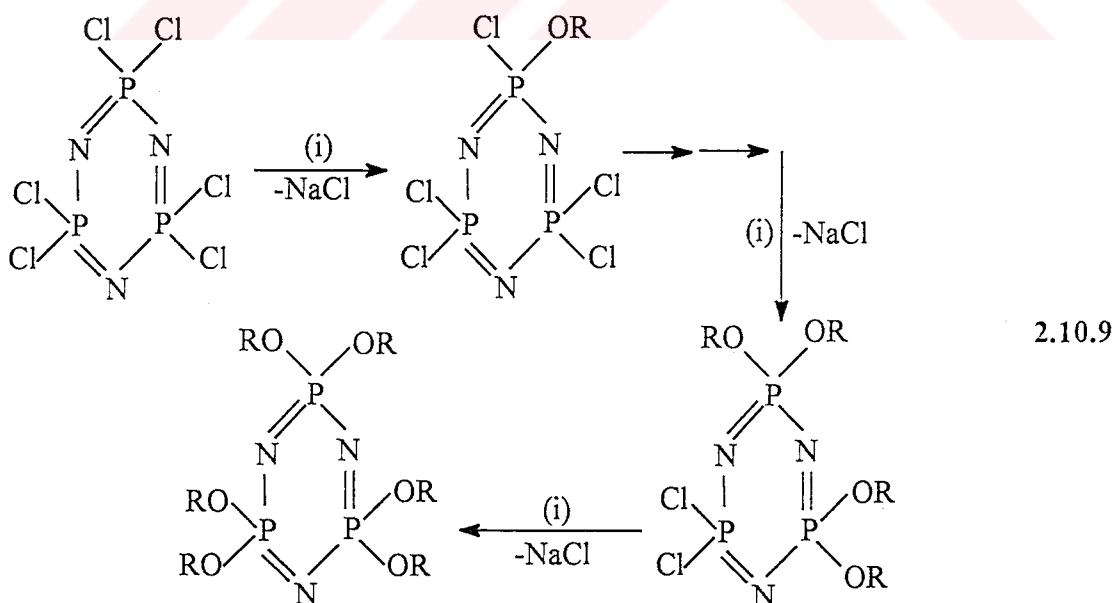
Sıklık tetramerik türlerin moleküler yapıları P-Cl sübstiyonunun tamamlandığını doğrulamaktadır. Bunlara ilaveten moleküler yapılar ortoSübstiyentlerin fosfor-azot halka iskeletinde ve ortak parametrelerde önemli bir değişiklik yapmadığını göstermiştir.

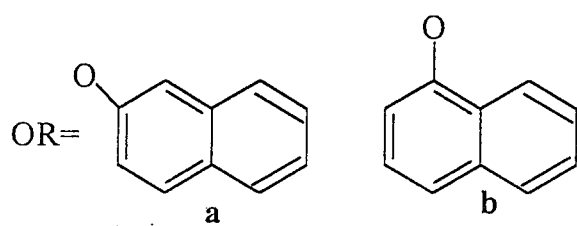
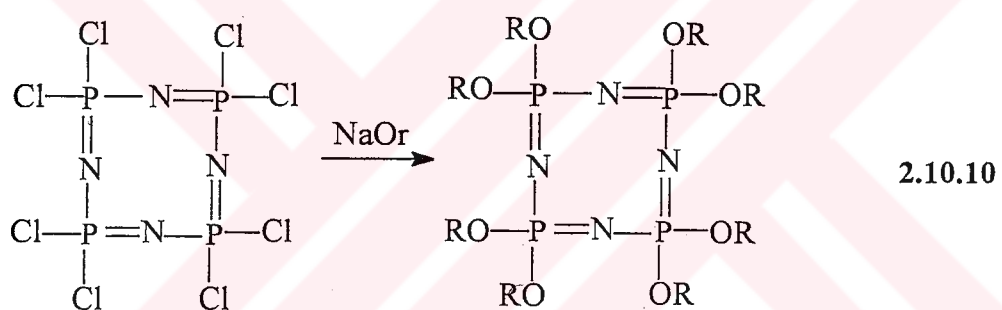
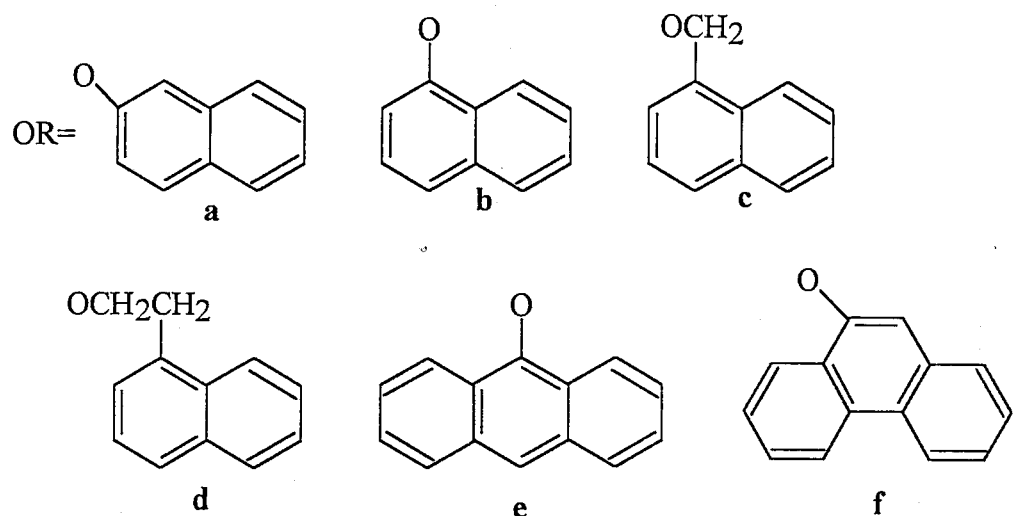
Bir *o*-metil sübstiyenti veya *o*-fenil sübstiyentinin fenoksi sübstiyue tetramere bağlanması fosfor-azot halkasının konformasyonunda önemli bir değişimye neden olmamıştır. Her durumda, bükülmüş veya kayık konformasyonu tayin edilmiştir.

1.10.5 Farklı Para Sübstitüe Ariloksitlerle Fosfazenlerin Reaksiyonları:

Bu amaçla⁶⁹ kullanılan OR grupları 1-veya 2-naftiloksi, 1-naftilmetyloksi, 9-antrilikloksi, ve 9-fenantrilikloksi gruplarıdır. Bu gruplar ile sıklik tri- ve tetra-merik fosfazenlerin bir serisi $[NP(OR)_2]_n$ (n=3 veya 4), $N_3P_3(OR)Cl_5$ ve $N_3P_3(OR)_4Cl_2$ hazırlanmıştır. Bu sentezler yüksek polimer fosfazenlerin hazırlanması için bir pilot modeldir. Küçük moleküllü bileşikler ³¹ P NMR, kütte spektroskopi, elemental analizler ve bu bileşiklerin kristal yapılarının birleştirilmesiyle karakterize edilmiştir. Reaksiyon sıcaklığı artırılarak benzer tekniklerle yüksek polimerler hazırlanabilmiştir.

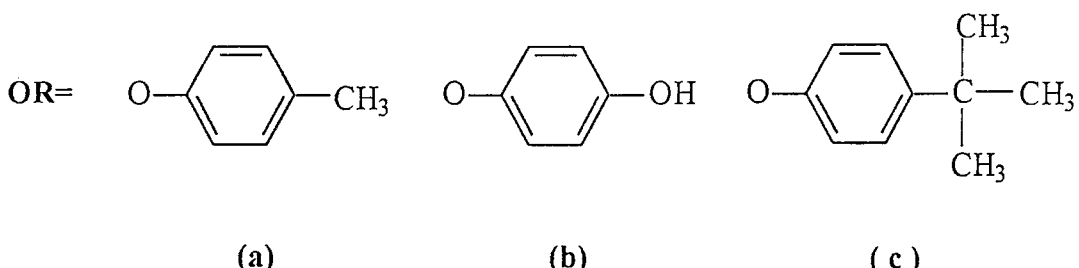
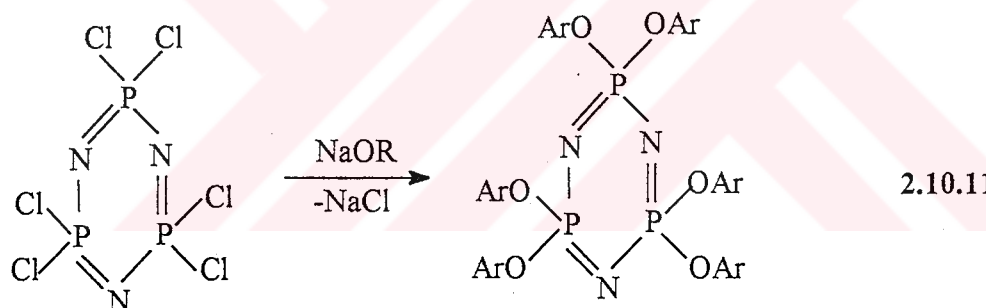
Reaksiyonlar hekzaklorosiklo- $2\lambda^5,4\lambda^5,6\lambda^5$ -trifosfazen veya oktaklorosiklo- $2\lambda^5,4\lambda^5,6\lambda^5,8\lambda^5$ -tetrafosfazende ariloksit iyonlarıyla klor atomlarının nükleofilik yer değiştirme reaksiyonlarını ihtiva eder. Birkaç durumda kısmen sübstitüe olmuş türler sentezlenirken tamamen sübstitüe olmuş türler de elde edilmiştir. Bütün bu durumlarda reaksiyon verimleri % 70 den % 85 e kadar değişmektedir. Bu bileşiklerin sentezleri için şu şekilde bir şema önerilmiştir.

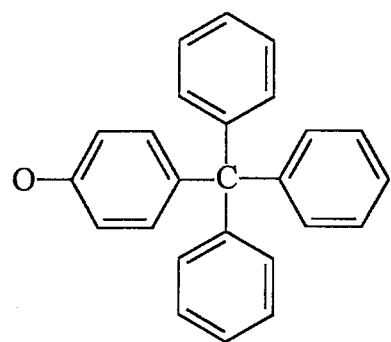




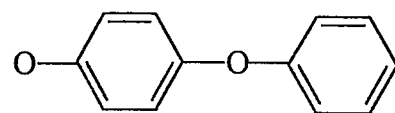
1.10.6 Fosfazelerin *Para*-Sübstítüe Fenoksi Grupları İle Reaksiyonları:

para-Sübstítüe fenoksi gruplar ile fosfazenlerin reaksiyonunda⁶⁵, 4-metil-, 4-*tert*-bütil-, 4-(trifenilmetil)-, 4-fenoksi, 4-benziloksi-fenoksi ve 4-benziloksi-benziloksi birimleri ile fosfazenler etkileştirilmiştir. Bu reaksiyonlar neticesinde ele geçen yeni bileşiklerin yapıları ³¹P NMR, kütle spektrometri ve elemental analizlerinin birleştirilmeleri ile tayin edilmiştir. $N_3P_3(OC_6H_4R-4)_6$ ($R=CH_3$, OH, OPh veya OCH_2Ph), $N_4P_4(OC_6H_4OPh-4)_8$ ve $OP(OC_6H_4Bu'-4)_2NP(OC_6H_4Bu'-4)$ ün kristal ve moleküler yapıları tek kristal x-ışını difraksiyon teknikleri ile incelenmiştir. Yüksek polimerler, $[NP(OC_6H_4R-4)_2]_n$ ($R=OPh$, OCH_2Ph veya Bu') $[NP(OC_6H_4CPh_3-4)_{1.5}Cl_{0.5}]_n$ ve $[NP(OCH_2C_6H_4OCH_2Ph-4)_2]_n$ de hazırlanmıştır ve onların yapıları ¹H ve ³¹P NMR spektroskopisi teknikleri ile aydınlatılmıştır.

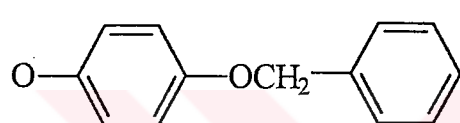




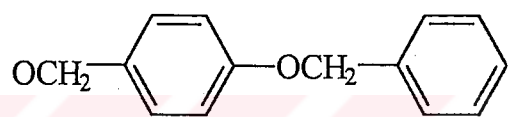
(d)



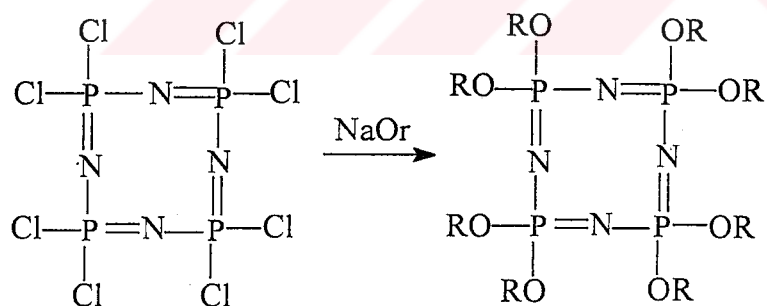
(e)



(f)



(g)



2.10.12

OR=4-Fenoksifenoksi

2.DENEYSEL BÖLÜM

Havanın nem ve oksijenine karşı kararlı bileşikler hariç bütün deneyler argon atmosferinde, kurutulmuş çözüçülerde ve kuru malzemeler kullanılarak yapıldı. Bu amaçla özel kaplar kullanıldı ve kullanılmadan önce vakum altında ısıtılarak içerisindeki nem ve oksijen uzaklaştırıldıktan sonra kuru argon gazı ile dolduruldu.

Bütün bileşiklerin saflıklarını spektroskopik yöntemlerle kontrol edildi. Elemental analiz, ^1H NMR, ^{13}C NMR, ^{31}P NMR spektrumları TÜBİTAK- Marmara Araştırma Merkezinde, x-işını verileri Hacettepe Üniversitesi Fen Fakültesi Fizik Bölümün'de alınmıştır. ^1H NMR, ^{13}C NMR, ^{31}P NMR Bruker AC-200 NMR spektrometresinde sırasıyla 200.05, 50.30 ve 80.984 MHz de incelendi. Erime noktaları elektrotermal erime noktası aletinde tayin edildi ve düzeltildi.

^1H ve ^{13}C NMR spektrumlarında çözücü olarak CDCl_3 iç standart olarak SiMe_4 kullanıldı. ^{31}P NMR spektrumunda ise iç standart olarak % 85 lik H_3PO_4 kullanıldı. FTIR spektrumu Mattson 1000 FTIR spektrometresinde alındı. IR Spektrumu Perkin Elmer 377 model spektrometresi ile KBr diskı kullanılarak alındı. Kütle spektrumu VG-ZAPSPEC spektrometresinde 240 °C' daki iyon kaynağı ile alındı.

Reaksiyon sırasında çözücü olarak kullanılan tetrahidrofuran % 27 K, % 73 Na alaşımıyla, *n*-hekzan sodyum teli, asetonitril moleküller elek, trietilamin kalsiyum klorür, metanol metalik sodyum üzerinde inert ortamda geri soğutucu altında ısıtılarak kurutuldu.

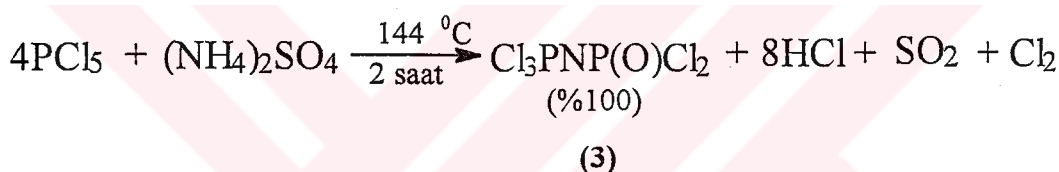
Tepkimeler sırasında kullanılan reaktiflerin bir kısmı laboratuvara sentezlendi, bir kısmı ise piyasadan temin edildi.. Tetrahidrofuran, toluen, *n*-hekzan, kloroform, diklorometan, *n*-pentan, dietileter, 2,6-di-*tert*-bütilfenol, 2,4,6-tri-*tert*-bütilfenol, 2,6-di-*tert*-bütil-4-metilfenol Aldrich ve Merck firmalarından temin edildi.

Çalışmada kullanılmak üzere hazırlanan bileşiklere ait bütün veriler deneysel bölümde, araştırma konusunu oluşturan bileşiklere ilişkin veriler ise sonuç ve tartışma bölümünde verilmiştir.

2.1. Çıkış Maddesi Sentezi:

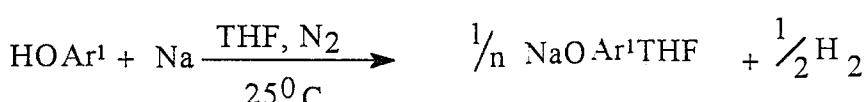
2.1.1. P-Trikloro-N-diklorofosforilmonofosfazen:

P-Trikloro-N-diklorofosforilmonofosfazen literatürden³⁴ yararlanarak hazırlandı. Bunun için tek boyunlu bir balona fosfor pentaklorür (90g; 0.043 mol), amonyum sülfat (13.2g; 0.1 mol) ve 1,1,2,2-tetrakloroetan (200 ml) ilave edilip 130-135° C'a kadar geri soğutucu altında iki saat ısıtıldı. Çıkan gazlar (HCl, Cl₂, SO₂) bazik çözelti (KOH %20) içinde tutuldu. Evaporatörde kısmen vakum uygulanarak tetrakloroetan ayrıldı. Katı ham ürün vakumda destillenerek saf olarak elde edildi. Erime noktası: 32° C (lit.e.n: 32° C; K.n: 110-150° C, 0.1 mm Hg). Verim: 10.85 g (%45.3)



2.1.2. 2,6-Di-*Tert*-Bütilfenol Türevlerinin Sodyum Tuzunun Hazırlanması:

Sodyum 2,6-di-*tert*-bütilfenoksit tuzunun sentezleri için literatürde verilen yöntemden yararlanıldı⁶³.

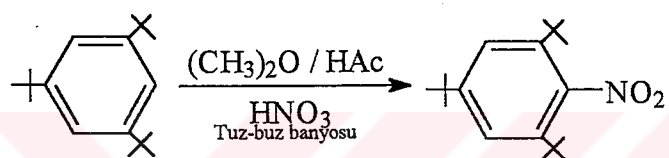


2,6-Di-*tert*-bütilfenolün, argon atmosferinde, kuru THF içindeki çözeltisine metalik sodyum ilave edildi. Karışım oda sıcaklığında 18 saat karıştırıldı. Reaksiyon tamamlandıktan sonra metalik sodyumun fazları cam pamuğundan süzülerek uzaklaştırıldı. Elde edilen sodyum 2,6-di-*tert*-bütilfenoksit tuzu saflaştırma yapılmaksızın kullanıldı.

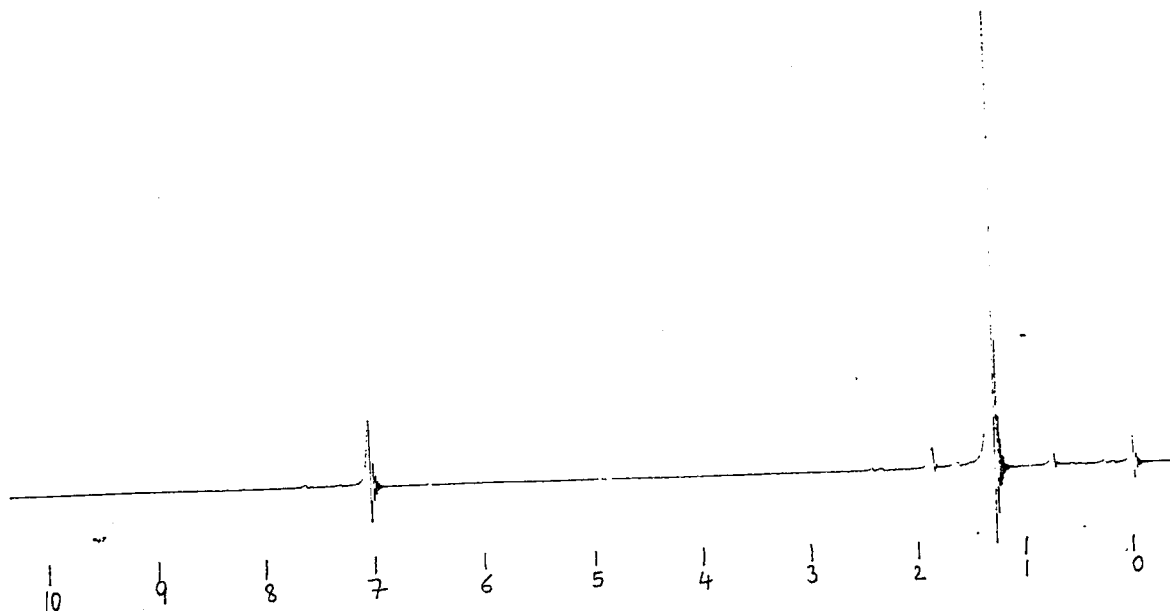
2.1.3. 2,4,6-Tri-*Tert*-Bütil-Nitro Benzenin Sentezi:

2,4,6-tri-*tert*-bütil-nitro benzen literatürde verilen yöntemden yararlanarak hazırlandı⁷⁰.

Bunun için 20g 2,4,6-tri-*tert*-bütilbenzen 5 mL asetik anhidrit ve 3 mL asetik asit üzerine 4 mL nitrik asit ve 15 mL asetik asit karışımı tuz-buz banyosunda damla damla ilave edildi. Daha sonra karışım beş gün karıştırıldı. Oluşan katı 500 mL suyun üzerine boşaltıldı. Karışım nuche hunisinde süzüldü. Elde edilen beyaz çökelek vakumda kurutuldu. E.n: 195-205 °C



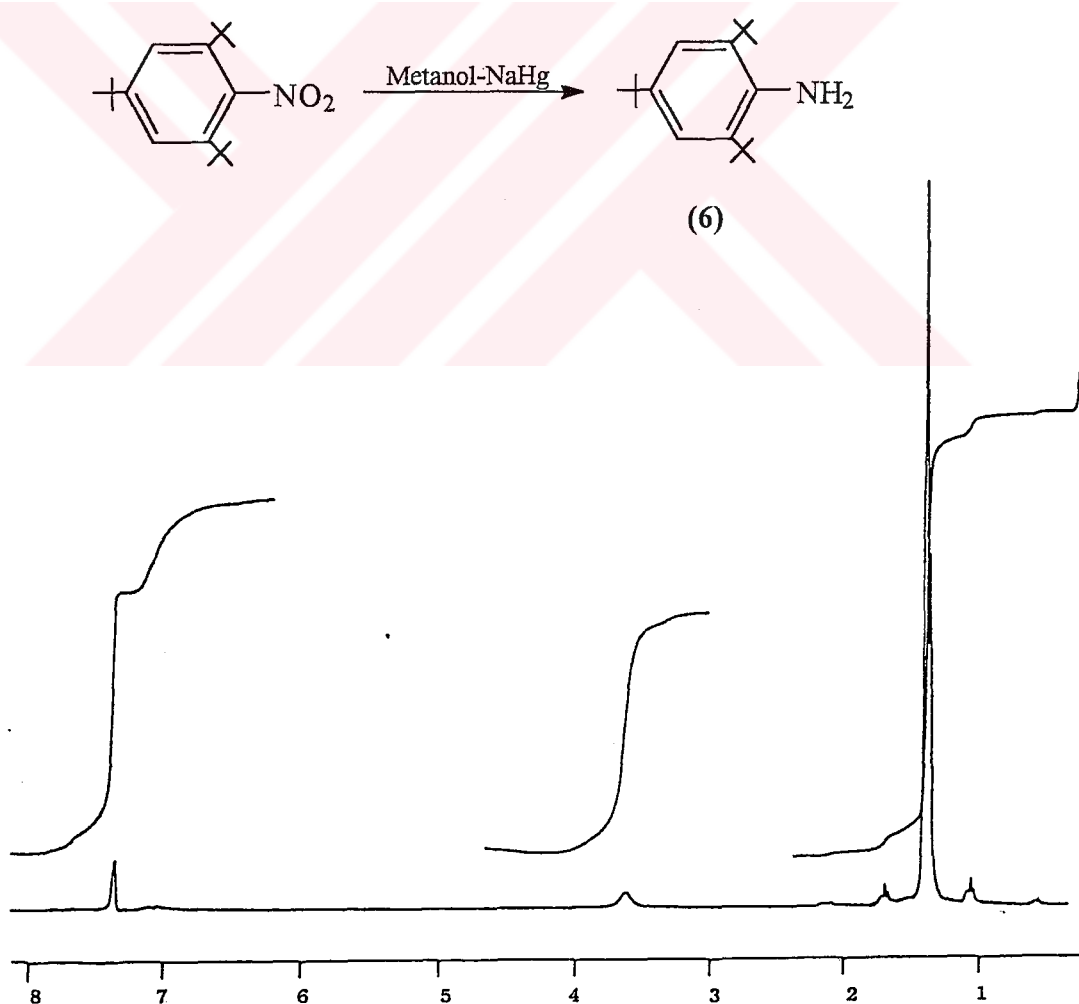
(5)



Şekil.2.1 2,4,6-Tri-*Tert*-Bütilnitro Benzene Ait ^1H NMR Spektrumu

2.1.4. 2,4,6-Tri-*Tert*-Bütilanilinin Sentezi:

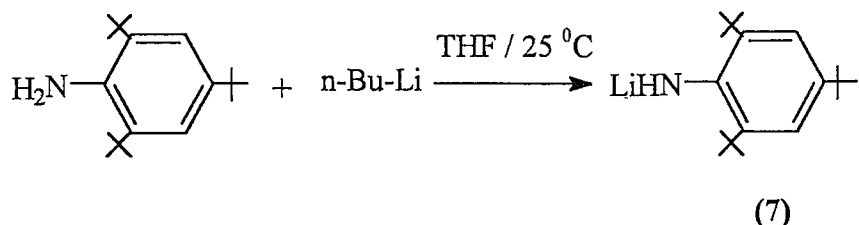
2,4,6-tri-*tert*-bütilanilin literatürde⁷⁰ verilen yöntemden yararlanarak hazırlandı. Bunun için havası boşaltılıp argon gazı ile doldurulan iki boyunlu balona 300 g Hg konuldu. Ardından 5.483 g metalik sodyum parça parça ilave edildi. Amalgam hazırlandıktan sonra üzerine metalik sodyum ile geri soğutucu altında ısıtılarak kurutulan metanol (200 mL) ilave edildi. Daha sonra üzerine 17 g 2,4,6-tri-*tert*-bütilnitrobenzen ilave edildi. Bir gece karıştırıldı. Ardından karışım içindeki katı maddeler süzülerek ayrıldı. Süzüntü ilk su içine (500 mL) boşaltıldı. Başlangıç bileşiği renksiz kristaller verinceye kadar pentanda kristallendirilmeye bırakıldı. E.n: 145-147 °C ; Verim: %70



Şekil.2.2 2,4,6-Tri-*Tert*-Bütilaniline Ait ¹H NMR Spektrumu

2.1.5. Lityum (2,4,6-Tri-*Tert*-Bütilfenil)-amitin Sentezi:

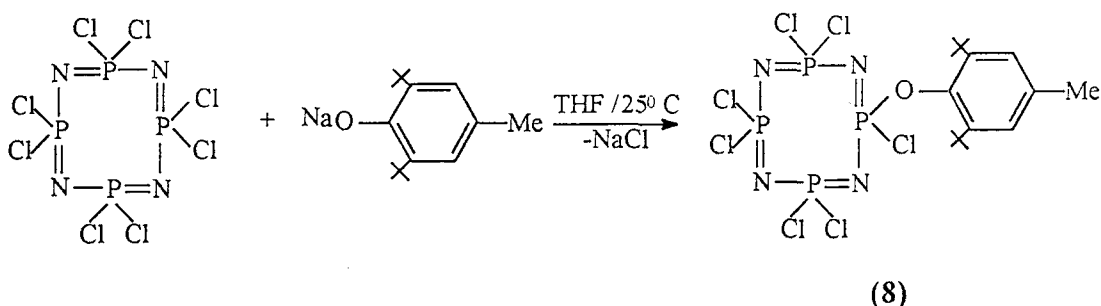
0.8 g; 3.05 mmol 2,4,6-tri-*tert*-bütilanilin yaklaşık 10 mL THF içinde çözüldü. Üzerine 4.6 mL 0.66 M Bu"*n*-Li ilave edildi. Yaklaşık 10 saat karıştırıldı. Herhangi bir saflaştırma işlemi yapılmadan çözelti halinde kullanıldı.



2.2. 2,6-Di-Tert-Bütilfenol Türevleri İle Yapılan Reaksiyonlar:

2.2.1. 2,6-Di-Tert-Bütil-4-Metilfenolün Tetramer (2) İle Etkileştirilmesi (1:1):

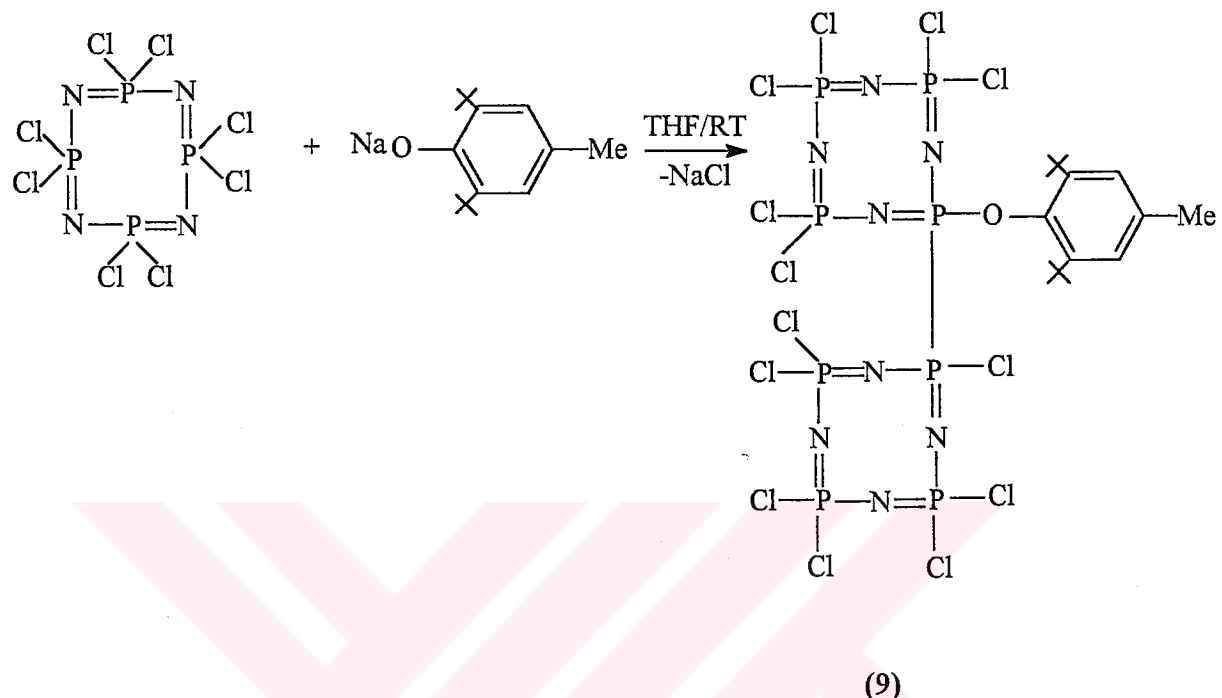
Yeni hazırlanan sodyum 2,6-di-*t*-bütil-4-metilfenoksitin (1.9 g; 8.63 mmol) THF (20 mL) deki çözeltisi, oda sıcaklığında THF de çözülen tetramer üzerine damla damla ilave edildi. İlave edilme işlemine başlandığı andan itibaren renk sararmaya başladı. Reaksiyon karışımı üç gün karıştırıldı. Karıştırma işlemi boyunca renk değişmeden kaldı. THF, ısıtma yapılmaksızın vakumda uzaklaştırıldı. Reaksiyon karışımına *n*-hekzan ilave edildi. Çözünmeyen kısım süzülerek ayrıldı. Sonra *n*-hekzan vakum uygulanarak uzaklaştırıldı. Kalıntıda kaç farklı madde olduğunu görmek ve kolon kromatografisi için çözücü sistemini belirlemek amacıyla t.l.c incelemesi yapıldı. T.l.c incelemesi sonucunda karışımında üç madde olduğu tespit edildi. İnceleme sonunda kloroform: *n*-hekzan (1:2) sisteminin kolon kromatografisi için uygun olduğu tespit edildi. Ham ürün silica gel (230-400 mesh) (100g, silica gel, 3g reaksiyon karışımı) dolgulu kolondan elue edildi. *n*-hekzanda kristallemeye bırakıldı. Bu esnada iki farklı kristal elde edildi. Elde edilen kristallerden bir tanesi *n*-hekzanda nispeten az çözünürken (8), diğerinin daha iyi çözündüğü gözlandı (9). (8) Bileşinin e.n: 124-126 °C ; Verim: % 57 ; Renk: Beyaz



(8) Bileşinin Element Analizi Sonuçları

	C	H	N
Bulunan	27.69	3.44	8.52
Hesaplanan	27.82	3.58	8.65

(8) bileşigi için yapılan bütün işlemler (9) bileşigi içinde yapıldı. (9) Bileşiginin rengi beyaz; e.n: 110-115 °C; Verim: %27



(9) Bileşiginin Element Analizi Sonuçları

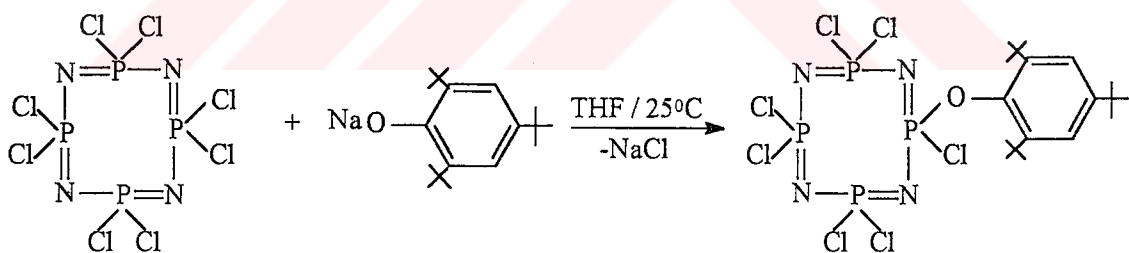
	C	H	N
Bulunan	15.55	1.96	9.93
Hesaplanan	16.19	2.07	10.07

Daha sonra yapılan çalışmalarda, tetramer ile sodyum 2,6-di-*t*-butil-4-metilfenoksit değişik oranlarda (1:2), (1:4) etkileştirildi. Ancak başka bir ürün elde edilemedi. Fenol oranı artırıldığında (8) bileşiginin veriminde artış gözlendi. 2,6-di-*t*-butil-4-metilfenol tetramer ile 4:1 oranında etkileştirildiğinde % 75 verimle (8) bileşigi ele geçti.

2.2.2. 2,4,6-Tri-*Tert*-Bütilfenol + Tetramer (1:1)

2.96g; (6.4 mmol) tetramer (**2**) 20 mL THF de çözüldükten sonra çözelti tuzbuz banyosunda soğutuldu. Soğutulan çözelti üzerine yeni hazırlanan sodyum 2,4,6-tri-*tert*-bütilfenoksit çözeltisi damla damla ilave edildi. Çözeltinin rengi başlangıçta sarı sonra yeşil ve koyu mavi oldu. Reaksiyon karışımı oda sıcaklığında üç gün karıştırıldı. Karışımdan çözücü vakum altında ısıtma yapılmaksızın uzaklaştırıldı. Üzerine kuru *n*-hekzan ilave edildi. *n*- hekzanda çözünmeyen kısmı süzülerek ayrıldı ve çözücü evaporatörde vakum uygulanarak uzaklaştırıldı.

Kalıntıda kaç farklı madde olduğunu görmek ve uygun çözücü sistemini belirlemek amacıyla ince tabaka kromatografisinden yararlanıldı. İncelemeler sonucunda karışımın iki farklı madde olduğu tespit edildi. Kolon kromatografisi için kloroform : *n*-hekzan (1:1) karışımının en uygun eluent olduğu tespit edildi. Ham ürün silika gel dolgulu kolondan elue edildiğinde, (**10**) bileşiği ele geçti. Yeni bileşik kloroform : *n*-hekzan (1:1) karışımında kristallendirilip aseton ile yıkandı ve kurutuldu. Bileşliğin (**10**) rengi beyaz; e.n: 142-145 °C ; Verim: % 70



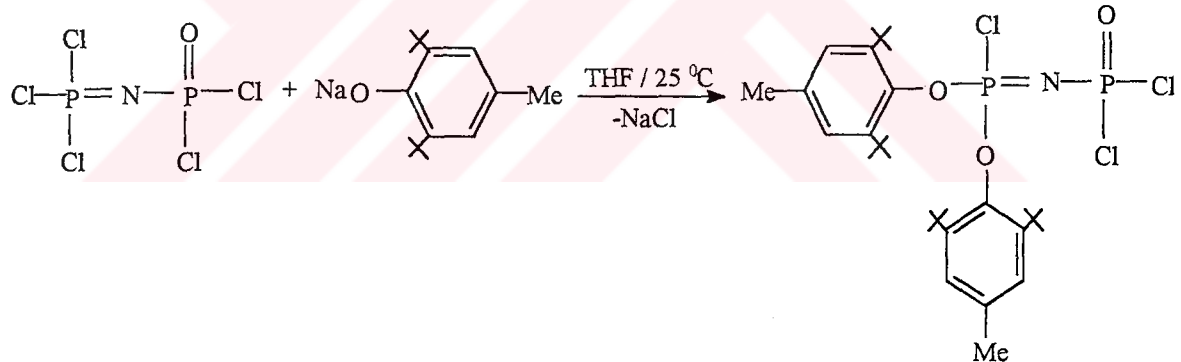
(10)

(10) Bileşığının Element Analizi Sonuçları

	C	H	N
Bulunan	31.29	4.09	7.93
Hesaplanan	31.35	4.23	8.12

2.2.3. 2,6-Di-Tert-Bütil-4-Metilfenol + P-Trikloro-N-Diklorofosforilmonofosfazen (10:1)

Yeni hazırlanmış sodyum 2,6-di-*t*-bütil-4-metilfenoksitin (5g; 22.6 mmol) THF (15mL) deki çözeltisi, P-Trikloro-N-diklorofosforilmonofosfazenin aseton sıvı-azot (-95 °C + 5 °C) karışımında soğutulan THF deki (20 mL) çözeltisine (0.61g; 2.26mmol) damla damla ilave edildi. Renk başlangıçta sarı idi. Daha sonra koyu kahverengi oldu. Reaksiyon karışımı oda sıcaklığında üç gün karıştırıldı. Ardından THF vakumda uzaklaştırılarak *n*-hekzan ilave edildi. *n*-hekzanda çözünmeyen kısım süzülerek ayrıldı. Süzüntünün kolon kromatografisi için t.l.c incelemesi yapıldı. DCM:Pet.Et (1:2) karışımının uygun eluent olduğu tespit edildi. Ham ürün silica gel dolgulu kolondan elue edildi. Ele geçen madde *n*-hekzanda kristallendirildi (11). (11) Bileşinin e.n: 196-199 °C; Verim: % 67; Renk: Beyaz



(11)

(11) Bileşinin Element Analizi Sonuçları

	C	H	N
Bulunan	56.50	7.69	1.94
Hesaplanan	56.55	7.22	2.19

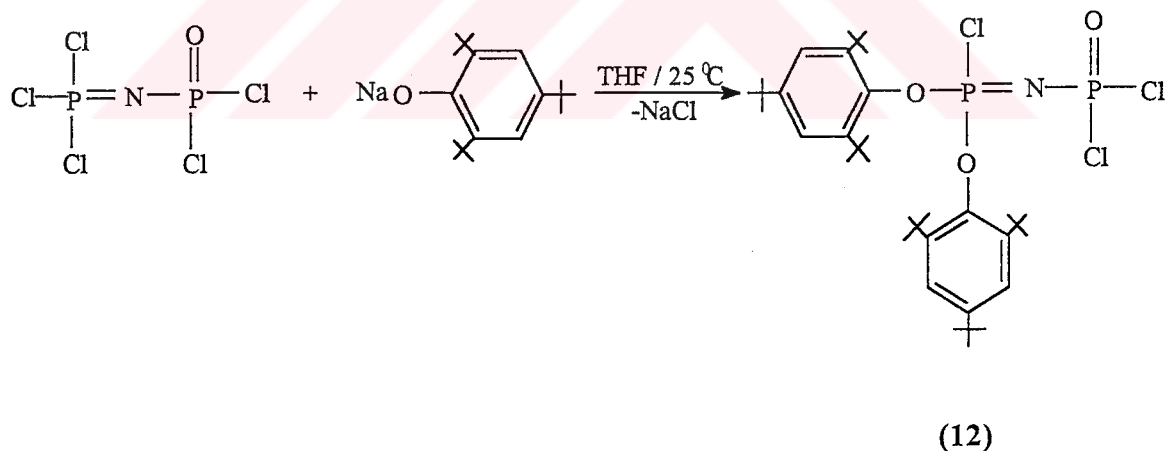
P-Tri-kloro-N-diklorofosforilmonofosfazen ile 2,6-di-*tert*-bütilfenol değişik oranlarda etkileştirilmesine karşın stokiyometrik olarak farklı bir ürün elde edilemedi.

2.2.4 2,6-Di-*Tert*-Bütil-4-Metilfenol + P-Trikloro-N-Diklorofosforilmonofosfazen (5:1)

Yeni hazırlanmış sodyum 2,6-di-*tert*-bütil-4-metilfenoksitin (3.8g; 17.24 mmol) THF' deki (25 mL) çözeltisi, 15 mL THF de çözülen ve aseton sıvı azot karışımında soğutulan P-Trikloro-N-Diklorofosforilmonofosfazen (0.926g; 3.43 mmol) üzerine damla damla ilave edildi. İlave etme işlemi ile birlikte çözeltinin rengi kahverengimsi kırmızı oldu. Ancak daha sonra renk yeşile dönüştü. Reaksiyon karışımı üç gün oda sıcaklığında karıştırıldı. Karıştırma süresince karışımın renginde bir değişme olmadı. Daha sonra iki saat geri soğutucu altında ısıtıldı. Bu süre zarfında çözeltinin renginde bir değişme gözlendi. Renk kahverengimsi sarı oldu. Daha sonra vakumda çözücü uzaklaştırıldı. T.l.c ile kolon kromatografisi için çözücü sistemi belirlendi. (DCM: Petrol Eteri) (1:2) karışımının kolon kromatografisi için uygun olduğu tespit edildi. Reaksiyon karışımı silika gel dolgulu kolondan elue edildi. Turuncu renkli, erime noktası 299-301 °C olan bir ürün elde edildi. Ancak daha sonra bu turuncu renkli bileşliğin element analizi ve ^{31}P NMR spektrumunun beklenen hiçbir yapı ile uyum göstermediği anlaşıldı.

2.2.5. 2,4,6-Tri-*Tert*-Bütilfenol + P-Tri-Kloro-N-Diklorofosforilmonofosfazen (2:1)

Yeni hazırlanmış sodyum 2,4,6-tri-*tert*-bütilfenoksitin (2g; 7.6 mmol) THF (15mL) deki çözeltisi, P-Trikloro-N-diklorofosforilmonofosfazenin sıvı-azot aseton karışımında (-95 °C + 5 °C) soğutulan THF deki (20 mL) çözeltisine (1.025g; 3.8 mmol) damla damla ilave edildi. Renk başlangıçta mavi idi. Daha sonra renk koyulaştı (lacivertimsi mavi). Reaksiyon karışımı oda sıcaklığında üç gün karıştırıldı. Bu arada renk beyazaştı. Ardından THF vakumda uzaklaştırılarak *n*-hekzan ilave edildi. *n*-hekzanda çözünmeyen kısım süzülerek ayrıldı. Süzüntünün kolon kromatografisi için t.l.c incelemesi yapıldı. Kloroform: *n*-hekzan karışımının uygun eluent olduğu tespit edildi. Ham ürün silika gel dolgulu kolondan elue edildi. Ele geçen madde *n*-hekzan: DCM (10:1) karışımında kristallendirildi. Ele geçen yeni bileşik (12) *n*-hekzan ile yıkandı. Bileşığın (12) e.n: 222-226 °C ; Verim ; % 72 ; M.A (bulunan) : 719 g/ mol M.A (hesaplanan) : 720.5 g / mol

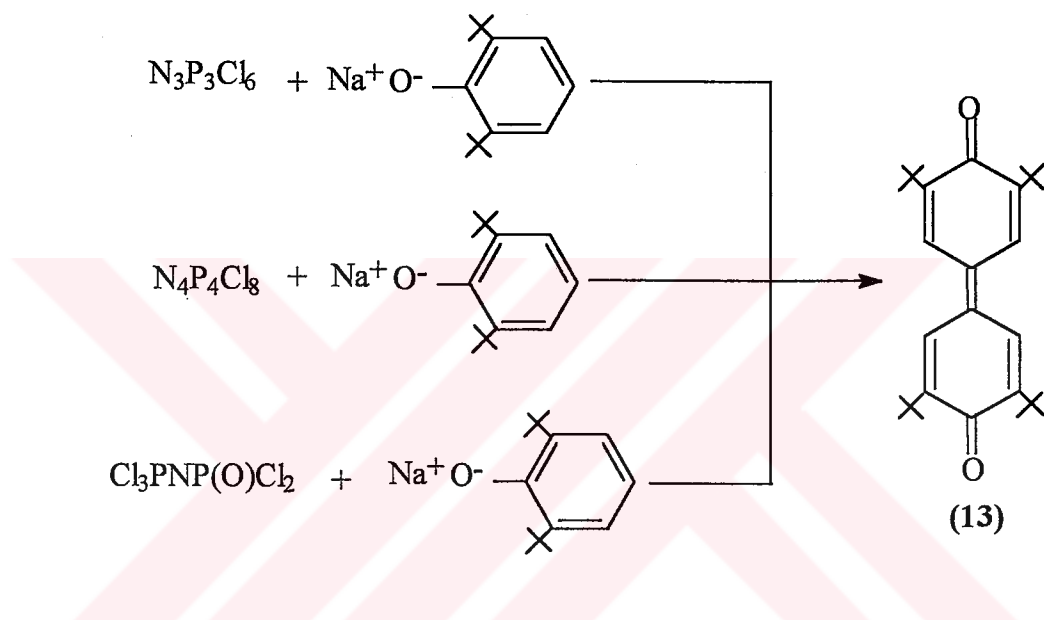


(12) Bileşığının Element Analizi Sonuçları

	C	H	N
Bulunan	60.54	8.40	2.08
Hesaplanan	59.95	8.04	1.94

2.2.6. 2,6-Di-Tert-Bütilfenol İle Fosfazenlerin Etkileştirilmesi:

2,6-Di-*tert*-bütilfenolün trimer, tetramer ve düz zincirli fosfazenle etkileştirilmesi sonucu fenolün yükseltgenme ürünü olan 3,3¹,5,5¹-tetra-*tert*-butyl-4,4¹-difenoksikinon (**13**) ele geçti. Yapılan bütün çalışmalar neticesinde bu ligantla hiç bir sübstansiyon ürünü ele geçmedi. Bileşik (**13**) koyu kırmızı renkli ve e.n.: 244-247 °C tır.



(13) Bileşığının Element Analizi Sonuçları

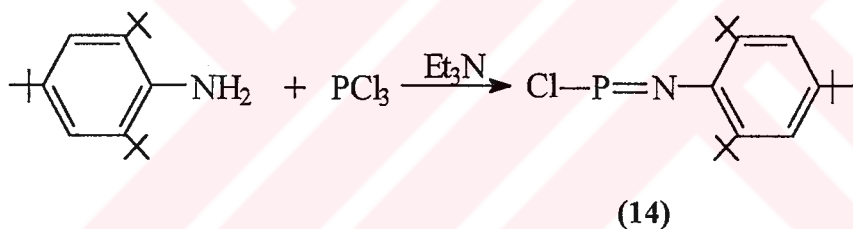
	C	H
Hesaplanan	82.3	9.8
Bulunan	80.01	10.04

2.3. 2,4,6-Tri-*Tert*-Bütilanilin İle Yapılan Reaksiyonlar:

2.3.1. 2,4,6-Tri-*Tert*-Bütilanilinin PCl_3 ile etkileştirilmesi:

2,4,6-Tri-*Tert*-Bütilanilin ile PCl_3 literatürden⁷¹ yararlanarak etkileştirildi.

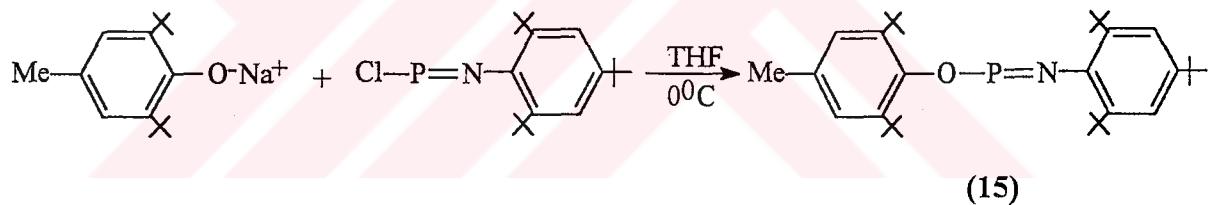
2,4,6-Tri-*Tert*-bütilanilinin (0.54 g; 2.86 mmol) 5 mL *n*-hekzandaki çözeltisi PCl_3 (3.12 g; 22.759 mmol) ün aşırısı ve Et_3N (3.019 g; 29.9 mmol) ile muamele edildi. Karışım reaksiyon tamamlanıncaya kadar beş gün karıştırıldı. Renk başlangıçta beyaz idi. Renk reaksiyon ilerledikçe kırmızılaştı. Amin hidroklorür oluştu. Çöken kısım süzülerek ayrıldı. Süzüntünün çözucusu vakumda uzaklaştırıldı. Az miktarda *n*-hekzan ilave edildi. *n*-hekzanda kristallendirilemeyince vakumda damıtıldı. Vakumda (0.1 mm Hg) 75-88 °C arasında bileşik (14) distillendi. Elde edilen madde miktarı: 0.384 g; verim: % 57. Bileşigin (14) rengi kırmızıdır.



Trietilaminin varlığında 2,4,6-tri-*tert*-bütilanilin ve PCl_3 ün reaksiyonu ile hazırlanan kloro(imino)fosfan (14) bileşiği sürpriz bir şekilde kararlıdır.

2.3.2. Kloro(imino)fosfan (13) Bileşığının Sodyum-2,6-di-*tert*-bütil-4-metilfenoksit ile Etkileştirilmesi:

Kuru ve yeni distillemiş THF (15 mL) içerisinde sodyum 2,6-di-*tert*-bütil-4-metilfenoksit (0.259 g; 1.17 mmol) çözeltisi, 10 mL THF de çözülen kloro(imino)fosfan (0.384 g; 1.17 mmol) çözeltisi üzerine 1.5 saat süresince damla damla ilave edildi (İlave etme işlemine başlamadan önce kloro(imino)fosfan çözeltisi buz banyosunda soğutuldu). Renk başlangıcta kırmızı idi. Reaksiyon ilerledikçe renk sarlaştı ve karıştırma süresince renk değişmeden kaldı. Karışım altı gün karıştırdı. Karışımın çözucusu vakum uygulanarak uzaklaştırıldı. Kalan kısmın üzerine *n*-hekzan ilave edildi. *n*-hekzanda çözünmeyen kısmı süzülerek uzaklaştırıldı. Süzüntü *n*-hekzanda iki kere kristallendirildi. Sarı renkli kristaller (15) oluştu. E.n: 158-162 °C, verim % 65

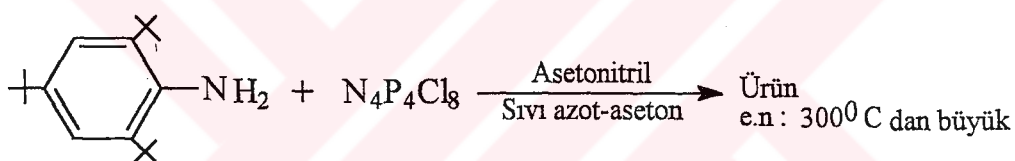


(15) Bileşığının Element Analizi Sonuçları

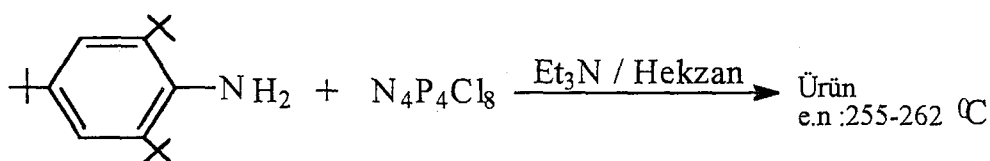
	C	H	N
Bulunan	77.87	10.18	2.47
Hesaplanan	77.75	10.28	2.77

2.3.3. 2,4,6-Tri-*Tert*-Bütilanilinin Tetramer İle Etkileştirilmesi (1:1):

Yaklaşık 15 mL asetonitril içinde 0.887 g (1.9 mmol) $\text{N}_4\text{P}_4\text{Cl}_8$ çözüldü. Çözelti sıvı azot-aseton karışımında soğutuldu. Soğutulan çözeltiye asetonitrilde çözülen Et_3N (3 mL) damla damla ilave edildi. Daha sonra tekrar asetonitrilde çözülen çözeltiye 2,4,6-tri-*tert*-bütilanilin (0.5 g; 1.9 mmol) damla damla ilave edildi. Çözeltinin rengi oda sıcaklığına geldiğinde yavaş yavaş kırmızılaşmaya başladı. Daha sonra kırmızı bir çökelek çıktı. Bu çökelek süzülerek ayrıldı. Süzüntü kristallenmeye bırakıldı. Kırmızı renkte çöken kısım THF, CH_3CN , *n*-pentan ve CH_3COOH da çözünmüyor. E.n>300 °C olan bu maddenin element analizi sonuçları beklenen hiç bir yapı ile uyum göstermiyor. Süzüntüde ise $(\text{C}_2\text{H}_5)\text{NH}_2\text{Cl}$ dışında herhangi bir madde elde edilemedi.

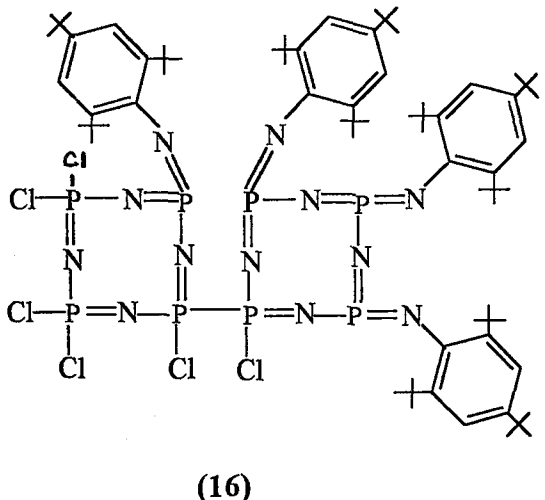


Ayrıca 2,4,6-tri-*tert*-bütilanilin Et_3N in varlığında tetramer ile etkileştirildi. Yaklaşık 10 mL *n*-hekzanda çözülen $\text{N}_4\text{P}_4\text{Cl}_8$ (0.886 g; 1.9 mmol) in üzerine 2,4,6-tri-*tert*-bütilanilin (0.5 g; 1.9 mmol) *n*-hekzanda çözüldükten sonra damla damla ilave edildi.



(16)

Reaksiyon karışımı iki gün karıştırıldı. Katı kısım süzülerek ayrıldı. Süzüntü kloroform: *n*-hekzanda kristallendirildi (16). Elde edilen katı petrol eteri ile yıkandı ve kurutuldu. E.n:255-262 °C. Daha sonra yapılan element analizi sonuçlarına en uygun yapının bileşik (16) ile gösterilen yapı olabileceği düşünüldü.



(16) Bileşığının Element Analizi Sonuçları

	C	H	N
Bulunan	50.52	11.44	8.87
Hesaplanan	51.30	6.89	9.97

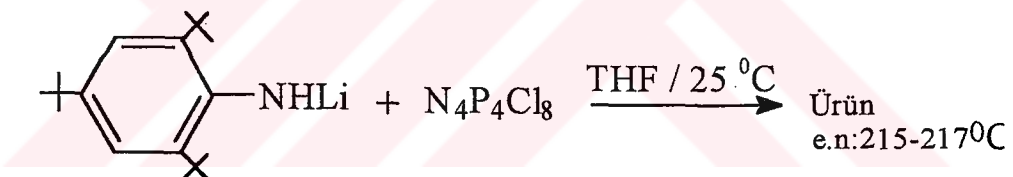
2.3.4. Lityum (2,4,6-Tri-*Tert*-Bütilfenil)-amitin Trimer İle Etkileştirilmesi:

THF (15 mL) de çözülen lityum (2,4,6-tri-*tert*-bütilfenil)-amit (0.644 g; 2.46 mmol), THF de çözülen trimer (0.85 g; 2.45 mmol) üzerine damla damla ilave edildi. İki gün oda sıcaklığında karıştırıldı. İki saat geri soğutucu altında ısıtıldı. Ancak bu sürenin sonunda hiç tuz oluşmadığı gözlendi. Bu durumda trimerin lityum (2,4,6-tri-*tert*-bütilfenil)-amit ile reaksiyon vermediği düşünüldü. T.l.c ile kontrol edildi. Trimerin (1) değişmeden kaldığı gözlendi.

2.3.5. Lityum (2,4,6-Tri-*Tert*-Bütilfenil)-amitin Tetramer İle Etkileştirilmesi:

0.8 g; (3.05 mmol) 2,4,6-tri-*tert*-bütilanilin yaklaşık 10 mL THF içinde çözüldü. Üzerine 4.6 ml 0.66 M Bu⁷Li ilave edildi. Yaklaşık 10 saat karıştırıldı. Daha sonra 10 mL THF de çözülen N₄P₄Cl₈ (1.41 g; 3.05 mmol) üzerine hazırlanan tuz çözeltisi damla damla ilave edildi. Başlangıçta renk kırmızı idi. Sonra renk sarardı. Karışım oda sıcaklığında beş gün karıştırıldı. 12 saat geri soğutucu altında ısıtıldı. Sonra çöken tuz süzülerek ayrıldı. Süzüntünün çözucusu vakumda uzaklaştırıldıktan sonra *n*-hekzan ilave edilerek kristallenmeye bırakıldı. Hekzanda kristalleşen kısım ayrıldı. Süzüntü yeniden kristallendirildi. Süzüntüden katı bir bileşik elde edildi. E.n: 215-217 °C

Ancak bu bileşliğin element analizi incelendiğinde beklenen hiç bir yapı ile uyum göstermediği görüldü. (Bulunan C: % 63.66, H: % 10.31 ve N: % 3.79).



3.SONUÇLAR VE TARTIŞMA

Birinci bölümde de anlaşıldığı gibi fosfazenlerin değişik amin ve alkollerle olan reaksiyonları ayrıntılı olarak incelenmesine karşın fenollerle olan reaksiyonları ayrıntılı olarak incelenmemiştir.

Fenoksi sübstitüe fosfazenlerin sentezinde başvurulan ana yöntem; öncelikle fenolün sodyum tuzunun hazırlanmasıdır. 2,6-di-*tert*-bütilfenol türevlerinin diğer fenol türevlerinden daha az asidik olmaları sebebiyle tuz oluştururken kuvvetli baz kullanılması gereklidir. Bu nedenle metalik sodyum, sodyum hidrür gibi kuvvetli bazlarla fenollerin tuzları hazırlanır. Daha sonra hazırlanan tuz fosfazenlerle etkileştirilir.

Bu yöntemlerle yüksek verimde fenoksi sübstitüe fosfazen türevleri sentez edilmektedir. Normal fenollerle tamamen sübstitüe olmuş fosfazen bileşikleri sentezlenirken, sterik engelli fenollerle tam sübstitüsyon mümkün olmamaktadır. Çalışmalarımız sırasında kullandığımız 2,6-di-*tert*-bütilfenol türevleri (4a, 4b, 4c) ile oktaiklorosiklotetrafosfazatetraen (tetramer) (2), bileşigi monosübstitüe ürün verirken, P-Trikloro-N-Diklorofosforilmonofosfazen (3), disübstitüe ürün vermektedir. Bu ligantlarla (2) ve (3) bileşikleri değişik mol oranlarında etkileştirilmiş olmasına karşın bu fosfazenlere fazla ligandin bağlanması mümkün olmadı.

Tetramer (2), ile 2,6-di-*tert*-bütilfenol türevleri (1:1), (1:2) ve (1:4) oranlarında etkileştirilirken, P-Trikloro-N-Diklorofosforilmonofosfazen (3), ile 2,6-di-*tert*-bütilfenol türevleri (1:1), (1:2), (1:5) ve (1:10) oranlarında etkileştirildi.

Fosfazenlerle 2,6-di-*tert*-bütilfenol türevleri (1:1) mol oranlarında etkileştirilirken reaksiyonlar oda sıcaklığında gerçekleştirildi. Ligandin aşırısı kullanıldığında reaksiyon karışımı 12 saat geri soğutucu altında ısıtıldı.

Bu tez kapsamı içinde incelenen konuları başlıca iki başlık altında toplayabiliriz:

- 1) 2,6-di-*tert*-bütilfenol türevleri ile olan reaksiyonlar
- 2) 2,4,6-tri-*tert*-bütilanilin ile olan reaksiyonlar

Bu çalışmada 2,6-di-*tert*-bütilfenol türevlerinin tetramer (2) ve düz zincirli fosfazen (3), ile etkileştirilmesi neticesinde 5 yeni bileşik (8,9,10,11,12) sentezlenirken, 2,4,6-tri-*tert*-bütilanilin ile 2 yeni bileşik (15,16) sentezlendi.

Yapılan bu çalışmalarda amaç 2,6-di-*tert*-bütilfenol türevleri ve 2,4,6-tri-*tert*-bütilanilin ile fosfazenlerin (2), (3) reaksiyonlarını incelemek, reaksiyon şartlarını belirlemek ve oluşan yeni bileşiklerin yapılarını aydınlatmaktadır.

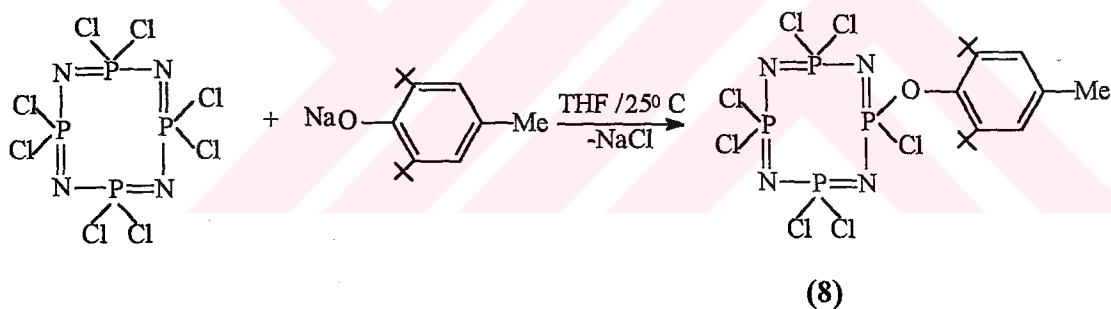
Yapılan çalışmaların, tuz hazırlama basamağının basitliği, reaksiyonların oda sıcaklığında gerçekleşmesi gibi üstün yanları vardır.

3.1 2,6-Di-*Tert*-Bütilfenol Türevleri İle Olan Reaksiyonlar:

3.1.1 2,6-Di-*Tert*-Bütil-4-Metilfenol İle Yapılan Reaksiyonlar:

3.1.1.1 2,6-Di-*Tert*-Bütil-4-Metilfenolün Tetramer İle Etkileştirilmesi:

2,6-Di-*tert*-bütil-4-metilfenolün; 25⁰ C'da THF içerisinde metalik sodyum ile sodyum tuzu hazırlandıktan sonra tetramer ile etkileştirildi. Bu reaksiyonun neticesinde mono sübstitüe bir ürün ele geçti (8).

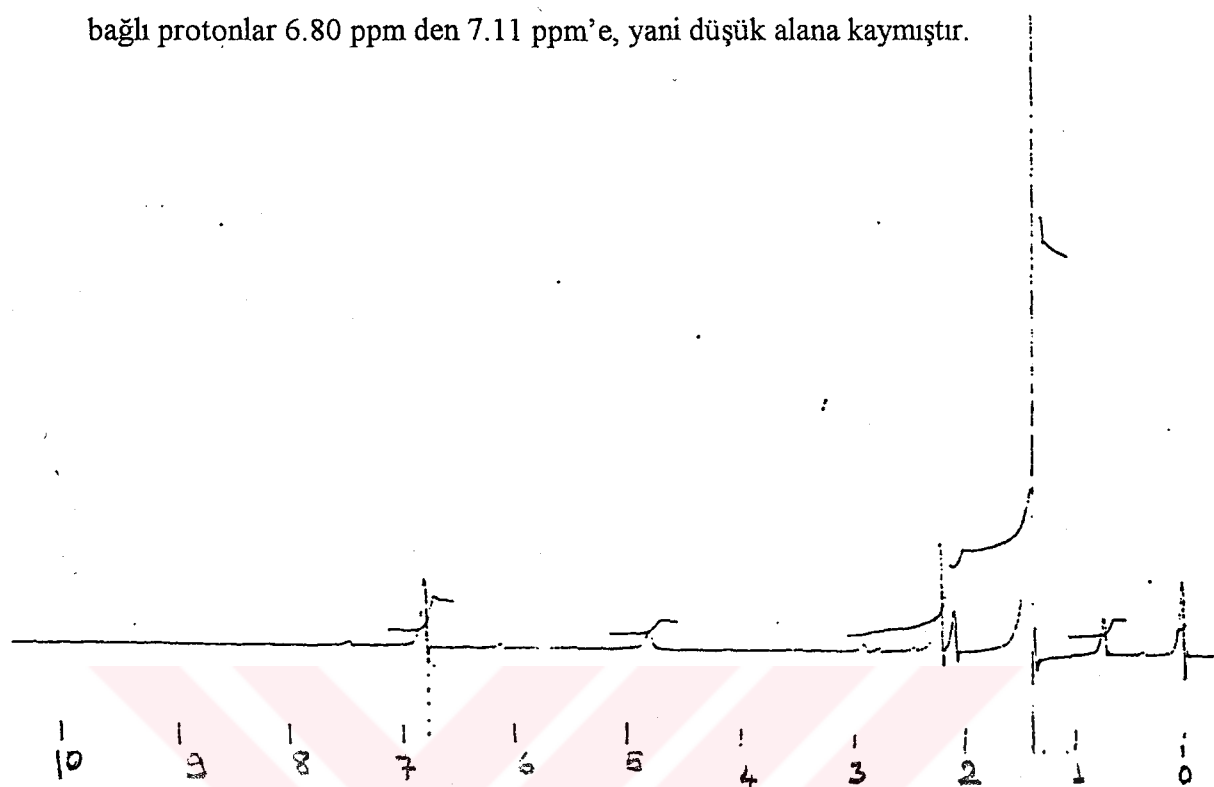


Bu bileşigin (8) daha önce açıklanan⁷² yapısı ¹H NMR, ³¹P NMR, ¹³C NMR, kütle spektrometresi ve x-ışını kırınım yöntemleri kullanılarak tayin edildi.

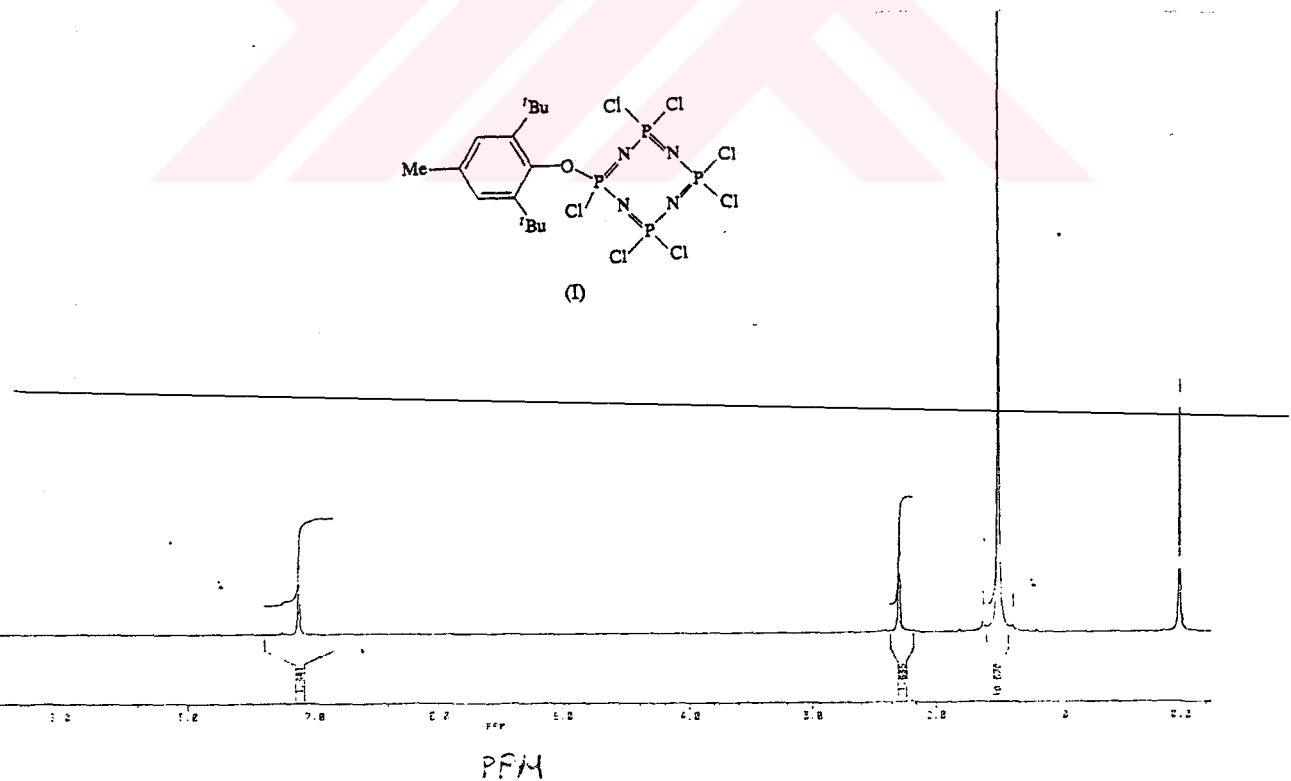
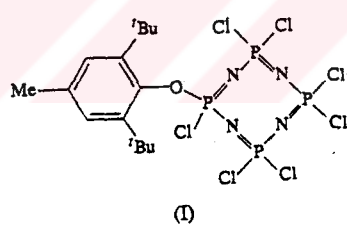
Bileşigin (8) ¹H NMR spektrumu (CDCl₃) incelendiğinde (Şekil 3.2) aromatik halkaya 2,6-konumundan bağlı *tert*-bütil protonları δ = 1.48 ppm'de bir singlet, aromatik halkaya 4-konumundan bağlı metil protonları δ = 2.29 ppm'de bir singlet, aromatik halka protonları ise δ = 7.11 ppm'de bir singlet vermektedir.

Bu spektrum 2,6-di-*tert*-bütil-4-metilfenol (BHT) ün spektrumu Şekil 3.1) ile karşılaştırıldığında; 4.79 ppm'deki hidroksil protonuna ait pik kaybolurken, *tert*-bütil-grubuna ait pik 1.43 ppm'den 1.48 ppm'e, yani düşük alana, aromatik halkaya bağlı

metil protonları 2.23 ppm' den 2.29 ppm'e, yani düşük alana ve aromatik halkaya bağlı protonlar 6.80 ppm den 7.11 ppm'e, yani düşük alana kaymıştır.

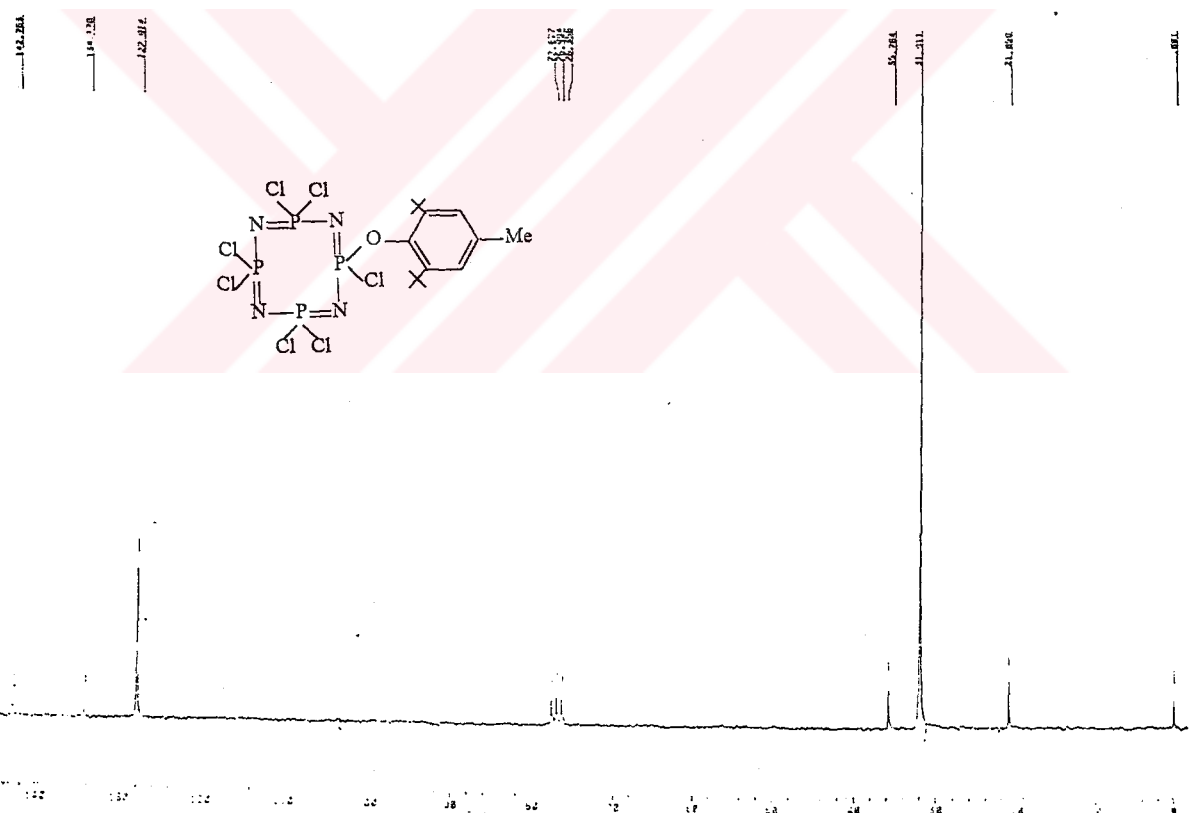


Şekil.3.1. 2,6-Di-*tert*-bütil-4-metilfenolinin ^1H NMR spektrumu



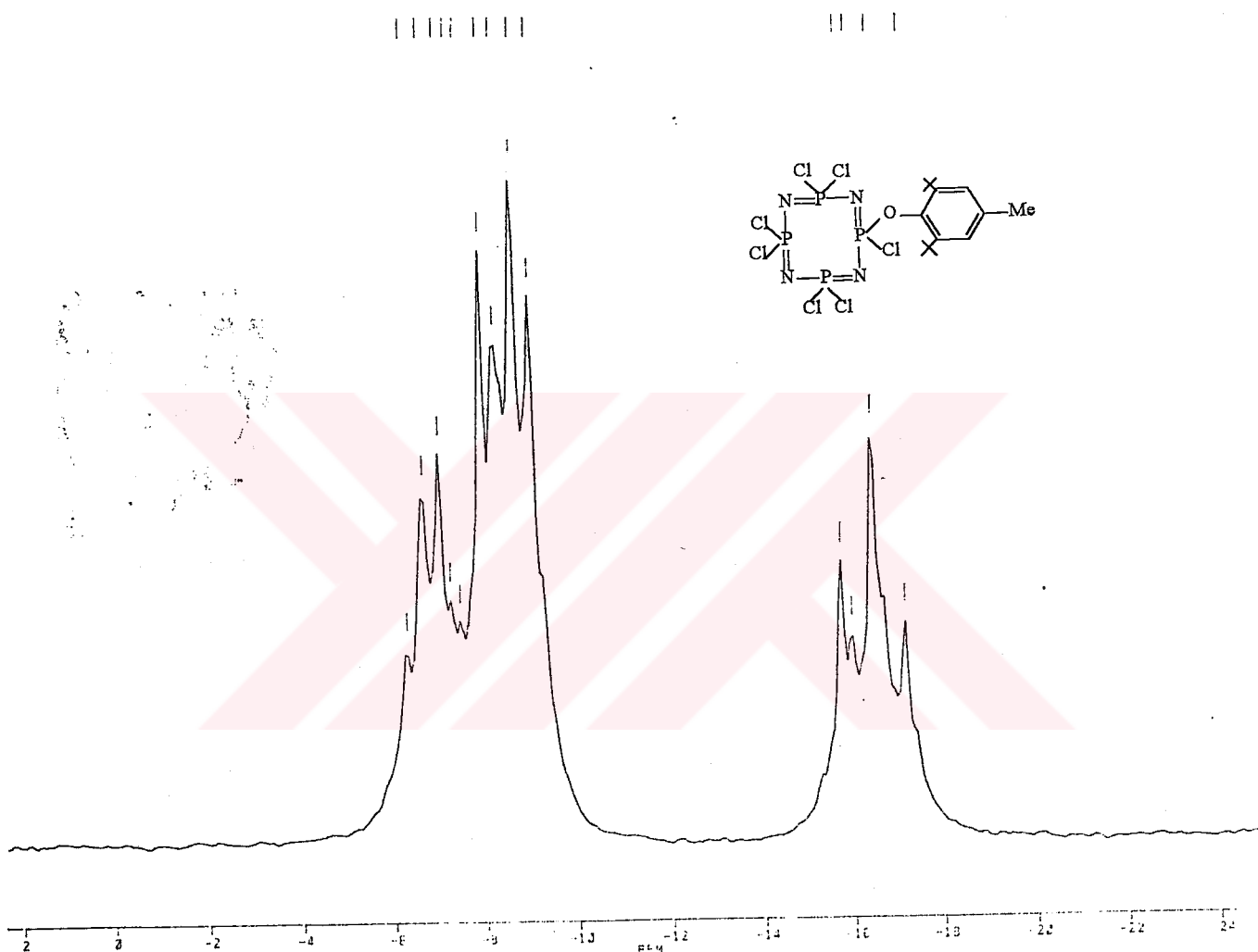
Şekil.3.2. (8) Bileşiginin ^1H NMR spektrumu

Bu bileşigin (8) ^{13}C NMR spektrumu (CDCl_3) incelendiğinde, $\delta = 21.05$ ppm'de *p*-konumundaki metil karbonuna (*p*-CH₃) ait bir pik, $\delta = 31.91$ ppm'de *tert*-butil gruplarındaki metil karbonlarına C(CH₃)₃ ait bir pik, $\delta = 35.76$ ppm'de *tert*-butilgruplarındaki metil karbonlarının bağlı olduğu karbona (CCH₃)₃ ait pik, $\delta = 127.91$ ppm'de aromatik halkadaki 3,6-konumlarındaki karbonlara ait pik, $\delta = 134.17$ ppm'de 4-konumundaki aromatik halka karbonuna ait pik, $\delta = 142.76$ ppm'de ise *tert*-butil gruplarının bağlı olduğu aromatik halka karbonlarına ait pik bulunmaktadır.



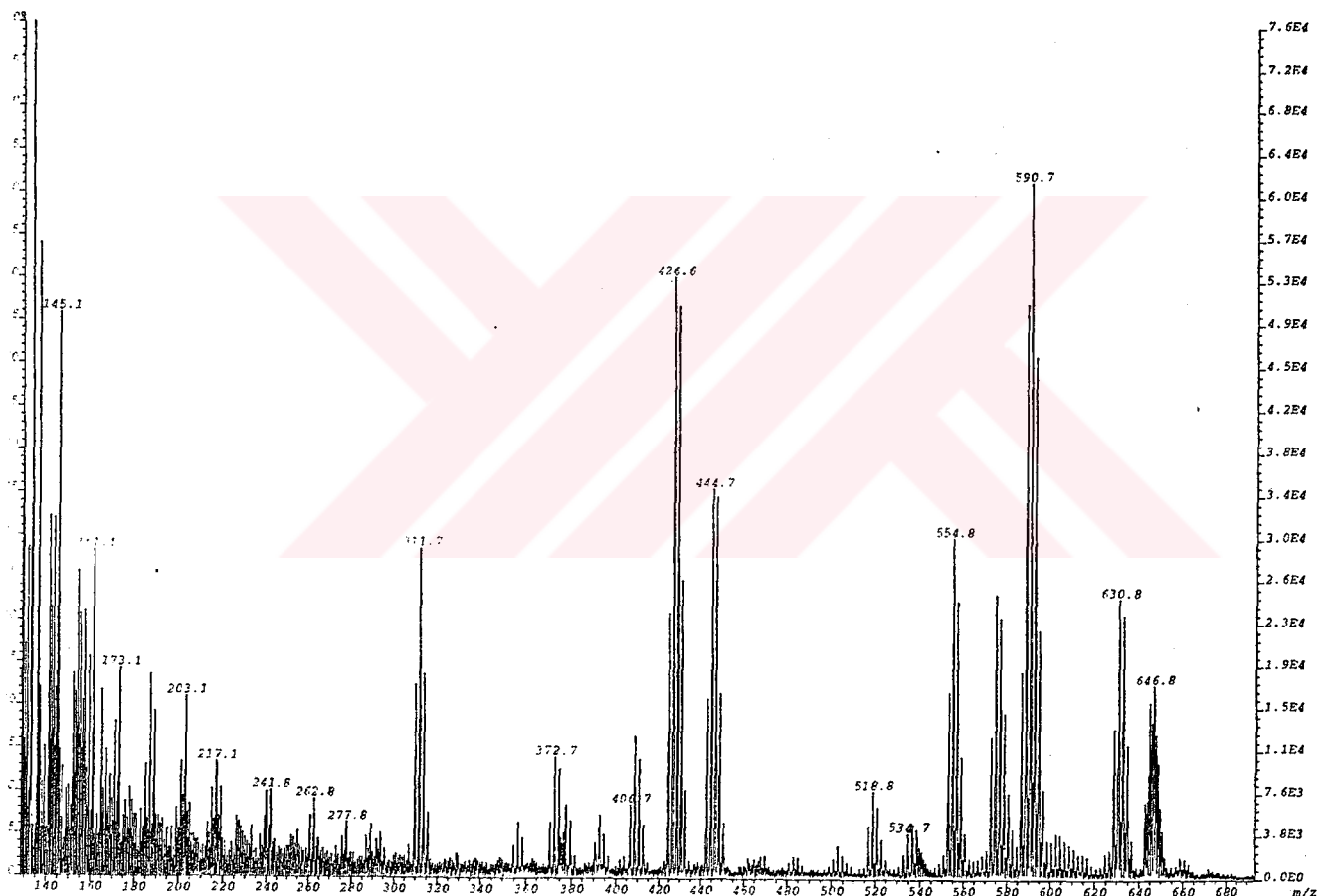
Şekil.3.3.(8) Bileşiginin ^{13}C NMR spektrumu

(8) Bileşininin ^{31}P NMR spektrumu incelendiğinde (Şekil 3.4) $\delta = -17.19$ ppm'de (t , $J= 116 \text{ Hz}$) de (PClOAr) grubuna ait bir pik, $\delta = -9.04 \text{ ppm}$ 'de (m , $J= 63.44 \text{ Hz}$) ise (POArCl) grubuna komşu PCl_2 grubuna ait multiplet bir pik, $\delta = -7.96 \text{ ppm}$ 'de (d , $J= 40 \text{ Hz}$) ise diğer PCl_2 grubuna ait doublet pik bulunmaktadır.



Şekil.3.4 (8) Bileşininin ^{31}P NMR spektrumu

(8) Bileşigine ait kütle spektrumunda moleküler iyon piki (M^+) 647, moleküler iyondan bir ($Me+H$) grubunun ayrılmasıyla oluşan iyona ait 631, moleküler iyondan (Bu^t-H) grubunun ayrılması ile oluşan iyona ait 590.7, yapıdan bir klor atomunun ayrılması ile oluşan iyona ait 554.8, bir başka klor atomunun ayrılması ile 518.8, moleküler iyondan ($OAr + H$) grubunun ayrılması ile 426.6 da bir pik bulunmaktadır.

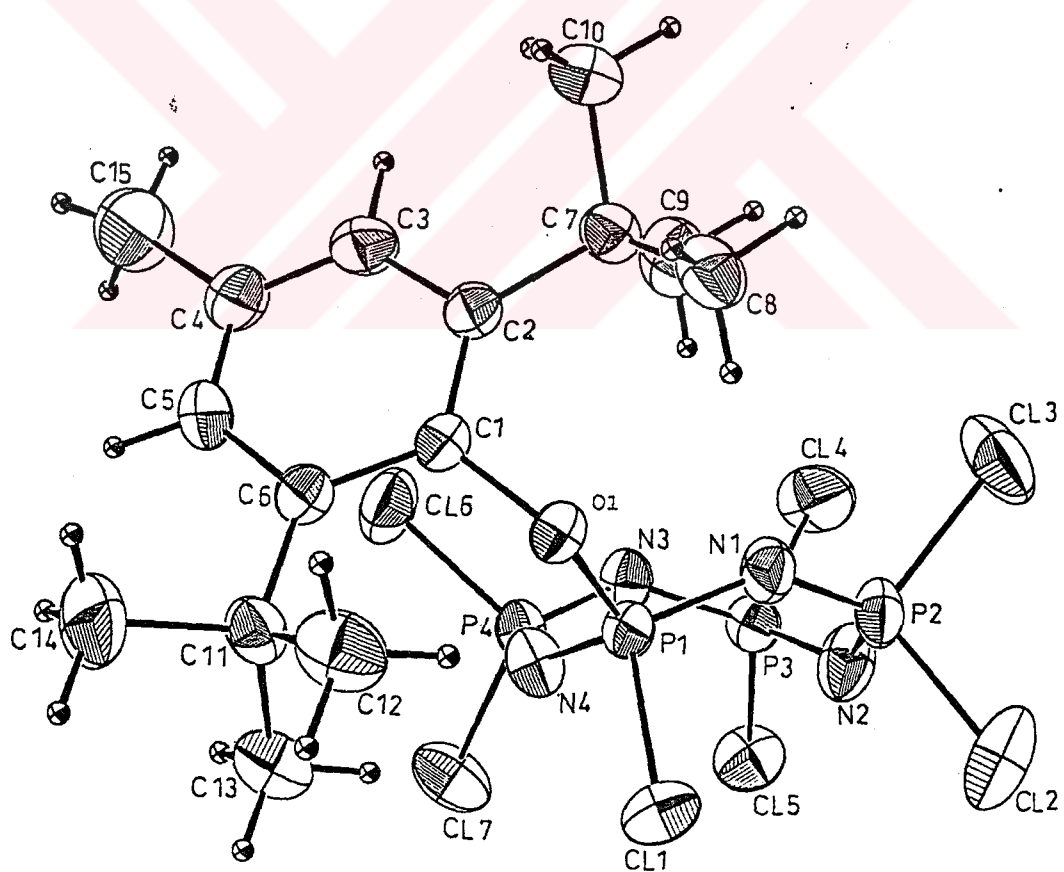


Şekil.3.5 (8) Bileşığının Kütle spektrumu

Tablo 3.1 (8) Bileşigine Ait Kütle Parçalanma Şeması

Bileşik No	Kütle Parçalanmaları ve Şiddetleri
8	647 (23, M^+); 631 (35, $[M-16]^+$; 591(83, $[M-56]^+$); 555 (42, $[M-92]^+$); 445 (49, $[M-202]^+$); 427 (72, $[M-220]^+$); 312 (40, $[M-335]^+$); 161 (38, $[M-485]^+$; 145 (67, $[M-502]^+$)

Bu bileşığın yapısı X-ışını kırınım yöntemiyle de aydınlatıldı.



Şekil .3.6 (8) Bileşığının X-ışını yapısı

(8) Bileşiginin x-ışını verileri incelendiğinde; P-N-P bağ açıları $133.6(2)^{\circ}$ den $139.3(2)^{\circ}$ ye değişir [ortalama $135.8(2)^{\circ}$ dir]. N-P-N açılarındaki değişme azdır. $119.3(1)^{\circ}$ den $121.4(1)^{\circ}$ ye değişmektedir [ortalama $120.7(1)^{\circ}$ dir]. Trimerik fosfazenlerde endosiklik (N-P-N) açıları azalırken, endosiklik (R-P-Cl) açıları artar.

Tablo 3.2 (8) Bileşigine ait bağ uzunlukları ve açılar, parantez içinde standart sapmaları ile görülmektedir.

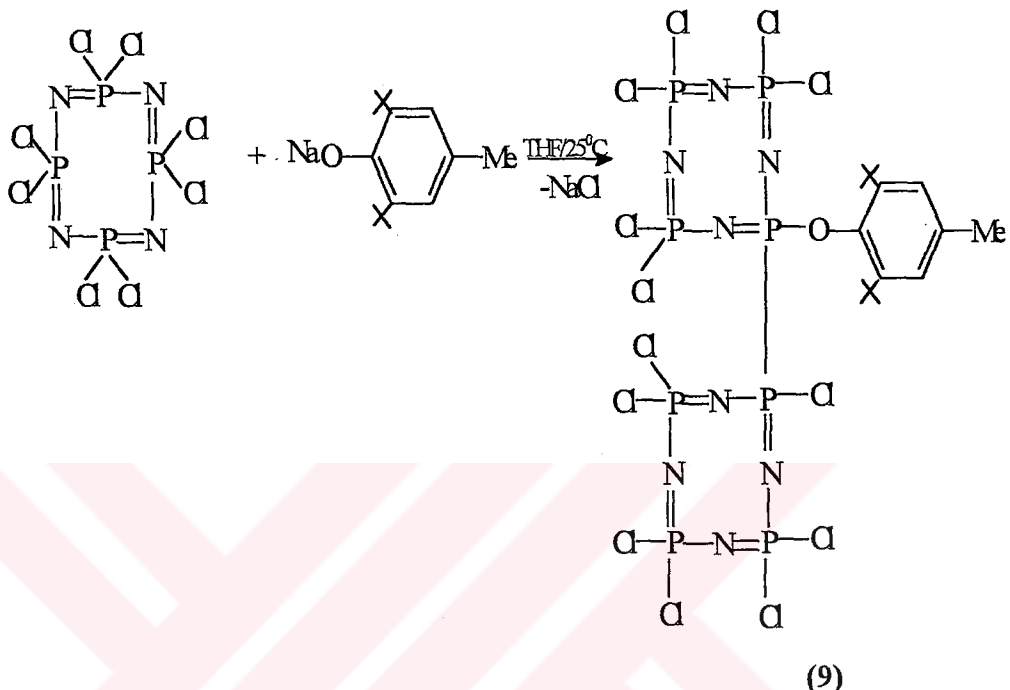
a) Bağlar (\AA°)

C11	-	P1	2.005(1)	O1	-	C1	1.434(3)
CL2	-	P2	1.989(1)	C1	-	C2	1.401(3)
CL3	-	P2	1.983(1)	C1	-	C6	1.408(4)
CL4	-	P3	1.981(1)	C2	-	C3	1.395(4)
CL5	-	P3	1.983(1)	C2	-	C7	1.546(4)
CL6	-	P4	1.991(1)	C3	-	C4	1.370(5)
CL7	-	P4	1.996(1)	C4	-	C5	1.382(4)
P1	-	O1	1.574(2)	C4	-	C15	1.524(5)
P1	-	N1	1.562(3)	C5	-	C6	1.392(4)
P1	-	N4	1.559(2)	C6	-	C11	1.540(4)
P2	-	N1	1.556(3)	C7	-	C8	1.530(4)
P2	-	N2	1.556(3)	C7	-	C9	1.538(5)
P3	-	N2	1.558(2)	C7	-	C10	1.535(4)
P3	-	N3	1.559(3)	C11	-	C12	1.530(4)
P4	-	N3	1.563(3)	C11	-	C13	1.528(4)
P4	-	N4	1.549(2)	C11	-	C14	1.547(5)

b) Açılar ($^{\circ}$)

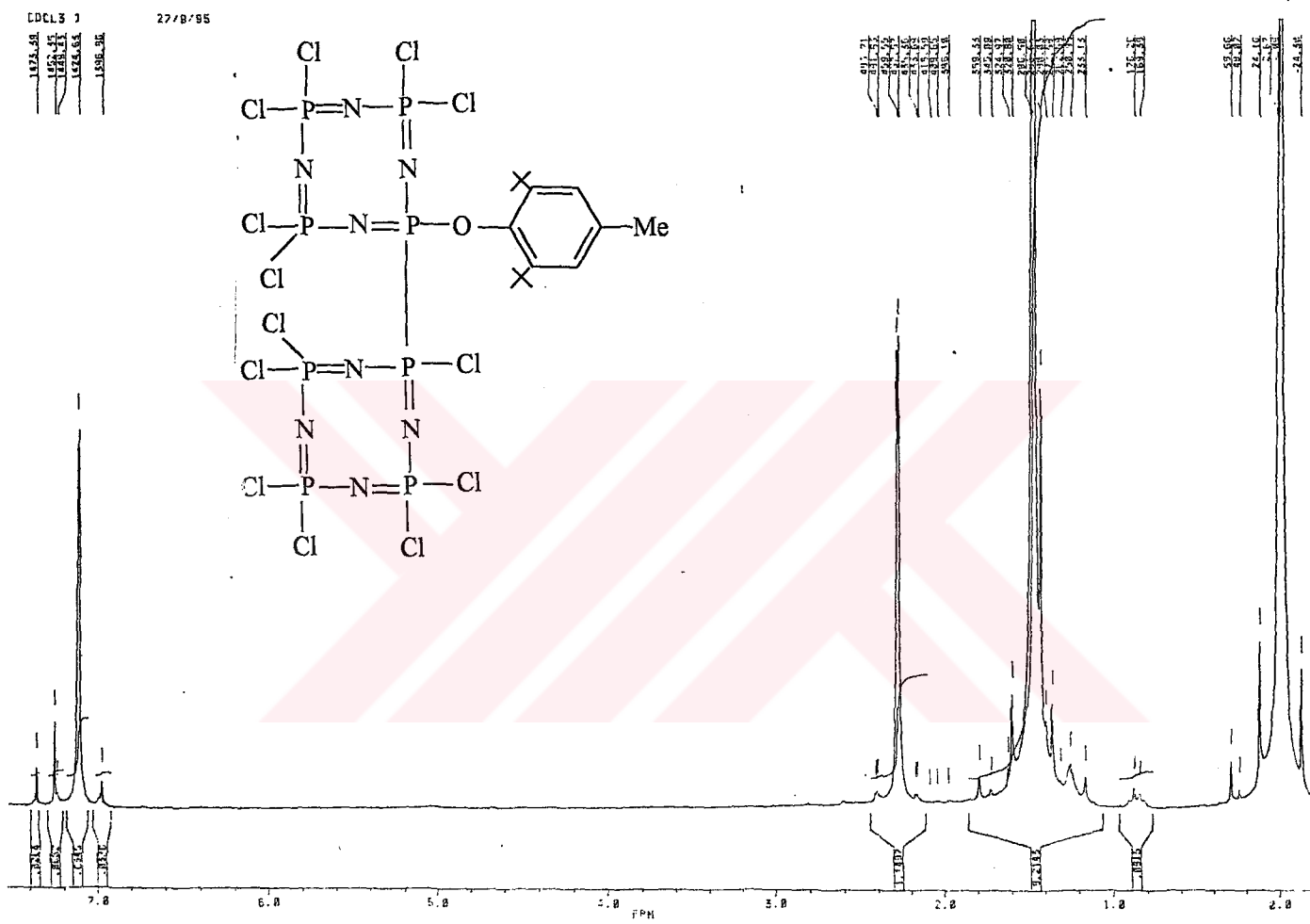
C11	-	P1	-	O1	101.0(1)	CL7	-	P4	-	N4	106.4(1)
C11	-	P1	-	N1	107.0(1)	N3	-	P4	-	N4	121.4(1)
C11	-	P1	-	N4	107.6(1)	P1	-	O1	-	C1	124.0(1)
O1	-	P1	-	N1	108.7(1)	P1	-	N1	-	P2	136.0(1)
O1	-	P1	-	N4	111.5(1)	P2	-	N2	-	P3	133.6(2)
N1	-	P1	-	N4	119.3(1)	P3	-	N3	-	P4	134.3(1)
CL2	-	P2	-	CL3	102.7(1)	P1	-	N4	-	P4	139.3(2)
CL2	-	P2	-	N1	110.8(1)	O1	-	C1	-	C2	118.4(2)
CL2	-	P2	-	N2	104.7(1)	O1	-	C1	-	C6	117.7(2)
CL3	-	P2	-	N1	105.8(1)	C2	-	C1	-	C6	123.8(2)
CL3	-	P2	-	N2	110.0(1)	C1	-	C2	-	C3	115.3(2)
N1	-	P2	-	N2	121.3(1)	C1	-	C2	-	C7	127.1(2)
CL4	-	P3	-	CL5	102.7(1)	C3	-	C2	-	C7	117.6(2)
CL4	-	P3	-	N2	110.9(1)	C2	-	C3	-	C4	122.9(2)
CL4	-	P3	-	N3	105.0(1)	C3	-	C4	-	C5	118.4(3)
CL5	-	P3	-	N2	104.9(1)	C3	-	C4	-	C15	121.3(3)
CL5	-	P3	-	N3	111.2(1)	C5	-	C4	-	C15	120.3(3)
N2	-	P3	-	N3	120.7(1)	C4	-	C5	-	C6	123.1(3)
CL6	-	P4	-	CL7	102.5(1)	C1	-	C6	-	C5	114.8(2)
CL6	-	P4	-	N3	105.3(1)	C1	-	C6	-	C11	125.8(2)
CL6	-	P4	-	N4	109.2(1)	C5	-	C6	-	C11	119.3(3)
CL7	-	P4	-	N3	110.6(1)	C2	-	C7	-	C8	113.7(2)
C2	-	C7	-	C9	109.8(2)	C6	-	C11	-	C13	112.5(3)
C2	-	C7	-	C10	109.4(2)	C6	-	C11	-	C14	110.3(2)
C8	-	C7	-	C9	110.8(3)	C12	-	C11	-	C13	109.8(2)
C8	-	C7	-	C10	105.3(2)	C12	-	C11	-	C14	105.3(3)
C9	-	C7	-	C10	107.5(2)	C13	-	C11	-	C14	107.1(2)
C6	-	C11	-	C12	111.5(2)						

Bu reaksiyonda ikinci bir ürün (**9**) daha elde edilmiştir. Bu ürününden yapısı elemental analiz, ¹H NMR, ³¹P NMR, ¹³C NMR spektrumu teknikleri kullanılarak tayin edildi.



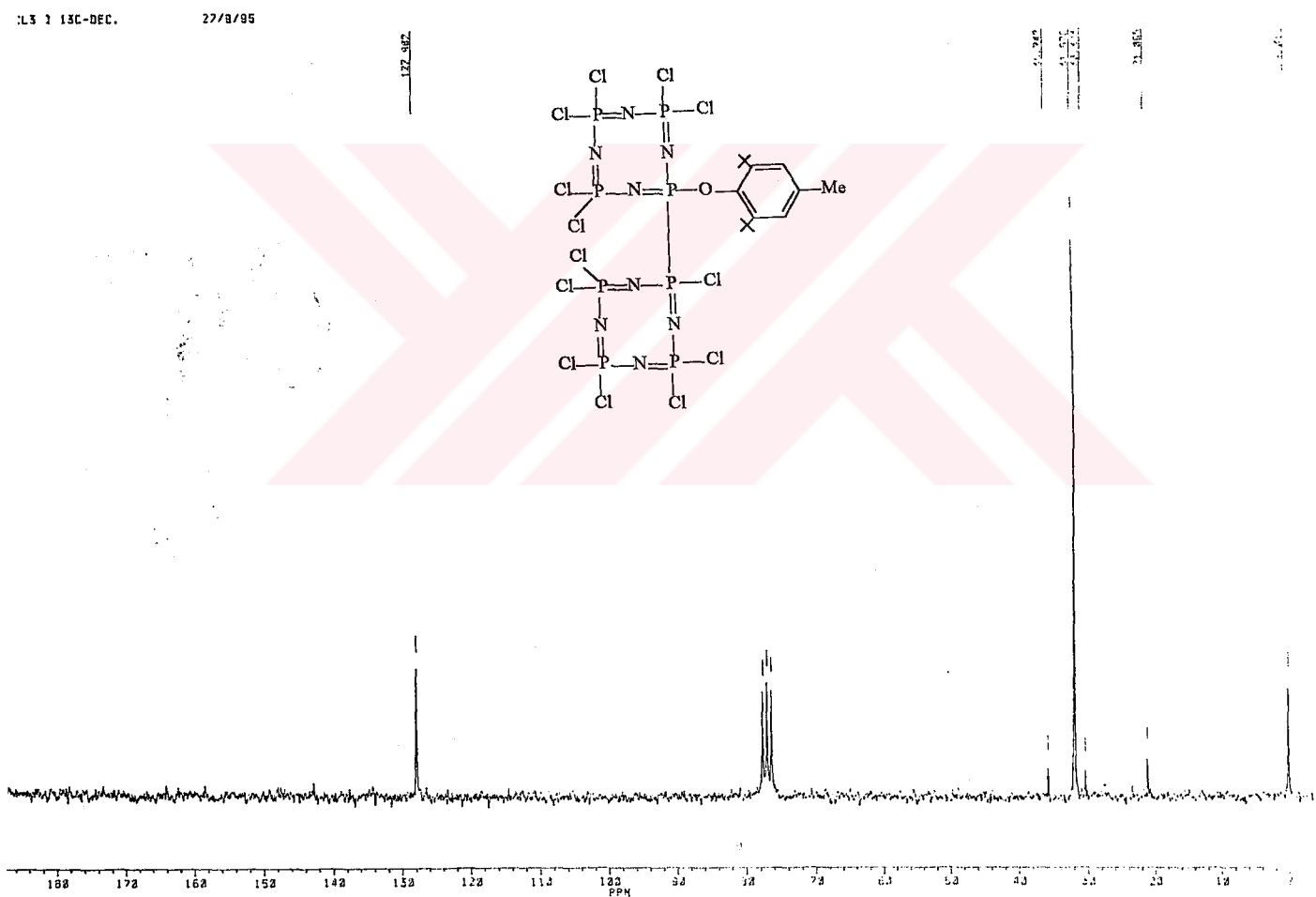
(**9**) Bileşininin ¹H NMR spektrumu incelendiğinde; (**Şekil 3.7**) aromatik halkaya 2,6-konumundan bağlı *tert*-bütil protonları $\delta = 1.48$ ppm'de bir doublet, aromatik halkaya 4- konumundan bağlı metil protonları $\delta = 2.28$ ppm'de bir singlet, aromatik halka protonları ise $\delta = 7.12$ ppm'de bir singlet pik vermektedir.

Bu spektrum (BHT) nin ¹H NMR spektrumu (**Şekil 3.1**) ile karşılaştırıldığında, $\delta = 4.79$ ppm'deki hidroksil protonuna ait pik kaybolurken, *tert*-bütil grubuna ait pik 1.43 ppm'den 1.48 ppm'e yani düşük alana, aromatik halkaya bağlı metil protonları 2.23 ppm den 2.28 ppm e yani düşük alana ve aromatik halkaya bağlı protonlar ise 6.80 ppm'den 7.12 ppm'e yani daha düşük alana kaymıştır.



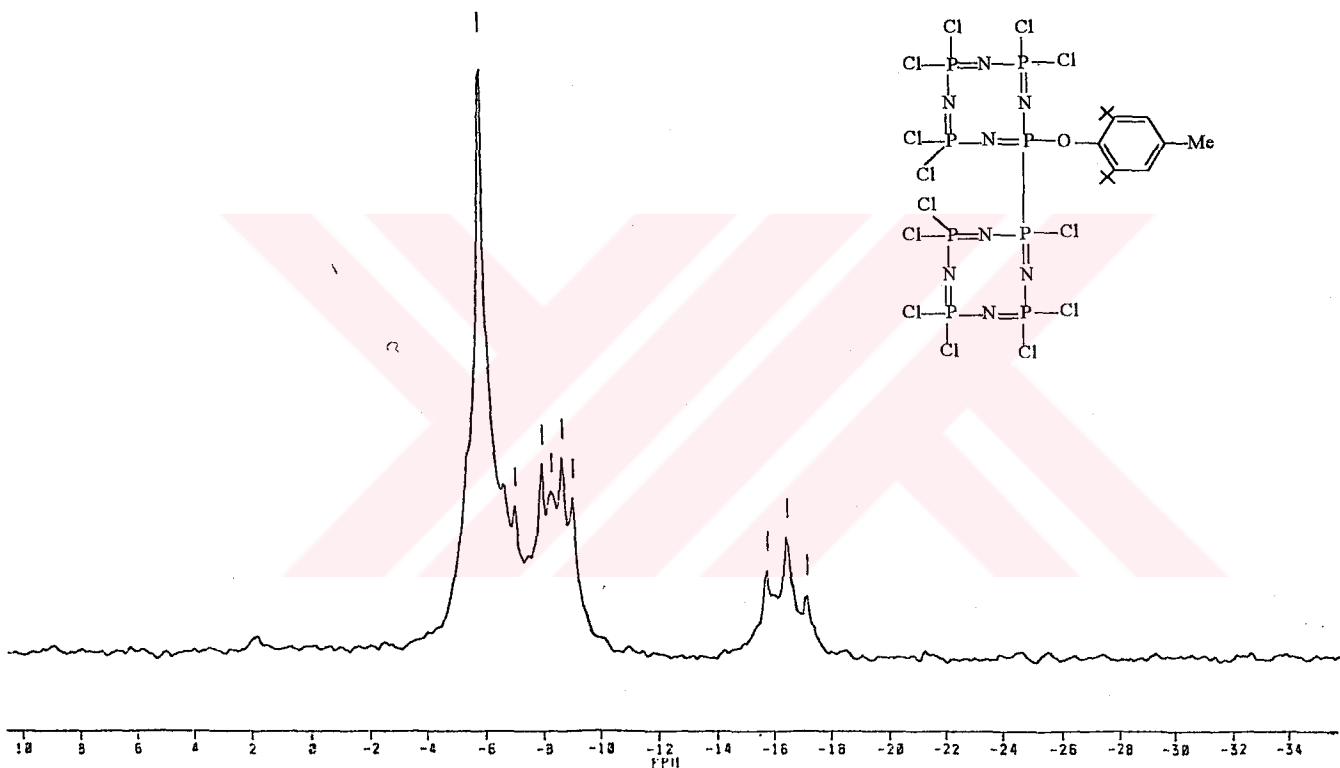
Şekil.3.7 (9) Bileşiginin ¹H NMR Spektrumu

Bu bileşigin (9) ^{13}C NMR spektrumu incelendiğinde; $\delta = 21.06$ ppm'de *p*-konumundaki *tert*-bütil grubunda bulunan metil karbonlarına ait bir pik, $\delta = 30.32$ ppm'de *p*-konumundaki *tert*-bütil grubunda bulunan metil karbonlarının bağlılığı karbona ($\text{CCH}_3)_3$ ait bir pik, $\delta = 31.87$ ppm'de 2,6-konumundaki *tert*-bütil gruplarında bulunan metil karbonlarına ait bir pik, $\delta = 35.74$ ppm'de 2,6-konumundaki *tert*-bütil gruplarında bulunan metil karbonlarının bağlılığı karbona ait bir pik, $\delta = 127.90$ ppm'de ise aromatik halka karbonlarına ait bir pik bulunmaktadır.



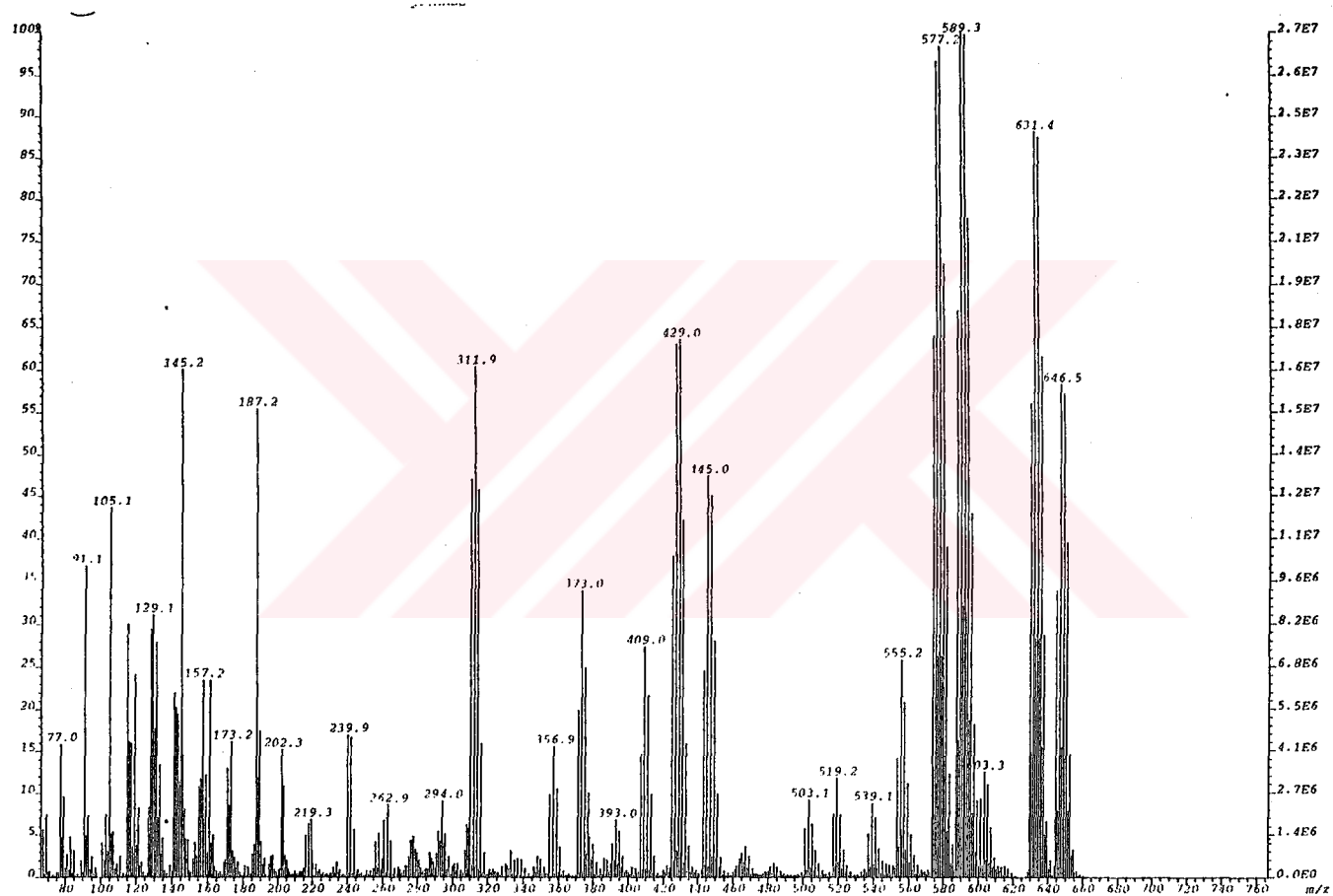
Sekil.3.8 (9) Bileşiginin ^{13}C NMR Spektrumu

Bu bileşigin (9) ^{31}P NMR spektrumu incelendiğinde $\delta = -17.17$ ppm (t , $J=116$ Hz) de POAr grubuna ait triplet bir pik, $\delta = -9.03$ ppm (m , $J=255$ Hz) de PCl_2 grubuna ait multiplet bir pik ve $\delta = -5.87$ ppm'de ise diğer fosfazen halkasındaki fosforlara ait singlet bir pik bulunmaktadır.



Şekil 3.9.(9) Bileşiginin ^{31}P NMR spektrumu

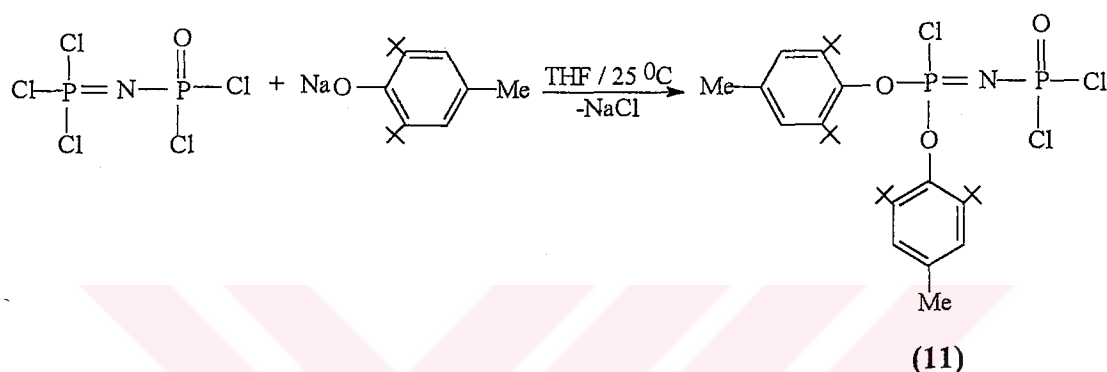
(9) Bileşiginin kütle spektrumu incelendiğinde moleküler iyon pikinin gözlenmediği anlaşılmaktadır. Bu bileşigin kütle spektrumu EI yöntemi ile alındığı için muhtemelen bir parçalanma olmuştur. Bu bileşigin kütle spektrumu (Şekil 3.10) incelendiğinde 646.5 m/z de gözlenen pik molekülün muhtemelen parçalandığını gösterir. Bu iyondan bir CH_3 grubunun ayrılması ile 631.4 de bir pik, bir Bu^t grubunun ayrılması ilede 589.3 de bir pik gözlenmektedir.



Şekil.3.10 (9) Bileşiginin Kütle Spektrumu

3.1.1.1.2 2,6-di-*tert*-4-metilfenol + P-Trikloro-N-diklorofosforilmonofosfazenin (3) etkileştirilmesi:

Sodyum 2,6-di-*tert*-bütil-4-metilfenoksit ile (3) bileşiği değişik oranlarda (1:1), (2:1), (5:1), (10:1) etkileştirildi. Yapılan bu reaksiyonlar sonucunda disübstiyüson ürününün (11) dışında ürün elde edilemedi.



Tablo 3.3 8, 9, 11 Bileşiklerine Ait Fiziksel Veriler

Bileşik No	e.n. °C	Verim (%)	Element Analizi (%)			
			Bulunan (Hesaplanan)	C	H	N
8	124-126	57	27.69 (27.82)	3.44 (3.58)	8.52 (8.65)	
9	110-114	27	15.55 (16.19)	1.96 (2.07)	9.93 (10.07)	
11	196-199	67	56.50 (56.55)	7.69 (7.22)	1.94 (2.19)	

Ele geçen bu yeni bileşigin (11) ^1H NMR spektrumu (**Şekil 3.11**) incelendiğinde; $\delta = 1.50$ ppm'de *tert*-bütil grubu hidrojenlerine ait singlet bir pik, $\delta = 2.29$ ppm'de *para*-konumundaki metil protonlarına ait singlet pik ve $\delta = 7.26$ ppm'de aromatik halka protonlarına ait singlet bir pik görülmektedir.

Bu spektrum BHT nin ^1H NMR spektrumu (**Şekil 3.1**) ile karşılaştırıldığında; $\delta = 4.79$ ppm'de bulunan hidroksil protonuna ait pik kaybolurken, *tert*-bütil grubu hidrojenlerine ait pik 1.43 ppm'den 1.50 ppm'e, metil grubuna ait protonlar 2.23 ppm'den 2.29 ppm'e ve aromatik halka protonları 6.80 ppm den 7.26 ppm'e yani düşük alana kaymıştır.

(11) Bileşiginin ^{13}C NMR spektrumu (**Şekil 3.12**) incelendiğinde; $\delta = 20.91$ ppm'de *para* konumundaki metil grubuna ait bir pik; $\delta = 32.56$ ppm'de 2,6-konumundaki *tert*-bütil gruplarında bulunan metil karbonlarına ait bir pik; $\delta = 36.08$ ppm'de *tert*-bütil gruplarındaki metil karbonlarının bağlılığı $\text{C}(\text{CH}_3)_3$ karbona ait bir pik; $\delta = 128.81$ ppm'de 2,6-konumundaki aromatik halka karbonlarına ait bir pik; $\delta = 134.96$ ppm'de 4-konumundaki aromatik halka karbonlarına ait bir pik; $\delta = 142.75$ ppm'de ise 3,5-konumundaki aromatik halka karbonlarına ait bir pik bulunmaktadır.

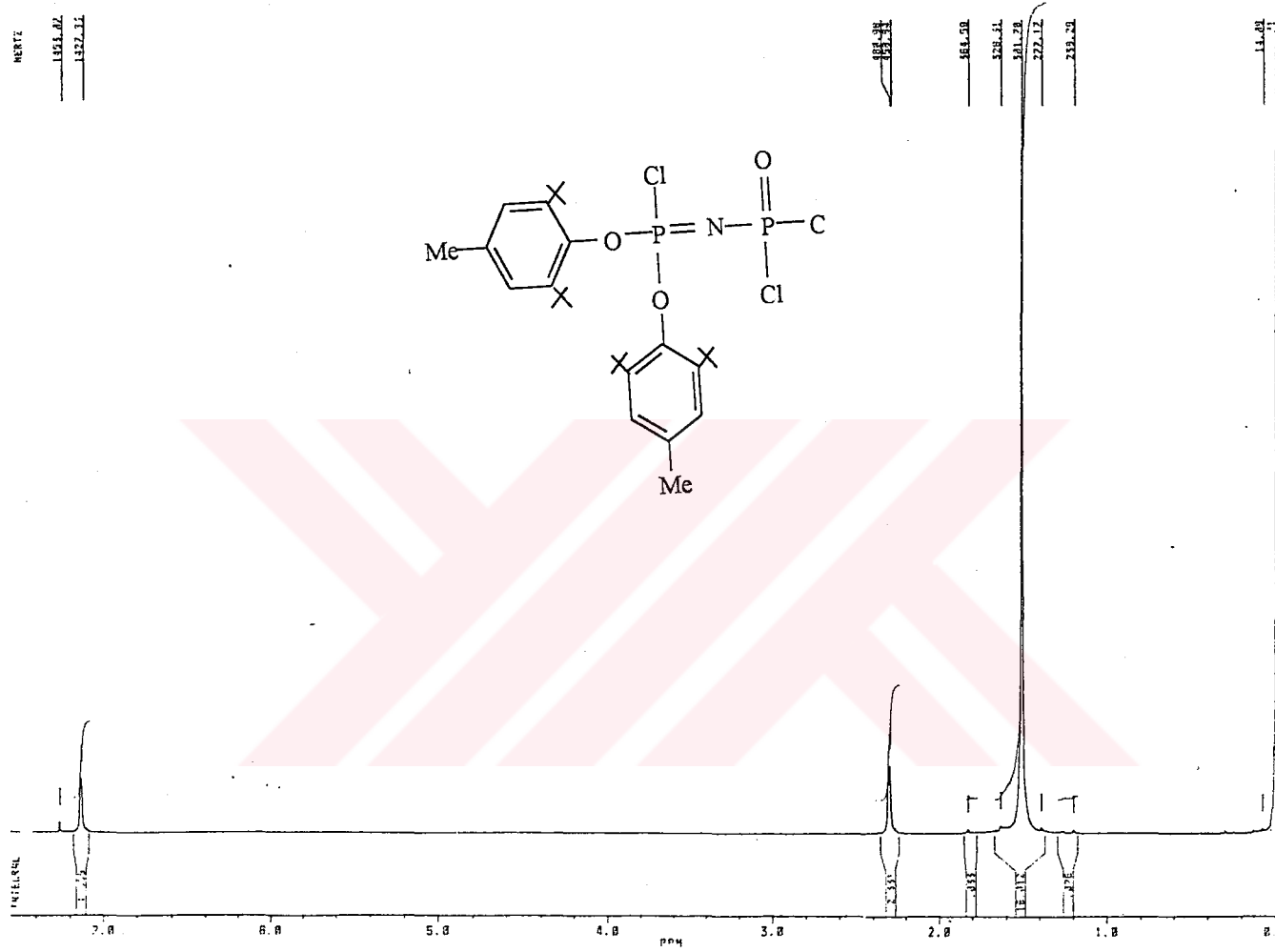
Bileşigin ^{31}P NMR spektrumu (**Şekil 3.13**) incelendiğinde $\delta = -16.4$ ppm de ($J= 58.9$) POAr grubuna ait dublet pik gözlenirken, $\delta = -6.99$ ppm de ($J= 58.6$) ise PCl_2 grubuna ait pik gözlenmektedir.

(11) Bileşiginin FTIR spektrumu (**Şekil 3.15**) incelendiğinde; $\nu (\text{PCl}) 578 \text{ cm}^{-1}$, $\nu (\text{P=N}) 978 \text{ cm}^{-1}$, $\nu (\text{C-O}) 1288 \text{ cm}^{-1}$, $\nu (\text{P-OAr}) 1370 \text{ cm}^{-1}$, $\nu (\text{C=C}) 1477, 1600 \text{ cm}^{-1}$, $\nu (\text{CH aril}) 2900 \text{ cm}^{-1}$ de şiddetli pikler verdiği gözlenmektedir.

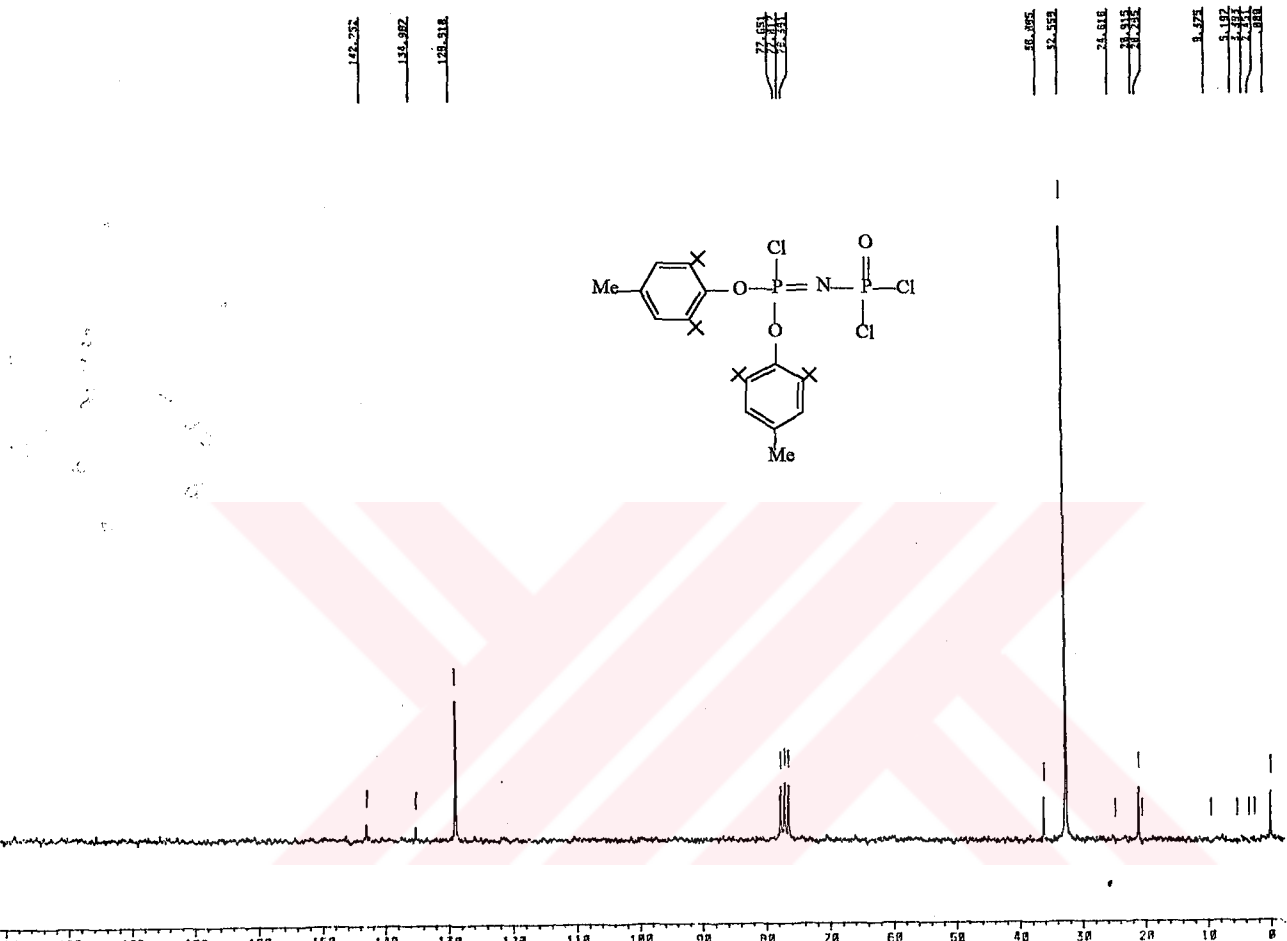
(11) Bileşigine ait kütle spektrumu (**Şekil 3.14**) incelendiğinde $m/z= 1273$ de bir pik gözlenmektedir. Bu da yapının muhtemelen dimerleşmiş olabileceğini göstermektedir. Ayrıca $m/z= 636$ da bir pik bulunmaktadır. Bu da dimerleşen ürünün yeniden parçalanarak moleküllere ayrıldığını göstermektedir. Bu yapıdan bir ($\text{Bu}^t\text{-H}$) grubunun ayrılması ile $m/z= 524$ pikleri gözlenmektedir. Bunlar da yapıyı doğrulamaktadır.

Tablo 3.4 9, 10, 11 Bileşiklerine Ait Kütle parçalanma şeması

Bileşik No	Kütle parçalanmaları ve şiddetleri
9	646.5 (60, M^+); 631.4 (88, $[M-15]^+$); 589.3 (100, $[M-57]^+$); 577.2 (100, $[M-69]^+$); 312 (60, $[M-344]^+$)
10	687 (45, M^+); 672 (47, $[M-15]^+$); 632.7 (76, $[M-55]^+$); 596.7 (40, $[M-91]^+$); 444 (55, $[M-243]^+$)
11	636 (M^+); 580, (10, $[M-56]^+$); 524 (58, $[M-112]^+$); 378 (100, $[M-258]^+$, 203 (32, $[M-433]^+$)



Şekil.3.11 (11) Bileşığının ^1H NMR Spektrumu



Sekil.3.12. (11) Bileşiginin ^{13}C NMR Spektrumu

Tablo 3.5 8,9,11 bileşiklerine ait ^1H NMR Verileri ^a

HALKA			
Bileşik No	2,6-(CCH ₃) ₃	4-CH ₃	3,5-C-H
8	1.48 (s)	2.29 (s)	7.11 (s)
9	1.48 (s)	2.28 (s)	7.12 (s)
11	1.50 (s)	2.29 (s)	7.26 (s)

^a ^1H NMR (200.05 MHz; CDCl₃+TMS) spektrumundaki kimyasal kayma değerleri ppm olarak verilmiştir.

Tablo 3.6 8, 9, 11 Bileşiklerine ait ^{13}C NMR Verileri ^b

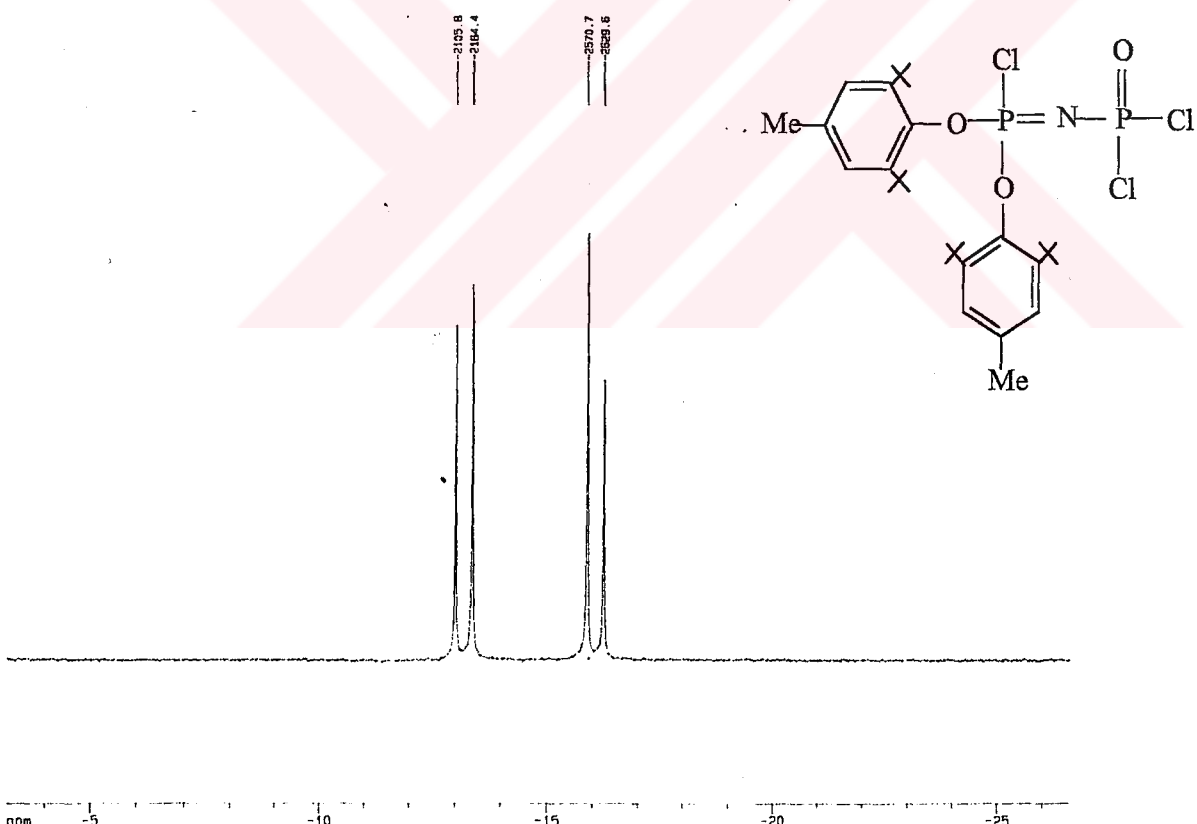
HALKA					
Bileşik No	2,6-(C <u>CH</u> ₃) ₃	4- <u>C</u> H ₃	3,5- <u>C</u> -H	<u>C</u> -ipso	Digerleri
8	31.9	35.78	127.5	142.7	134
9	30.32	35.7	127.90	-----	
11	32.56	36.08	128.81	142.75	134.96

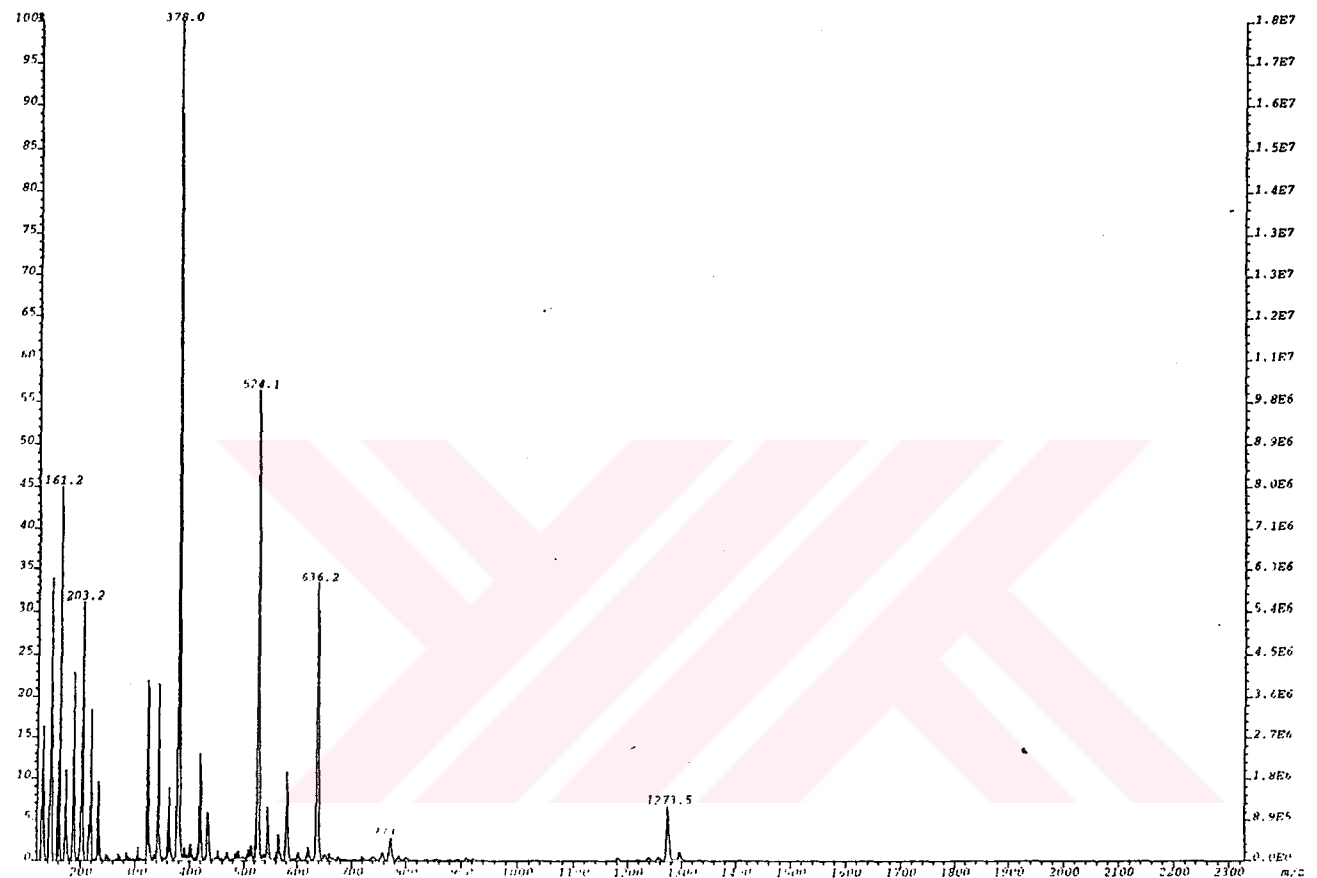
^b ^{13}C NMR (50.30 MHz; CDCl₃+TMS) spektrumundaki kimyasal kayma değerleri ppm olarak verilmiştir.

Tablo 3.7 8, 9, 11 Bileşiklerine ait ^{31}P NMR Verileri^C

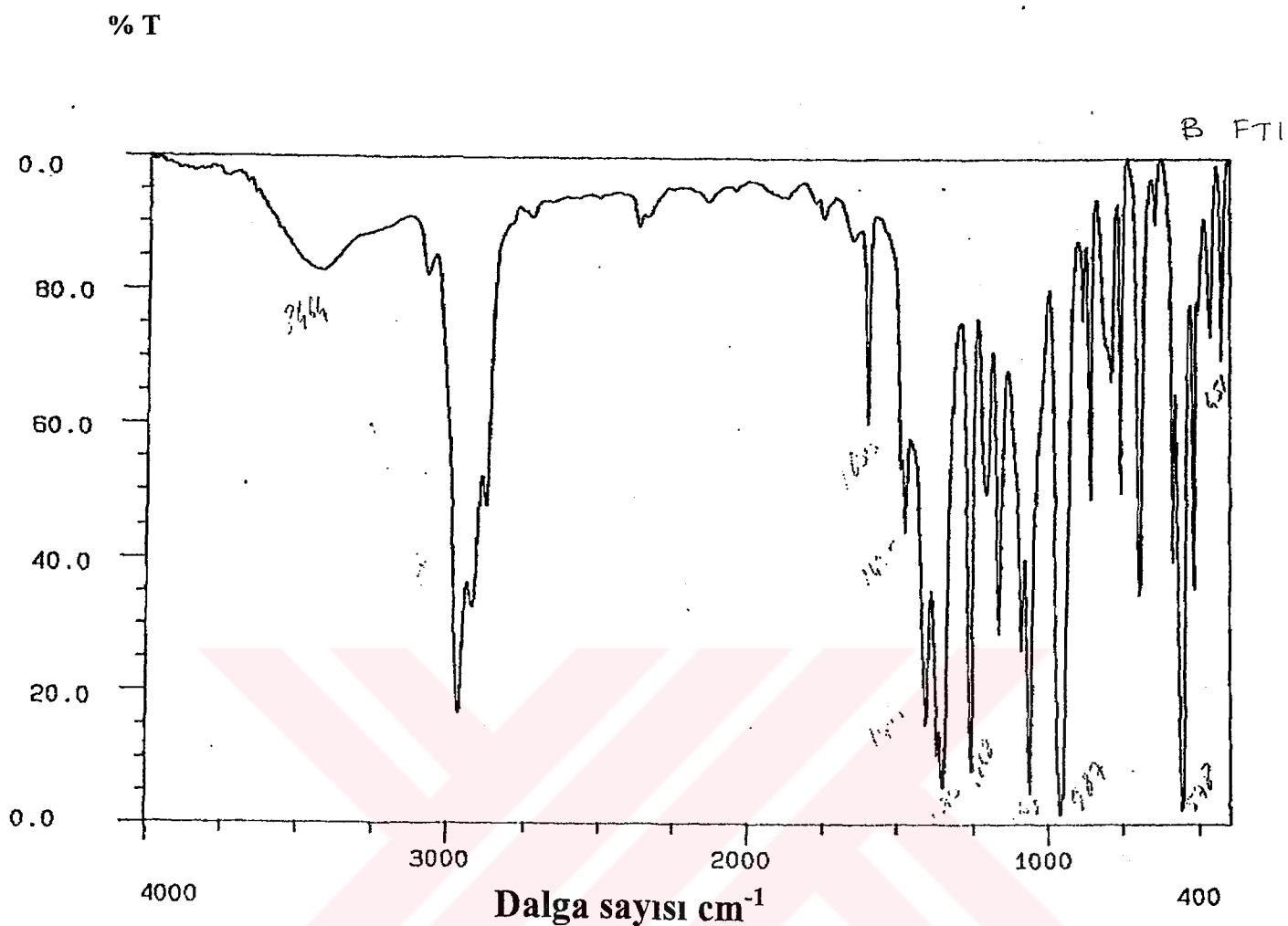
Bileşik No	POAr	PCl	PCl ₂
8	-17.19 (t, J=116 Hz)	----	-9.041 (m, J=221 Hz)
9	-17 (t, J= 116 Hz)	-9.03 (m, J=86.84)	-7.022 (s)
11	-16.4 (d, J= 58.9 Hz)	----	-6.99 (d, J= 58.6 Hz)

^C ^{31}P NMR (80.984 MHz, CDCl₃+% 85 H₃PO₄) spektrumundaki kimyasal kayma değerleri ppm olarak verilmiştir. S: singlet; t:triplet; m: multiplet.

Şekil 3.13 (11) Bileşiginin ^{31}P NMR Spektrumu



Şekil.3.14 (11) Bileşiginin Kütle Spektrumu

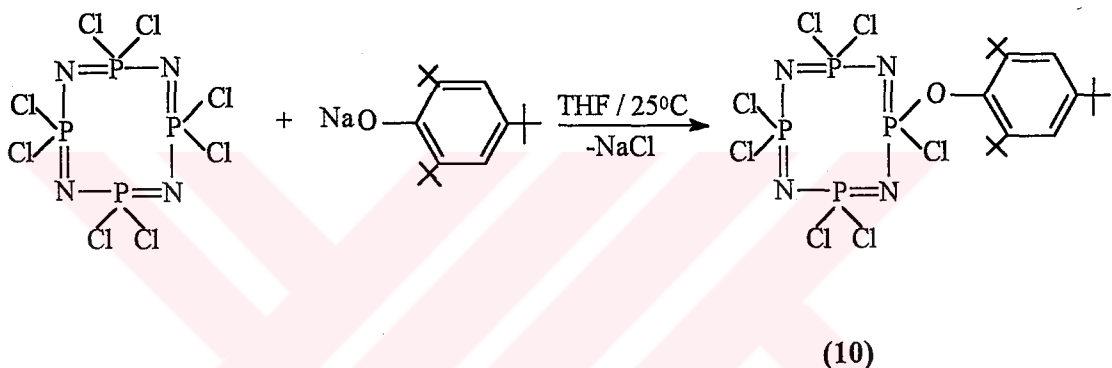


Şekil.3.15 (11) Bileşığının FTIR Spektrumu

3.1.2 2,4,6-Tri-*Tert*-Bütilfenol İle Yapılan Reaksiyonlar:

3.1.2.1 2,4,6-Tri-*Tert*-Bütilfenol + Tetramer

BHT (**4b**) de olduğu gibi 2,4,6-tri-*tert*-bütilfenolle (**4c**) de tetramer değişik oranlarda etkileştirildi (1:1), (2:1), (4:1). Ancak yapılan bütün reaksiyonlarda monosübstitüe ürününden (**10**) başka bir ürün elde edilemedi. Daha önce yapısı açıklanan⁷³ bu bileşigin yapısının bu şekilde olduğu ¹H, ¹³C, ³¹P NMR, Kütle spektroskopisi ile tayin edildi.



(**10**) Bileşiginin ¹H NMR spektrumu (**Şekil 3.16**) incelendiğinde; $\delta = 1.28$ ppm'de *para*-konumundaki *tert*-bütil protonlarına ait singlet bir pik, $\delta = 1.49$ ppm'de *o*-konumlarındaki hidrojenlere ait singlet bir pik ve $\delta = 7.32$ ppm'de aromatik halka protonlarına ait singlet pik bulunmaktadır.

Bu spektrum (**Şekil 3.16**) 2,4,6-tri-*tert*-bütilfenolün ¹H NMR spektrumu (**Şekil 3.17**) ile karşılaştırıldığında; (**Şekil 4.16**) $\delta = 1.32$ ppm'de bulunan *p*-*tert*-bütil protonlarına ait singlet pik yüksek alana kayarak $\delta = 1.28$ ppm'de bir singlet, aromatik halkaya 2,6-konumundan bağlı *o*-*tert*-bütil protonlarına ait pik $\delta = 1.48$ ppm'den düşük alana kayarak $\delta = 1.49$ ppm'de singlet bir pik ve $\delta = 7.0$ ppm'de bulunan aromatik halka protonlarına ait singlet pik düşük alana kayarak $\delta = 7.32$ ppm'de bir singlet pik vermektedir. Ayrıca $\delta = 4.83$ ppm'de gözlenen hidroksil grubuna ait pikin ise kaybolduğu görülmektedir.

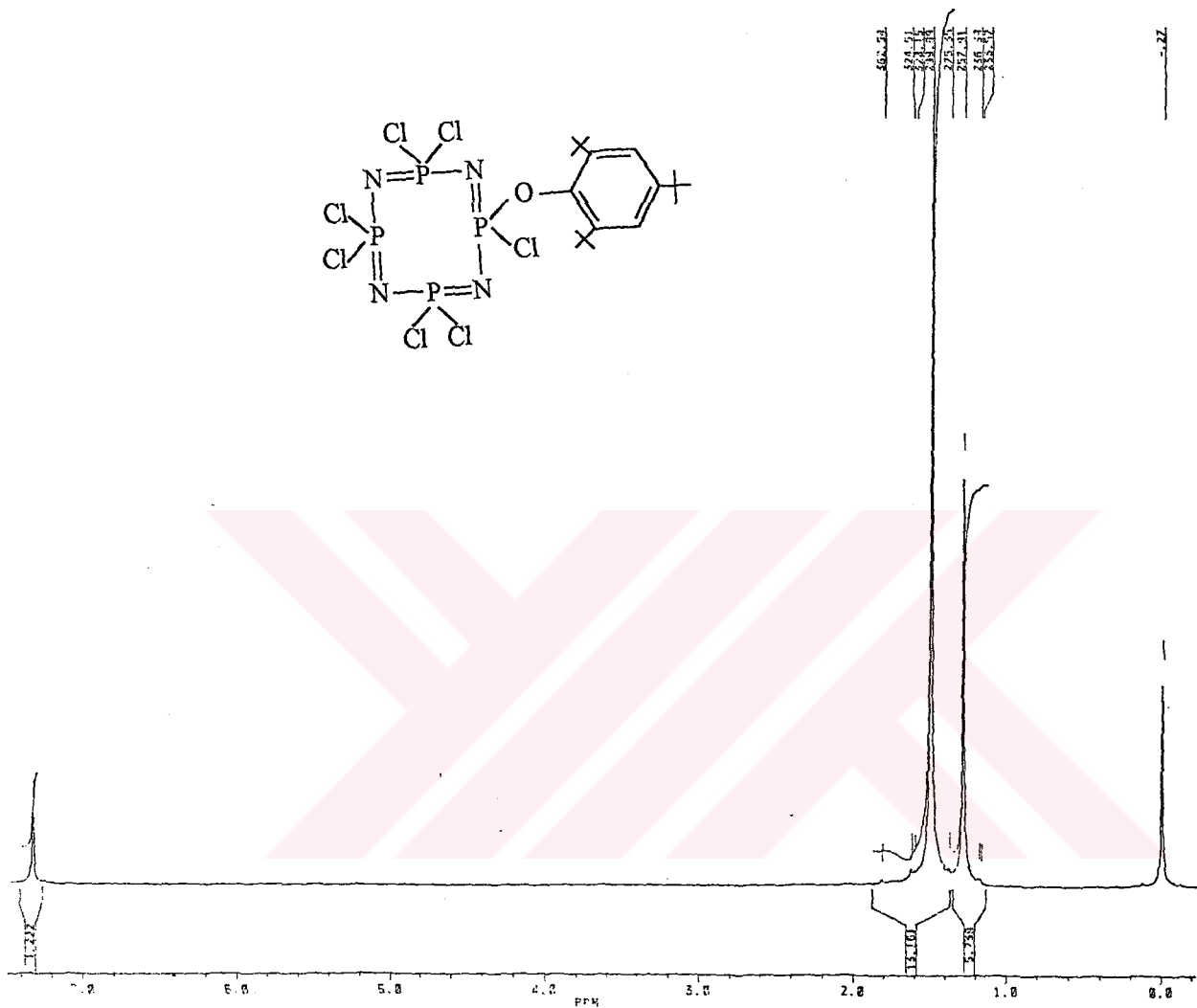
(10) Bileşiginin ^{13}C NMR (Şekil 3.18) spektrumu incelendiğinde; $\delta = 31.42$ ppm'de *para*-konumundaki metil karbonlarına ait bir pik, $\delta = 31.99$ ppm'de *ortho* konumundaki *tert*-bütil gruplarında bulunan metil karbonlarına ait bir pik $\delta = 34.58$ ppm'de *para* konumunda bulunan metil karbonlarının bağlılığı karbona ait bir pik $\delta = 36.06$ ppm'de *ortho*-konumunda bulunan metil karbonlarının bağlılığı karbona ait pik, $\delta = 124.22$ ppm'de aromatik halka karbonlarına ait bir pik, $\delta = 142.18$ ppm'de ise ipso karbonuna ait pik bulunmaktadır.

(10) Bileşiginin ^{31}P NMR spektrumu (Şekil 3.19) incelendiğinde; $\delta = -16.57$ ppm'de ($t, J=1.38$ Hz) de POR grubuna ait triplet bir pik ve $\delta = -9.10$ ppm'de ($m, J=1.06$ Hz) (POArCl) grubuna komşu PCl_2 gruplarına ait multiplet bir pik, $\delta = -7.18$ ppm'de ($t, J= 0.71$) ise diğer PCl_2 grubuna ait triplet bir pik gözlenmektedir.

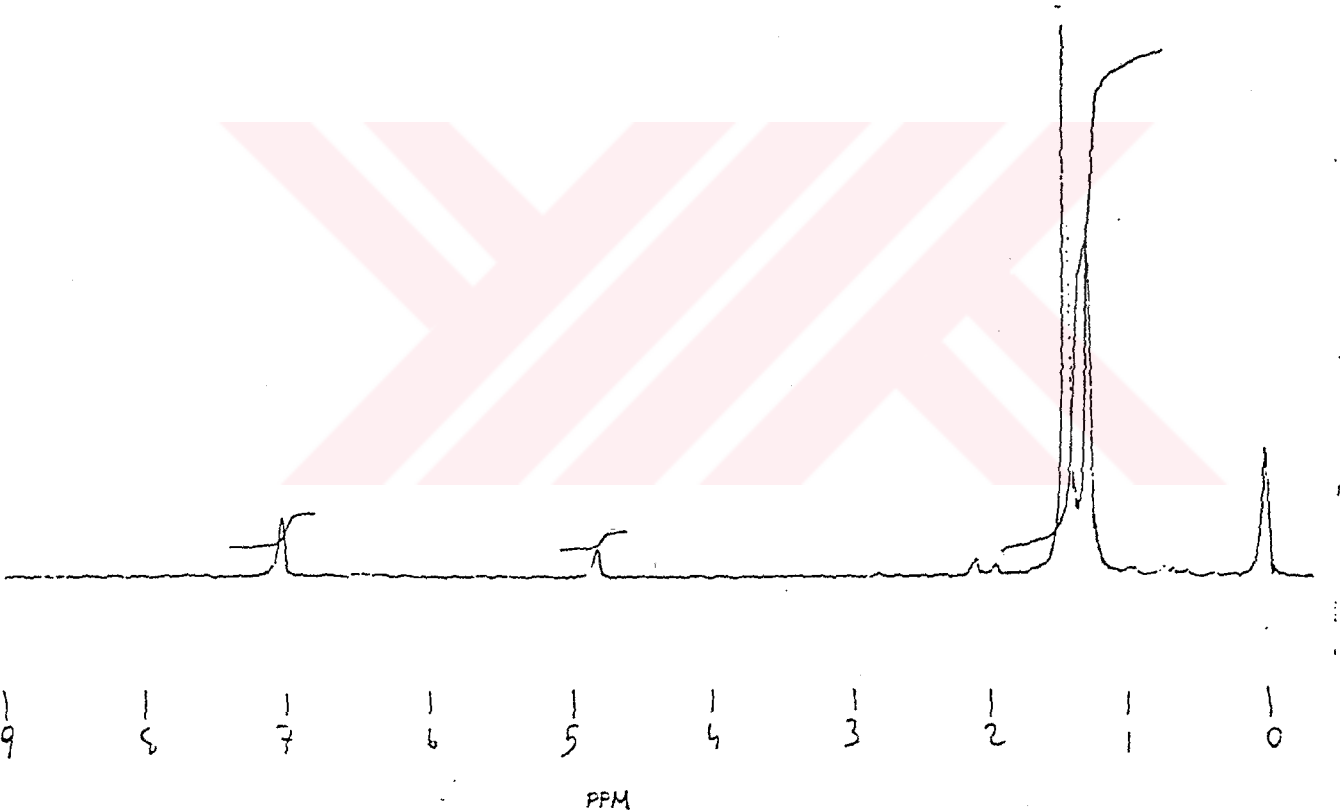
Bileşigin kütle spektrumu (Şekil 3.20) incelendiğinde moleküller iyon piki $m/z = 689$ olarak gözlenmektedir. Moleküler iyondan iki hidrojenin ayrılması ile $m/z = 687$ de bir pik gözlenmektedir. Bu yapıdan bir CH_3 grubunun ayrılması ile $m/z = 672$ de bir pik gözlenmektedir. Moleküler iyondan bir Bu^+ grubunun ayrılması ile $m/z = 632$ de bir pik gözlenmektedir. Ayrıca bu yapıdan bir Cl atomunun ayrılması ile $m/z = 596$ da bir pik ikinci Cl atomunun ayrılması ilede $m/z = 560$ da bir pik gözlenmektedir.

Tablo 3.8 10 Bileşigine Ait Fiziksel Veriler

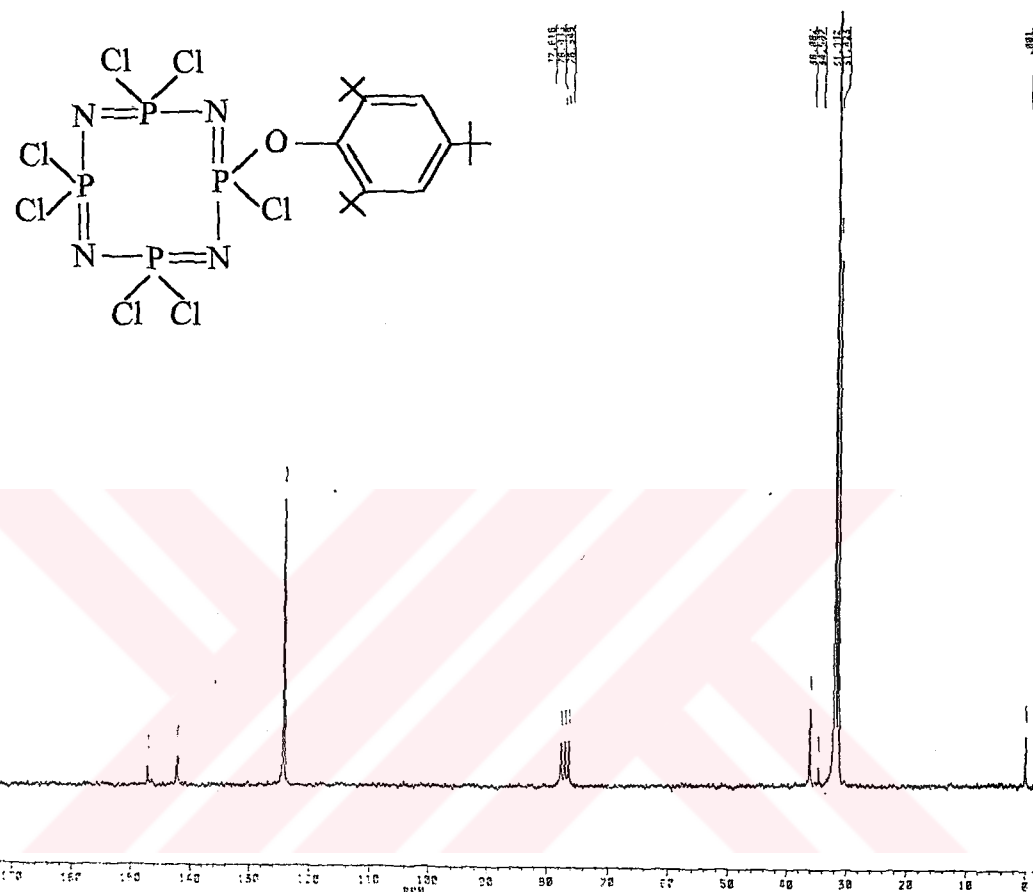
Bileşik No	Renk	Verim (%)	e.n. ^{13}C	Element analizi (%) Bulunan (Hesaplanan)		
				C	H	N
10	Beyaz	70	142-145	31.29 (31.35)	4.09 (4.23)	7.93 (8.12)



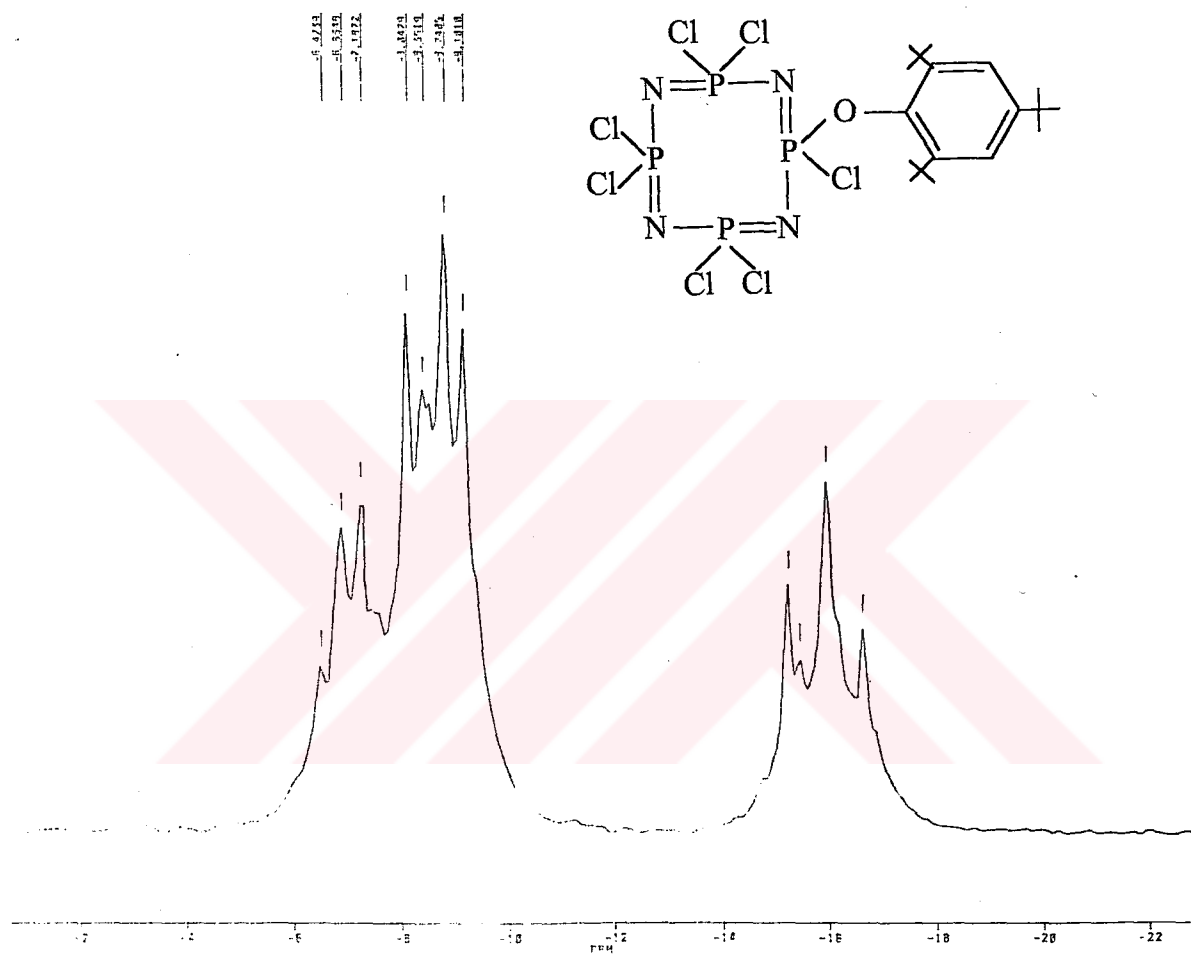
Şekil 3.16 (10) Bileşinin ^1H NMR Spektrumu



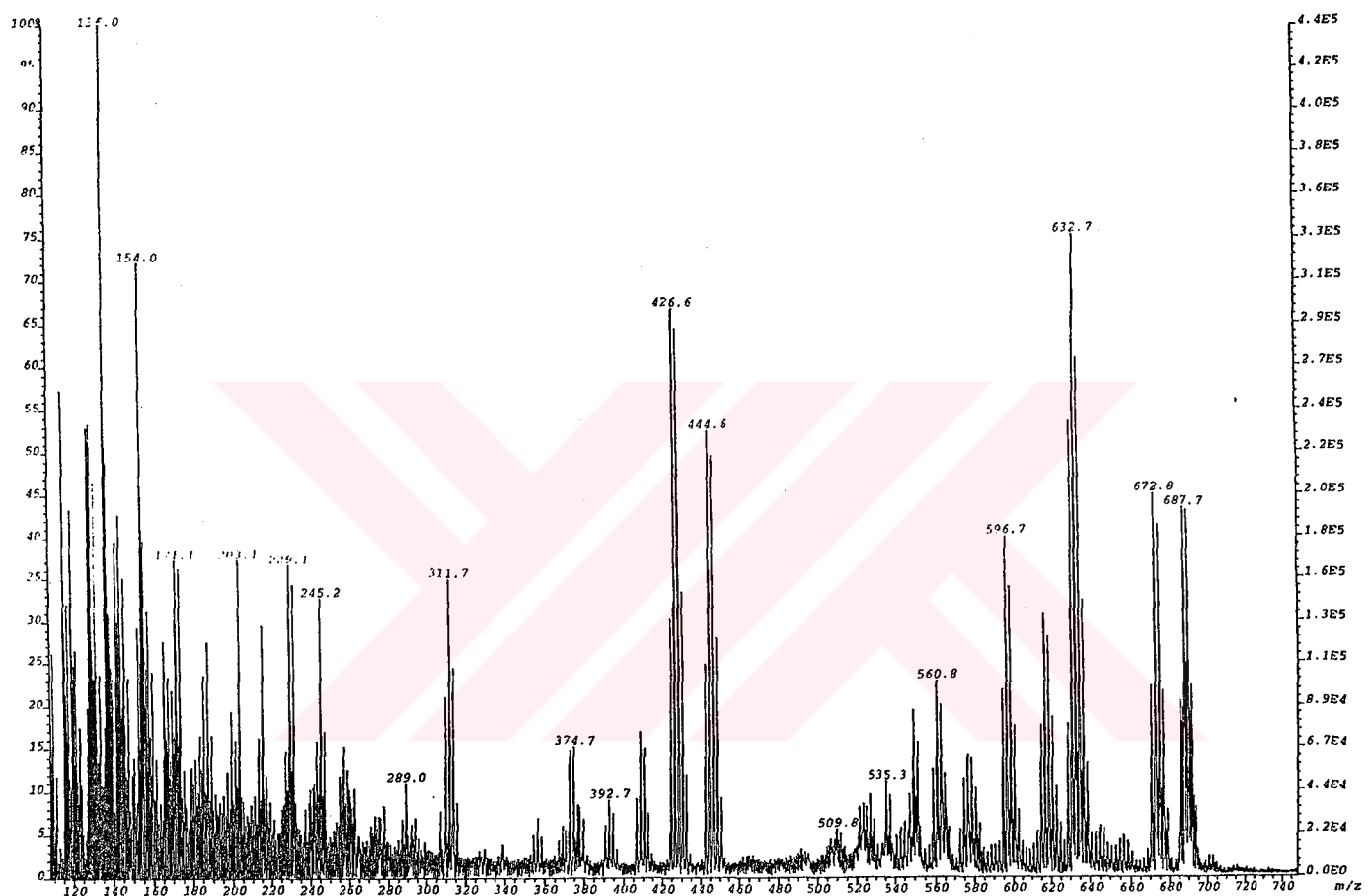
Şekil.3.17 4c Bileşığının ${}^1\text{H}$ NMR Spektrumu



Şekil.3.18 (10) Bileşinin ^{13}C NMR Spektrumu



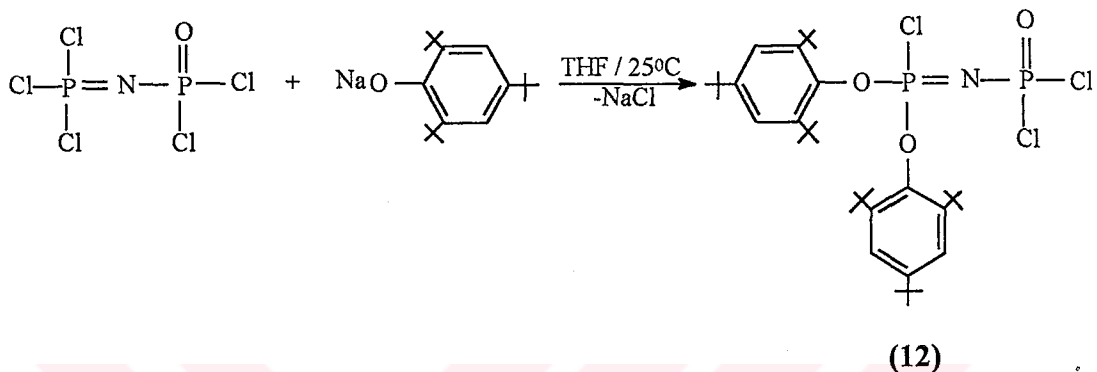
Şekil.3.19 (10) Bileşinin ^{31}P NMR Spektrumu



Şekil.3.20 (10) Bileşiginin Kütle Spektrumu

3.2.3.2,4,6-Tri-*Tert*-Bütilfenol + P-Trikloro-N-diklorofosforilmonofosfazen (3)

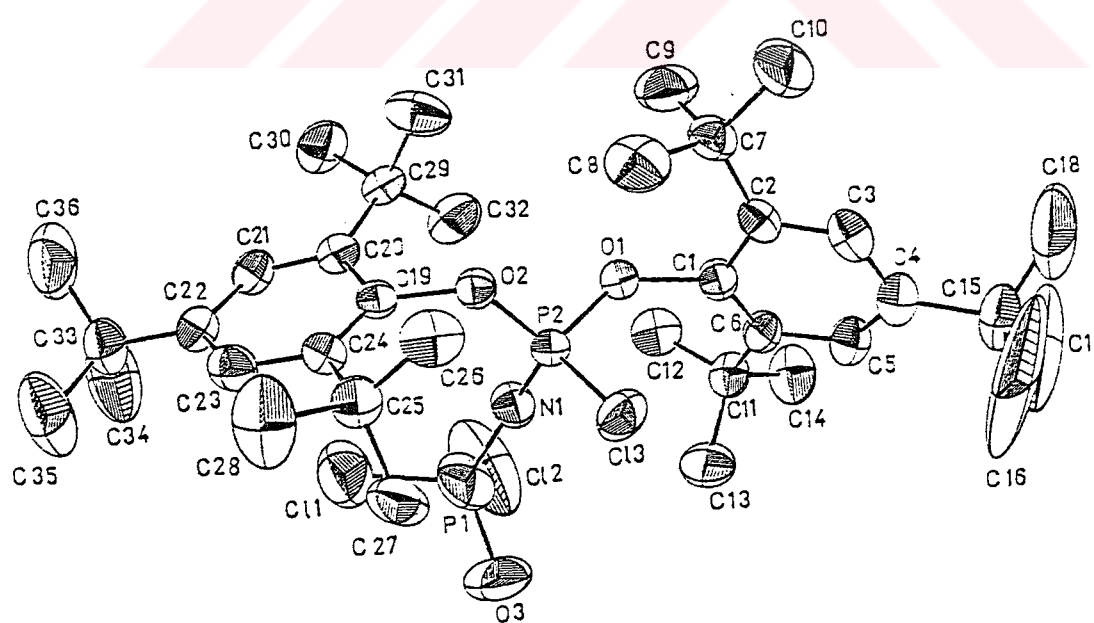
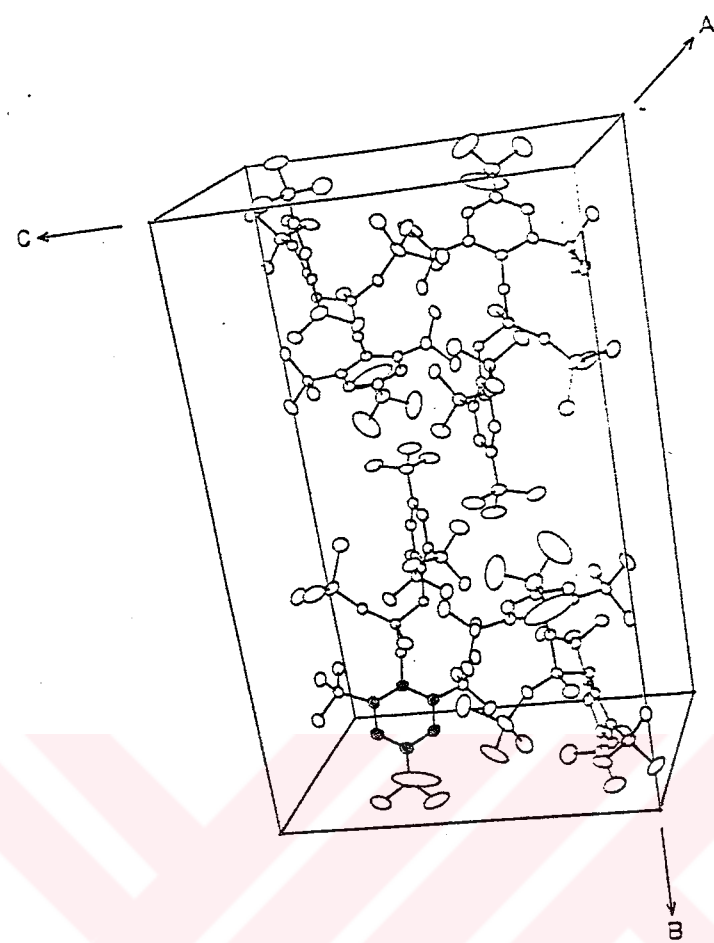
2,4,6-tri-*tert*-bütilfenol ile düz zincirli fosfazen (3) değişik oranlarda (1:1), (2:1), (5:1), (10:1), etkileşтирildi. Bu etkileşmeler neticesinde beyaz renkli kristallerden oluşan disübstiyüson ürünü ele geçti (12).



Bu ürünün yapısı elemental analiz ve X-ışını kırınım yöntemi kullanılarak tayin edildi.

Tablo 3.9 12 Bileşigine ait fiziksel veriler

Bileşik No	Renk	Verim (%)	e.n. °C	Element analizi (%) Bulunan (Hesaplanan)		
12	Beyaz	72	222-226	60.54 (59.95)	8.40 (8.04)	2.09 (1.94)



Şekil 3. 21(12) Bileşигine Ait Moleküler Yapı Ve Atom Numaralama Şeması

Tablo 3.10 (12) Bileşigine Ait Molekül İçi Bağ Uzunlukları Ve Açılar, parantez içinde Standart sapmaları ile görülmektedir

a) Bağlar

CL1	P1	1.893(3)	C7	C9	1.515(3)
CL3	P2	1.985(2)	C7	C10	1.517(3)
P1	N1	1.550(5)	C8	H81	0.974(7)
P1	CL2	1.918(3)	C8	H82	0.990(5)
P1	O3	1.676(4)	C8	H83	0.931(7)
P2	O1	1.561(4)	C9	H91	0.978(7)
P2	O2	1.560(4)	C9	H92	0.957(7)
P2	N1	1.511(5)	C9	H93	0.933(7)
O1	C1	1.463(6)	C10	H101	0.965(3)
O2	C19	1.446(6)	C10	H102	0.968(3)
C1	C2	1.406(8)	C10	H103	0.970(7)
C1	C6	1.395(3)	C11	C12	1.524(3)
C2	C3	1.383(8)	C11	C13	1.521(3)
C2	C7	1.539(8)	C11	C14	1.539(9)
C3	C4	1.378(9)	C12	H121	0.943(6)
C3	H3	0.947(6)	C12	H122	0.958(5)
C4	C5	1.363(8)	C12	H123	0.982(5)
C4	C15	1.521(8)	C13	H131	0.933(5)
C5	C6	1.412(8)	C13	H132	1.004(7)
C5	H5	0.980(6)	C13	H133	0.956(5)
C6	C11	1.541(8)	C14	H141	1.007(7)
C7	C8	1.520(8)	C14	H142	0.933(7)
C14	H143	0.950(6)	C23	H23	0.963(5)
C15	C16	1.38(1)	C24	C25	1.548(7)
C15	C17	1.47(1)	C25	C26	1.516(8)
C15	C18	1.48(1)	C25	C27	1.530(3)
C16	H161	1.04(2)	C25	C28	1.553(3)
C16	H162	1.05(1)	C26	H261	0.967(5)
C16	H163	0.82(1)	C26	H262	0.975(5)
C17	H171	1.04(1)	C26	H263	0.974(6)
C17	H172	0.98(1)	C27	H271	0.951(7)
C17	H173	0.92(1)	C27	H272	0.943(7)
C18	H181	1.10(1)	C27	H273	0.985(6)
C18	H182	1.00(1)	C28	H281	0.987(8)
C18	H183	0.93(1)	C28	H282	0.913(7)
C19	C20	1.414(7)	C28	H283	0.999(7)
C19	C24	1.392(7)	C29	C30	1.534(3)
C20	C21	1.383(7)	C29	C31	1.503(3)
C20	C29	1.546(7)	C29	C32	1.528(3)
C21	C22	1.377(8)	C30	H301	0.954(7)
C21	H21	1.005(5)	C30	H302	0.988(7)
C22	C23	1.381(7)	C30	H303	0.947(7)
C22	C33	1.517(8)	C31	H311	0.966(7)
C23	C24	1.413(7)	C31	H312	0.973(7)
C31	H313	0.991(7)	C34	H342	1.02(1)
C32	H321	0.957(6)	C34	H343	0.937(8)
C32	H322	0.969(6)	C35	H351	0.96(1)
C32	H323	0.976(6)	C35	H352	0.960(3)
C33	C34	1.50(1)	C35	H353	0.983(9)
C33	C35	1.49(1)	C36	H361	0.950(3)
C33	C36	1.51(1)	C36	H362	0.971(3)
C34	H341	0.924(8)	C36	H363	0.96(1)

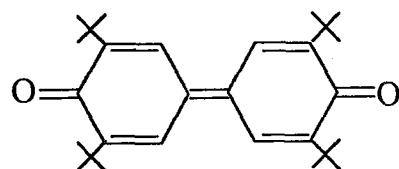
b) Açılar

Atom 1	Atom 2	Atom 3	Atom 4	Angle ===== ==52)
O1	C1	C2	C3	168.33 (0.45)
O1	C1	C2	C7	-16.19 (0.76)
C6	C1	C2	C3	-14.18 (0.79)
C6	C1	C2	C7	161.29 (0.52)
O1	C1	C6	C5	-168.55 (0.45)
O1	C1	C6	C11	12.34 (0.81)
C2	C1	C6	C5	13.99 (0.78)
C2	C1	C6	C11	-165.12 (0.53)
C1	C2	C3	C4	3.65 (0.84)
C7	C2	C3	C4	-172.07 (0.53)
C1	C2	C7	C8	73.55 (0.69)
C1	C2	C7	C9	-49.67 (0.71)
C1	C2	C7	C10	-165.68 (0.55)
C3	C2	C7	C8	-111.21 (0.59)
C3	C2	C7	C9	125.57 (0.57)
C3	C2	C7	C10	9.57 (0.75)
C2	C3	C4	C5	5.75 (0.88)
C2	C3	C4	C15	-175.63 (0.55)
C3	C4	C5	C6	-5.89 (0.86)
C15	C4	C5	C6	175.51 (0.54)
C3	C4	C15	C16	81.43 (0.99)
C3	C4	C15	C17	-152.05 (0.66)
C3	C4	C15	C18	-38.77 (0.93)
C5	C4	C15	C16	-100.04 (0.98)
C5	C4	C15	C17	26.48 (0.88)
C5	C4	C15	C18	139.76 (0.77)
C4	C5	C6	C1	-3.38 (0.83)
C4	C5	C6	C11	175.83 (0.53)
C1	C6	C11	C12	28.03 (0.79)
C1	C6	C11	C13	-97.01 (0.66)
C1	C6	C11	C14	145.18 (0.59)
C5	C6	C11	C12	-151.06 (0.51)
C5	C6	C11	C13	83.91 (0.61)
C5	C6	C11	C14	-33.90 (0.69)
O2	C19	C20	C21	174.01 (0.43)
O2	C19	C20	C29	-11.46 (0.73)
C24	C19	C20	C21	-9.41 (0.76)
C24	C19	C20	C29	165.12 (0.50)
O2	C19	C24	C23	-173.89 (0.44)
O2	C19	C24	C25	7.29 (0.80)
C20	C19	C24	C23	9.58 (0.76)

Atom 1	Atom 2	Atom 3	Angle	Atom 1	Atom 2	Atom 3	Angle
=====	=====	=====	=====	=====	=====	=====	=====
CL1	P1	N1	112.3(2)	C2	C3	H3	118.7(6)
CL1	P1	CL2	101.6(2)	C4	C3	H3	116.5(6)
CL1	P1	O3	109.9(2)	C3	C4	C5	116.1(5)
N1	P1	CL2	107.3(2)	C3	C4	C15	121.3(5)
N1	P1	O3	117.8(3)	C5	C4	C15	122.5(6)
CL2	P1	O3	106.4(2)	C4	C5	C6	124.6(6)
CL3	P2	O1	102.3(1)	C4	C5	H5	117.4(5)
CL3	P2	O2	108.5(1)	C6	C5	H5	117.9(5)
CL3	P2	N1	113.7(2)	C1	C6	C5	114.2(5)
O1	P2	O2	103.2(2)	C1	C6	C11	128.4(5)
O1	P2	N1	115.3(2)	C5	C6	C11	117.5(5)
O2	P2	N1	112.9(2)	C2	C7	C8	112.7(5)
P2	O1	C1	127.3(3)	C2	C7	C9	109.3(5)
P2	O2	C19	126.8(3)	C2	C7	C10	111.8(5)
P1	N1	P2	158.0(3)	C3	C7	C9	110.5(5)
O1	C1	C2	117.5(5)	C3	C7	C10	107.1(5)
O1	C1	C6	118.7(5)	C9	C7	C10	105.2(5)
C2	C1	C6	123.8(5)	C7	C8	H81	111.0(6)
C1	C2	C3	114.7(5)	C7	C8	H82	110.7(5)
C1	C2	C7	125.0(5)	C7	C8	H83	113.6(6)
C3	C2	C7	120.1(5)	H81	C8	H82	104.3(6)
C2	C3	C4	124.8(5)	H81	C8	H83	109.0(6)
H82	C3	H83	107.7(6)	H121	C12	H122	109.3(6)
C7	C9	H91	109.1(6)	H121	C12	H123	107.4(6)
C7	C9	H92	109.5(6)	H122	C12	H123	106.2(6)
C7	C9	H93	112.6(6)	C11	C13	H131	113.2(6)
H91	C9	H92	106.6(7)	C11	C13	H132	108.9(6)
H91	C9	H93	108.5(7)	C11	C13	H133	112.7(5)
H92	C9	H93	110.3(6)	H131	C13	H132	106.4(6)
C7	C10	H101	113.0(7)	H131	C13	H133	110.4(7)
C7	C10	H102	112.0(7)	H132	C13	H133	104.6(6)
C7	C10	H103	111.7(6)	C11	C14	H141	109.0(6)
H101	C10	H102	106.8(7)	C11	C14	H142	112.8(6)
H101	C10	H103	106.6(7)	C11	C14	H143	112.6(6)
H102	C10	H103	106.4(7)	H141	C14	H142	106.1(7)
C6	C11	C12	113.4(5)	H141	C14	H143	104.9(6)
C6	C11	C13	109.1(4)	H142	C14	H143	110.9(7)
C6	C11	C14	110.4(5)	C4	C15	C16	110.3(6)
C12	C11	C13	111.6(5)	C4	C15	C17	112.9(6)
C12	C11	C14	104.8(5)	C4	C15	C18	111.7(6)
C13	C11	C14	107.5(5)	C16	C15	C17	112.3(9)
C11	C12	H121	112.6(6)	C16	C15	C18	108.1(9)
C11	C12	H122	111.6(6)	C17	C15	C18	101.2(8)
C11	C12	H123	109.4(5)	C15	C16	H161	105.4(9)
C15	C16	H162	104.5(7)	C21	C20	C29	118.9(4)
C15	C16	H163	123.(2)	C20	C21	C22	125.1(5)
H161	C16	H162	96.(1)	C20	C21	H21	118.7(5)
H161	C16	H163	112.(1)	C22	C21	H21	116.2(5)
H162	C16	H163	112.(1)	C21	C22	C23	115.8(5)
C15	C17	H171	109.3(8)	C21	C22	C33	120.9(5)
C15	C17	H172	113.2(8)	C23	C22	C33	123.3(5)
C15	C17	H173	118.2(9)	C22	C23	C24	124.5(5)
H171	C17	H172	100.1(9)	C22	C23	H23	117.4(5)
H171	C17	H173	104.6(9)	C24	C23	H23	118.1(5)
H172	C17	H173	110.(1)	C19	C24	C23	115.2(5)
C15	C18	H181	109.4(9)	C19	C24	C25	127.9(5)
C15	C18	H182	117(1)	C23	C24	C25	116.9(5)

3.2.3 2,6-Di-*tert*-Bütilfenol İle Yapılan Reaksiyonlar:

2,6-Di-*tert*-Bütilfenol (**4a**) ün, (**1**), (**2**) ve (**3**) bileşikleri ile etkileştirilmesi sonucunda herhangi bir nükleofilik sübstansiyon ürünü ele geçmedi. Bütün bu çalışmalar sonucunda fenolün yükseltgenme ürünü olan (**13**) yapısındaki $3,3^1,5,5^1$ -tetra-*tert*-bütil-4,4¹-difenoksikinon ele geçti.



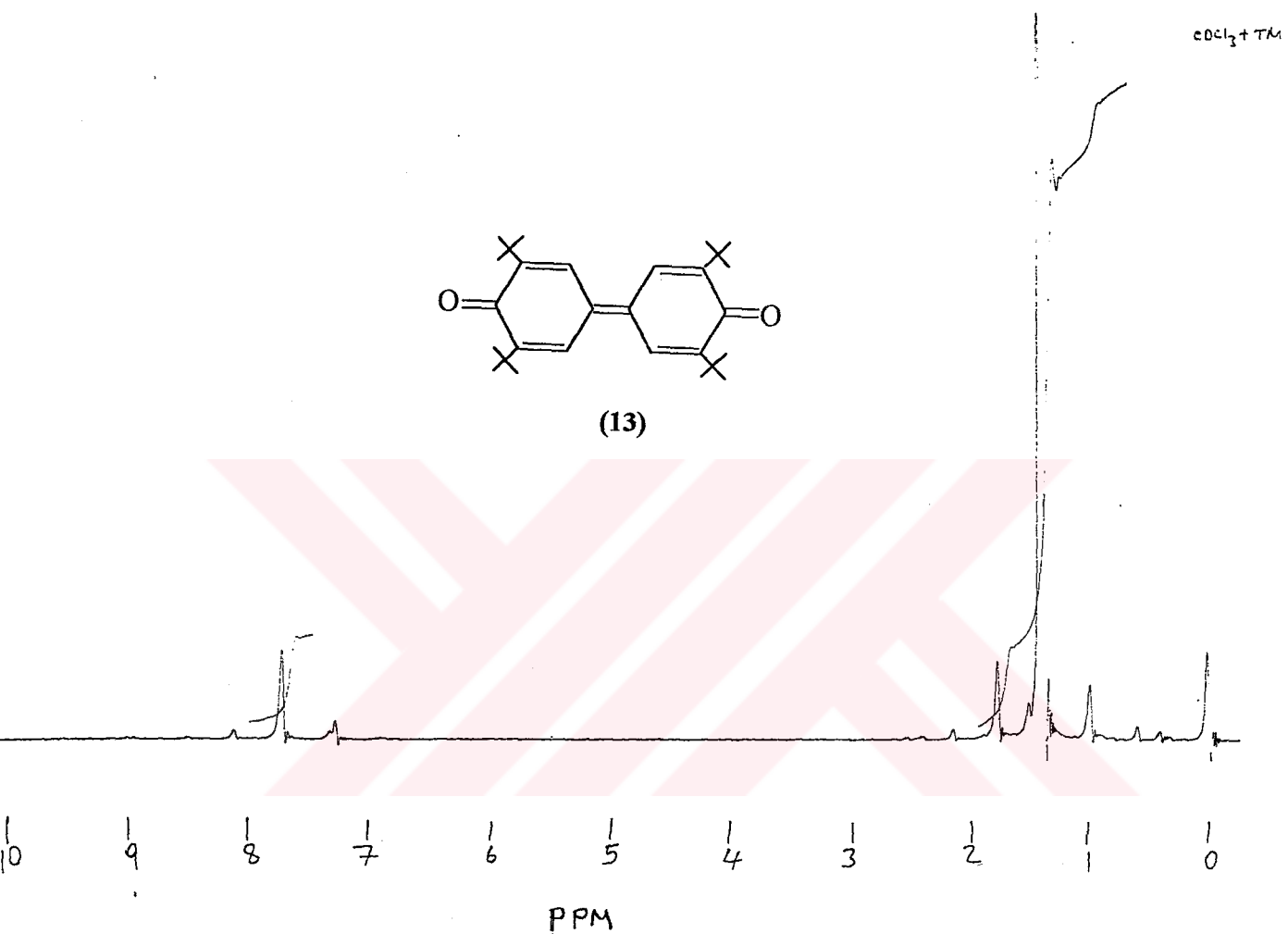
(13)

Tablo 3.10 (13) Bileşigine Ait Fiziksel Veriler

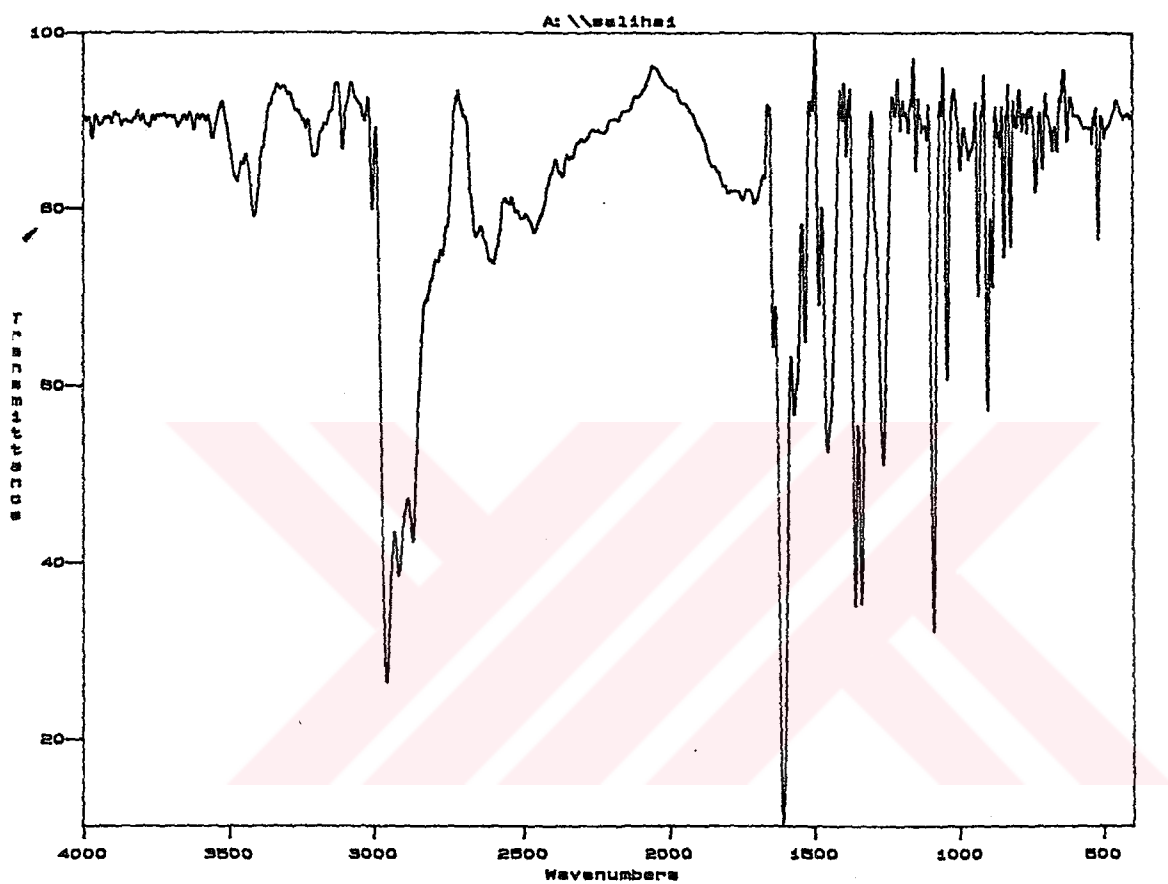
Bileşik No	Renk	Verim (%)	e.n. ${}^0\text{C}$	Element analizi (%)		
				Bulunan (Hesaplanan)		
				C	H	N
13	Koyu	----	244-247	80.01	10.04	----
	Kırmızı			(82.3)	(9.8)	----

(13) Bileşığının ${}^1\text{H}$ NMR spektrumu (**Şekil 3.22**) incelendiğinde $\delta = 1.41$ ppm de *o*-konumundaki Bu' protonlarına ait singlet bir pik gözlenirken, $\delta = 7.85$ ppm de aromatik halka protonlarına ait singlet bir pik gözlenmektedir.

Bileşığın IR spektrumu (**Şekil 3.23**) incelendiğinde; $\nu (\text{C}=\text{C}) 1604 \text{ cm}^{-1}$, $\nu(\text{C}=\text{O}) 1635 \text{ cm}^{-1}$, $\nu (\text{C}-\text{H}) 3000 \text{ cm}^{-1}$ de şiddetli pikler verdiği görülmektedir. Bu da yapının bu şekilde olduğunu doğrulamaktadır



Şekil.3.22 (13) Bileşinin ^1H NMR Spektrumu

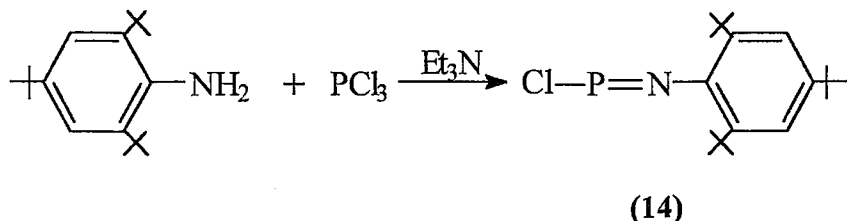


Şekil.3.23 (13) Bileşığının IR Spektrumu

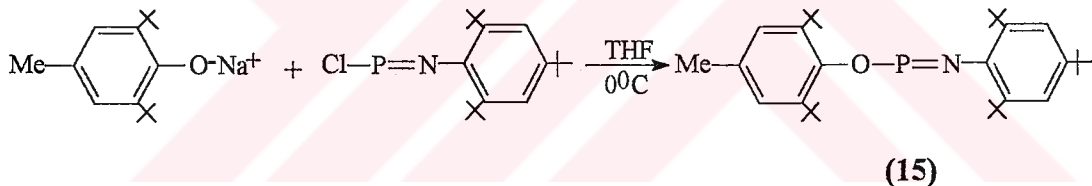
3.2. 2,4,6-Tri-*Tert*-Bütilanilin İle Yapılan Reaksiyonlar

3.2.1. 2,4,6-Tri-*Tert*-Bütilanilinin PCl_3 İle Etkileştirilmesi

2,4,6-Tri-*tert*-bütilfenol literatürden⁷³ yararlanarak PCl_3 ile etkileştirildi. Bu etkileşmeler neticesinde kırmızı renkli (**14**) bileşiği elde edilmiştir (0.384 g; Verim % 57).



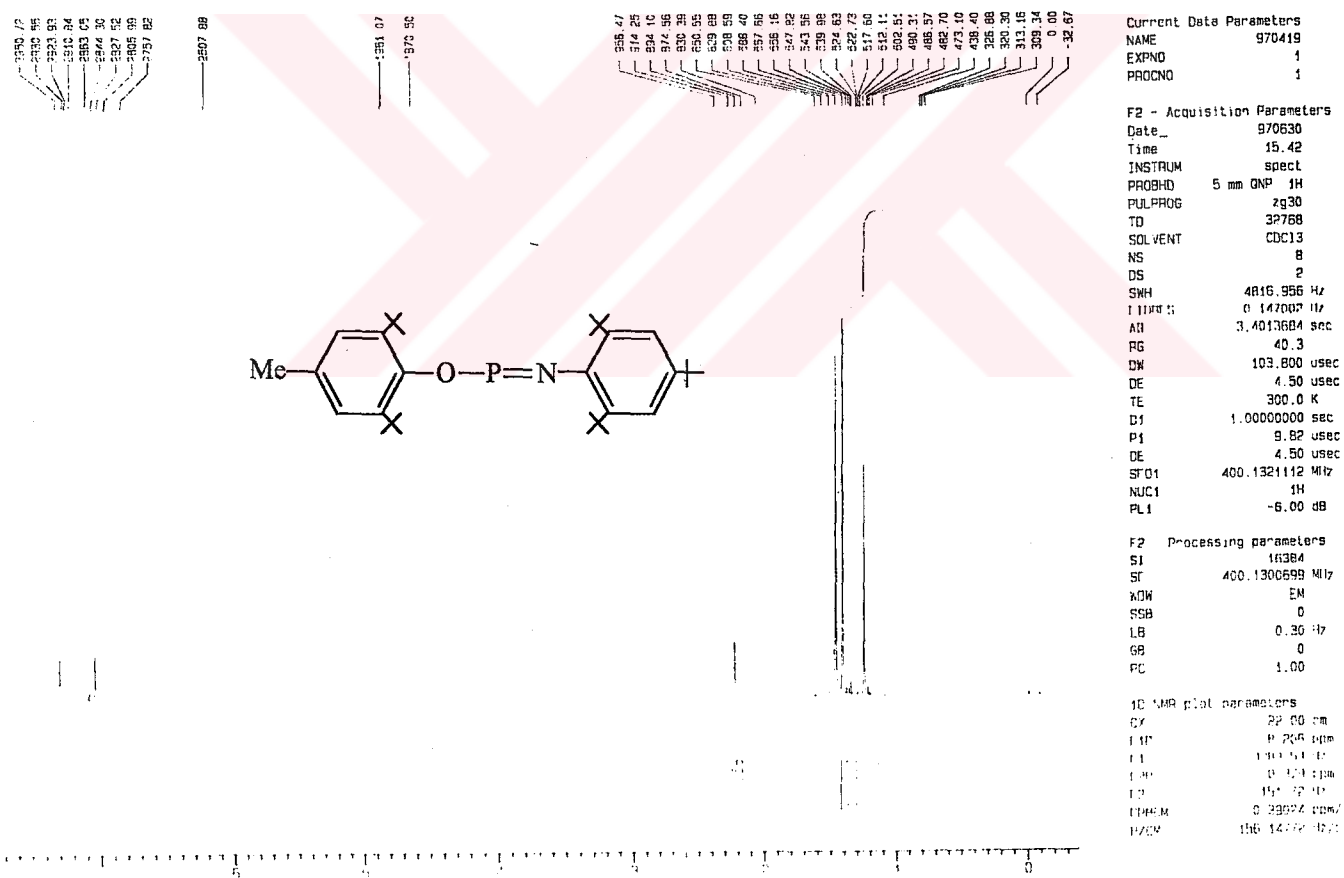
Daha sonra elde edilen (**14**) bileşiği 2,6-di-*tert*-bütil-4-metilfenoksit ile etkileştirildiğinde sarı renkli (**15**) bileşiği ele geçti. Bu bileşliğin yapısı ^1H , ^{13}C , ^{31}P NMR spektroskopisi teknikleri ile aydınlatıldı.



Tablo 3.12 15 ve 16 Bileşiklerine Ait Fiziksel Veriler

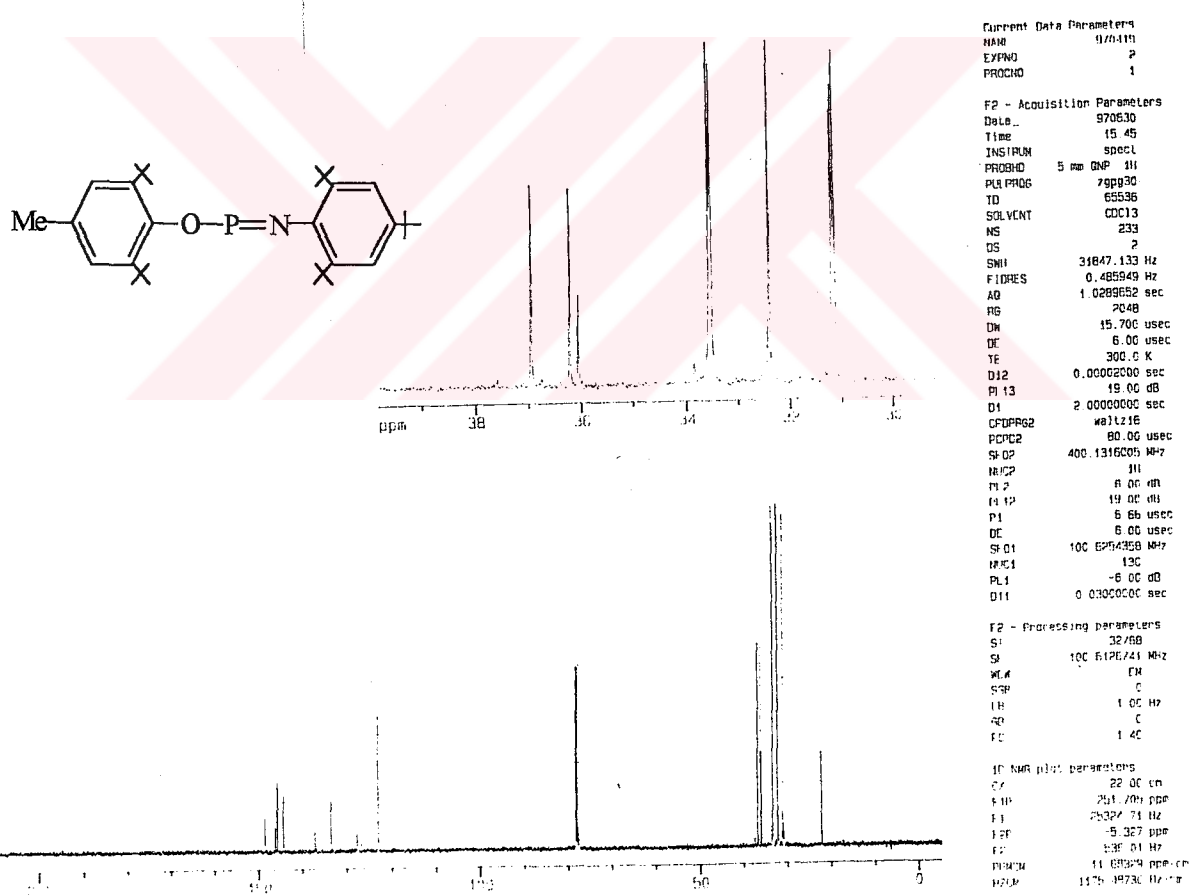
Bileşik No	Renk	Verim (%)	$^{\circ}\text{C}$	Element analizi (%) Bulunan (Hesaplanan)		
				C	H	N
15	Sarı	65	158-162	77.87 (77.75)	10.18 (10.28)	2.466 (2.77)
16	Beyaz	----	255-262	50.52 (51.30)	11.44 (6.89)	8.87 (9.97)

(15) Bileşiginin ^1H NMR spektrumu (Şekil 3.24) incelendiğinde; $\delta = 1.218$ ppm de 2,4,6-tri-*tert*-bütilanilinin *para* konumundaki *tert*-bütil protonlarına ait singlet bir pik (s, 9C, *para*-Bu t), $\delta = 1.43$ ppm'de 2,4,6-tri-*tert*-bütilanilinin *o*-konumundaki *tert*-bütil protonlarına ait singlet pik (s, 18 H, *o*-Bu t), $\delta = 1.43$ ppm'de 2,6-di-*tert*-bütil-4-metilfenolün Bu t gruplarına ait singlet (s, 18 H, *o*-Bu t -OAr), $\delta = 2.20$ ppm'de 2,6-di-*tert*-bütil-4-metilfenolün *para* konumundaki metil grubuna ait singlet pik (s, 3H, *p*-Me-OAr) gözlenmektedir. Anilin grubuna ait aromatik halka protonları 7.30 ppm de bir singlet (s, 2C-Aril), fenol halkasına ait aromatik halka protonları ise $\delta = 7.00$ ppm'de bir singlet vermektedir.



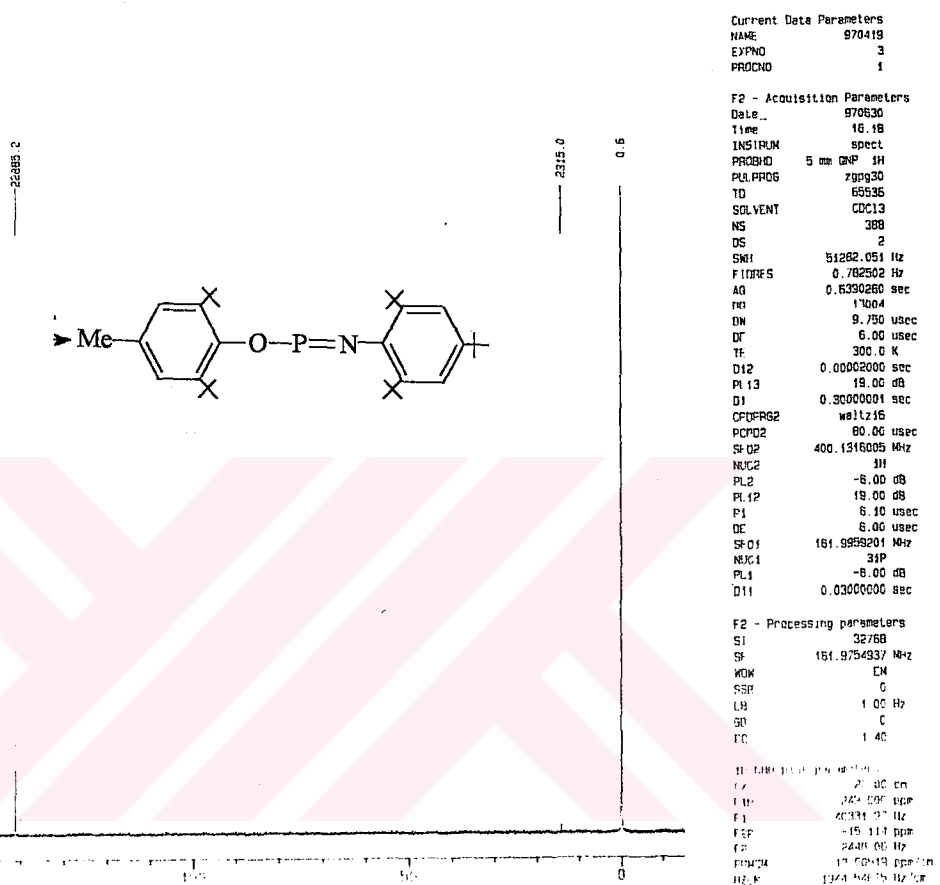
Şekil 3.23 (15) Bileşiginin ^1H NMR Spektrumu

(15) Bileşığının ^{13}C NMR spektrumu (Şekil 3.25) incelendiğinde $\delta = 31.14$ ppm de ($d, J = 4.1 \text{ Hz}$, $o\text{-CC}_3$) -NR grubunun o -konumundaki *tert*-bütil karbonlarına ait dublet pik, $\delta = 33.52$ ppm de ($d, J = 3.84 \text{ Hz}$) -OAr grubunun p -konumundaki *tert*-bütil karbonlarına ait pik, aromatik halka karbonları ise; $\delta = 123.46$; 127.75; 137.30; 145.91 ppm de gözlenmektedir. Bu bileşliğin ^{31}P NMR (Şekil 3.26) spektrumu incelendiğinde ise $\delta = 141.2881$ ppm de singlet bir pik gözlenmektedir.



Şekil 3.25 (15) Bileşığının ^{13}C NMR Spektrumu

S1



Şekil.3.26 (15) Bileşinin ^{31}P NMR Spektrumu

LİTERATÜR

- 1 M.Witt, and H.W. Roesky., *Polyhedron*, 1989, **8**, 1736.
- 2 H.W. Roesky., *Synlett*, 1990, 651-659.
- 3 B.J. Walker, *Organophosphorus Chemistry*, 1972, 120-124.
- 4 H.R.Allcock, M.N. Mang, A.A. Dembek and K. J. Wynne, *Macromolecules*, 1989, **22**, 4179.
- 5 C. Kim and H.R. Allcock, *Macromolecules*, 1987, **20**, 1726.
- 6 A.A. Dembek, C. Kim, H.R. Allcock, R.L.S. Devine, Y. Shi, W. H. Steier and C.W. Spangler, *Macromolecules*, 1991, **24**, 1000.
- 7 A.A. Dembek, C. Kim, H.R. Allcock, R.L.S. Devine, Y. Shi, W. H. Steier and C.W. Spangler, *Chem. Mater.*, 1990, **2**, 97.
- 8 H.R. Allcock and R.J. Fitzpatrick, *Chem. Mater.*, 1991, **3**, 1120.
- 9 Quassini v.d. 1985, John v.d. 1984, Goehring and Lehr 1963, Riesel v.d. 1983.
Quassini, A., De Jaeger, R., and Heubel, J., *Z. Anorg. Allg. Chem* 1985, **531**, 188-198.
- 10 A. John, B. Thomas. A. Fützner and G. Grossmann, *Z. Anorg. Allg. Chem.* 1984, **511**, 7.
- 11 M.B.V., Goehring and W. Lehr, *Z. Anorg. Allg. Chem.* 1963, **325**, 287.
- 12 V.L. Riesel, J. Steinbach, und E. Hermann, . *Anorg. Allg. Chem*, 1983, **502**, 21.
- 13 Z. Kılıç, N. Gündüz, E. Kılıç, H. Nazır, *Phosphorus-Nitrogen Compounds*. 1989, **19(5)**, 453.
- 14 A. Kılıç, Z. Kılıç, and R.A. Shaw, *Phosphorus-Nitrogen Compounds*. 1991, **56**, 157.
- 15 R.A. Shaw, B.W. Fitzsimmon, B.C. Smith, *The Phosphazenes(Phosphonitrilic Compounds)*. *Chem. Rew.* 1962, **62**, 242.
- 16 D.A. Palgrave, *Amido-and-imido-phosphoric acids and their salts*, section 28, 760, in ref.15.
- 17 M.L. Nielsen, *Phosphorus- nitrogen Compounds*, 1966, **1**, 307.
- 18 R.A. Shaw, *Phosphorus and Sulfur*, 1978, **4**, 101.

- 19** J. Emsley and D. Hall, *The chemistry of phosphorus*, 1976, 534.
- 20** D.E.C. Corbridge, *Phosphorus: An Outline of its Chemistry, Biochemistry and Technology*, Elsevier, , 464 pp 1978, second edn., 560 pp., 1980.
- 21** H.R. Allcock, *Phosphorus Nitrogen Compounds*, 1972, 498.
- 22** R.A. Shaw. , *Pure Appl. Chem.* 1975, **44**, 317.
- 23** S.S. Krisnamurthy, A.C. Sau, and M. Woods, *Adv. Inorg. Chem.* 1978, **21**, 41.
- 24** N.L. Paddock, J. Trotter and S.H. whitlow, *J. Chem. Soc.* 1968, (A), 2227.
- 25** R.A. Shaw, B.W. Fitzsimmon, B.C. Smith, *The Phosphazenes(Phosphonitrilic Compounds)*. *Chem. Rew.*, 1962, **62**, 242.
- 26** B.J. Walker, *Organophosphour Chemistry*, 1972, 120.
- 27** E.J. Kahler, *Chem. Abs.* 1958, **52**, 15.
- 28** E.J. Kahler, U.S. patent 2,925,320 (Feb.16, 1960); Cf.C.A., 54, 17820 b (1960).
- 29** M. Becke-Goehring, W. Gehrmann, and W. Goetze, *Z. Anorg. Allg. Chem.*, 1963, **326**, 127.
- 30** M. Becke-Goehring and E. Fluck, *Inorg. Synth.*, 1960, **8**, 92.
- 31** L. Seglin, M.R. Lietz, and H. Strange. *Chem. Abs.*, 1966, **64**, 10.810c.
- 32** M. Becke-Goehring, T. Mann, and H.D. Euler, *Ber.*, 1961, **94**, 193.
- 33** M. Becke-Goehring, A. Debo, E. Fluck, and W. Goetze, *Ber.*, 1961,**94**,1383.
- 34** J. Emsley, J. Moore, and P.B. Udy, *J. Chem. Soc.* 1971, (A), 2863.
- 35** D. Millington and D.B. Sowerby, *J. Chem. Soc., Dalton Trans.*, 1972, 2036.
- 36** S.S. Krishnamurthy, M.N. Sundheendra Rao, R.A. Shaw, A.R. Vasudeva Murthy and M. Woods, *Inorg. Chem.*, 1978, **17**, 1527.
- 37** A.H. Alkubaisi, H.G. Parkes and R.A. Shaw, submitted for publication.
- 38** C. W. Allen, *Chem. Rev.*, 1991, **91**, 119.
- 39** E. T. McBee, K. Okuhara and C. J. Morton, *Inorg. Chem.*, 1966, **5**, 450.
- 40** D. Dell, B. W. Fitzsimmons and R. A. Shaw, *J. Chem. Soc.*, 1965, 4070.
- 41** D. Dell, B. W. Fitzsimmons, R. Keat and R. A. Shaw, *J. Chem. Soc. A*. 1966, 1680.
- 42** R. Keat and R. A. Shaw, *J. Chem. Soc.*, 1965, 2215.
- 43** R. Keat and R. A. Shaw, , *J. Chem. Soc.*, 1966, 908.
- 44** R. A. Shaw, *Z. Naturforsch.*, Teil B 1976, **31**, 641.

- 45** D. J. Lingley, R. A. Shaw, M. Woods and S.S. Krishnamurthy, *Phosphorus Sulfur*, 1978, **4**, 379.
- 46** M. A. Olshavsky and H. R. Allcock, *Macromolecules*, 1995, **28**, 6188.
- 47** C. Kim. H. R. Allcock, *Macromolecules*, 1987, **20**, 1726.
- 48** C. Kim. H. R. Allcock, *Macromolecules*, 1989, **22**, 2596.
- 49** R. E. Singler, R. A. Willingham, R. W. Lenz, A. Furukawa and A. Finkermann, *Macromolecules* 1987, **20**, 1727.
- 50** H. R. Allcock and C. Kim, *Macromolecules*, 1990, **23**, 3881.
- 51** H. R. Allcock and C. Kim, *Macromolecules*, 1991, **24**, 2846.
- 52** H. R. Allcock and R. J. Fitzpatrick, *Chem. Mater.*, 1991, **3**, 1120.
- 53** M. Gleria, F. Minto, S. Lora and P. Bortolus, *Eur. Polym. J.*, 1979, **15**, 671.
- 54** L. Flamigni, N. Camaioni, P. Bortolus, F. Minto and M. Gleria, *J. Phys. Chem.*, 1991, **95**, 971,
- 55** P. Bortolus, M. Gleria, *J. Inorg. Organomet. Polym.*, 1994, **4**, 1.
- 56** P. Bortolus, M. Gleria, *J. Inorg. Organomet. Polym.*, 1994, **4**, 95.
- 57** P. Bortolus, M. Gleria, *J. Inorg. Organomet. Polym.*, 1994, **4**, 205.
- 58** P. G. Di Marco, G. Giro, M. Gleria and S. Lora, *Thin Solid Films*, 1986, **135**, 157.
- 59** F. Minto, S. Lora, M. Gleria and P. Bortolus, *Conv Ital. Sci. Macromol.* (ATTI). 1981. No.5.
- 60** W. Snippes, S. Person, A. Keith, *J. Cupp, Science*. 1975, **64**, 188.
- 61** H. R. Allcock, D. C. Ngo, M. Parvez, R. R. Whittle and W. J. Birdsall, *J. Am. Chem. Soc.* 1991, **113**, 2628.
- 62** L. A. Cohen, *J. Org. Chem.* 1957, **22**, 133.
- 63** B. Çetinkaya, İ. Gümrükçü, M. F. Lappert, *J. Chem. Soc.* 1980, **102**, 2086.
- 64** B. A. Stoochnoff, N. L. Benoiton, *Tetrahedron Letters*, 1973, 21.
- 65** H. R. Allcock, S. Al-Shali, D. C. Ngo, K.B. Visscher and M. Parvez, *J. Chem. Soc. Dalton Trans*, 1996, 3549.
- 66** A. Kılıç, S. Begeç, B. Çetinkaya, T. Hökelek, Z. Kılıç, N. Gündüz, M. Yıldız, *Heteroatom Chemistry*, 1996, **4**, 249.
- 67** H. R. Allcock, D. C. Ngo, M. Parvez and K. Visscher, *J. Chem. Soc. Dalton.*

Trans. 1992, 1687.

- 68** H. R. Allcock, A. A. Dembek, M. N. Mang, G. H. Riding, M. Parvez and K. B. Visscher, *Inorg. Chem.* 1992, **31**, 2734.
- 69** H. R. Allcock, S. Al-Shali, D. C. Ngo, K.B. Visscher and M. Parvez, *J. Chem. Soc. Dalton Trans.*, 1995, 3521.
- 70** J. Burgers, M. A. Hoefnagel, P. E. Verkade, H. Visser and B. M. Wepster, *Recl. Trav. Chim. Pays-bas.*, 1958, **77**, 491.
- 71** E. Niecke, M. Nieger, and F. Reichert, *Angew. Chem. Int. Ed. Engl.* 1988, **27**, No:12.
- 72** T. Hökelek, A. Kılıç, S. Begeç, Z. Kılıç and M. Yıldız, *Acta Cryst.* 1996, **C52**, 3243.
- 73** S. Begeç, A. Kılıç, B. Çetinkaya, XI. Kimya Kongresi, Yüzüncü Yıl Üniversitesi. Van, 1997, 470.